



การนำน้ำย้อมกลับมาใช้ใหม่โดยการกำจัดสีด้วยกระบวนการไฟฟ้าเคมี  
Reuse of Dye Wastewater by Color Removal with Electrochemical Process

คณบดี

ขันช្ញา เจริญลาภ  
วิชาณุ ช่วยพันธ์

RMUTK - CARIT



3 2000 00094381 3

มหาวิทยาลัยเทคโนโลยีราชมงคลกรุงเทพ  
มกราคม 2552  
(งบประมาณแผ่นดิน ประจำปี 2551)



## การนำน้ำมาย้อมกลับมาใช้ใหม่โดยการกำจัดสีด้วยกระบวนการไฟฟ้าเคมี

Reuse of Dye Wastewater by Color Removal with Electrochemical Process

### คณวิจัย

ชนิษฐา เจริญลาภ  
วิชาณุ ช่วยพันธ์

RMUTK - CARIT



มหาวิทยาลัยเทคโนโลยีราชมงคลรุ่งเรือง

มกราคม 2552

(งบประมาณแผ่นดิน ประจำปี 2551)

## กิตติกรรมประกาศ

การวิจัยเรื่องการนำน้ำย้อมกลับมาใช้ใหม่โดยการทำจัดสีด้วยกระบวนการไฟฟ้าเคมี สำเร็จลุล่วงด้วยดี จนสมบูรณ์ โดยได้รับทุนสนับสนุนการวิจัย จากเงินอุดหนุนการวิจัยบประมาณแผ่นดินปี 2551 มหาวิทยาลัย เทคโนโลยีราชมงคลธัญเทพ ขอขอบพระคุณ นายธนกร เพาเม涵านาคะ เจ้าของโรงงานเจริญชัยการย้อม ที่ให้ ความอนุเคราะห์น้ำเสียในการทดลอง ตลอดจนนางสาวปริยะจารย์ รับพร และนายทิพานันท์ แพงทอง นักศึกษา สาขาวิศวกรรมเคมีสิ่งทอ คณะอุตสาหกรรมสิ่งทอ ที่ได้มีส่วนร่วมเป็นผู้ช่วยในการดำเนินการวิจัย

ผู้จัดทำโครงการขอขอบพระคุณท่านที่มีส่วนเกี่ยวข้องกับความสำเร็จของงานวิจัยนี้

## บทคัดย่อ

การนำน้ำย้อมกลับมาใช้ใหม่โดยการกำจัดสีด้วยกระบวนการไฟฟ้าเคมี ด้วยข้าวไฟฟ้าอะลูมิเนียม และข้าวไฟฟ้าเหล็ก ศึกษาโดยใช้น้ำเสียสีรีแอดทีฟ และสีเบสิก ทดลองในแบบจำลองระดับห้องปฏิบัติการ ประพันค่า ศักย์ไฟฟ้า ระยะเวลาสัมผัส และขนาดของข้าวไฟฟ้า ผลการศึกษาพบว่า ชนิดของข้าวไฟฟ้านี้ผลต่อประสิทธิภาพ ของระบบ โดยข้าวไฟฟ้าอะลูมิเนียม ที่ค่าศักย์ไฟฟ้า 20 โวลต์ ระยะเวลาสัมผัส 180 นาที มีประสิทธิภาพในการ กำจัดสีรีแอดทีฟ และของแข็งละลายน้ำ ร้อยละ 96.05 และ 35.18 ตามลำดับ ส่วนข้าวไฟฟ้าเหล็ก ที่ค่าศักย์ไฟฟ้า 25 โวลต์ ระยะเวลาสัมผัส 180 นาที มีประสิทธิภาพในการกำจัดสีเบสิก ของแข็งละลายน้ำ ของแข็งแขวนลอย ความชุน และซีโซดี ร้อยละ 85.61, 30.67, 66.67, 20.61 และ 79.51 ตามลำดับ และเมื่อเปรียบเทียบคุณภาพ นำเสียสีเบสิกที่ผ่านการบำบัดด้วยระบบไฟฟ้าเคมี กับคุณภาพน้ำที่ผ่านการบำบัดด้วยระบบสารเติมอาหาร ร่วมกับการออกซิเดชันของโรงงาน พบร่วมกับคุณภาพน้ำที่ผ่านการบำบัดด้วยระบบไฟฟ้าเคมี มีคุณภาพดีกว่าอย่างมี นัยสำคัญ ( $P<0.5$ ) แต่อย่างไรก็ตามการนำน้ำกลับไปใช้ใหม่ได้ จำเป็นต้องผ่านกระบวนการกรอง เพื่อกำจัดความ ชุน และปริมาณของแข็งแขวนลอย เนื่องจากพบว่าคุณภาพน้ำหลังการบำบัดด้วยระบบไฟฟ้าเคมีและคุณภาพน้ำ ใช้ในกระบวนการผลิต แตกต่างกันอย่างมีนัยสำคัญ ( $P<0.5$ ) โดยนำไปใช้ในกระบวนการผลิตของโรงงานมีคุณภาพ ดีกว่านำเสียที่ผ่านการบำบัดด้วยวิธีไฟฟ้าเคมีในทุกด้าน ยกเว้นค่าความกระด้างของน้ำที่ไม่แตกต่างกัน

**คำสำคัญ:** น้ำเสียฟอกย้อม สีเบสิก สีรีแอดทีฟ กระบวนการไฟฟ้าเคมี

## ABSTRACT

Clean technology is an important concern for every industry. Especially in textile dyeing, much use of water, dyeing colors and chemicals can cause significant water and air pollution problems. Importantly, the industry might not meet priority requirements and regulations. It is desirable therefore for environmental and economical benefits to prevent any pollution resulting from the operation. This study investigated the influence of operating parameters on the efficiency of the electrochemical process. Experiments were carried out on a laboratory scale with a variation of two types of electrode, namely, aluminum and iron. It was found that the electrode types had influence on dye removal efficiency. The aluminum electrode with 20 volts and 60 minutes of electrolysis was efficient in removing 96.05% of reactive dyes and 35.18% of dissolved solids, while the iron electrode with 25 volts and 180 minutes of electrolysis could reduce almost 85.61 % of basic dye, 30.67 % of dissolved solids, 66.67% of suspended solids, 20.61% of turbidity and 79.51% of COD. The quality of the basic dye wastewater treated by the electrochemical method was significantly better than that normally treated at factories by aerated lagoon and oxidation process in all parameters. However, the quality of the basic dye wastewater treated by the electrochemical method was not better than the water normally used in the operating process in most of the parameters except hardness. The findings indicated that it may be possible to reuse dye wastewater if turbidity and suspended solids are removed by filtration process.

Key words: textile wastewater, reactive dye, basic dye, electrochemical process

## สารบัญ

	หน้า
กิตติกรรมประกาศ	ก
บทคัดย่อ(ภาษาไทย)	ข
บทคัดย่อ(ภาษาอังกฤษ)	ค
<b>บทที่ 1 บทนำ</b>	<b>1</b>
1.1    ความสำคัญและที่มาของปัญหาที่ทำการวิจัย	1
1.2    วัตถุประสงค์ของโครงการวิจัย	2
1.3    ขอบเขตของโครงการวิจัย	2
1.4    ประโยชน์ที่คาดว่าจะได้รับ	3
1.5    สมมุตฐานการวิจัย	3
1.6    กรอบแนวคิดการวิจัย	3
<b>บทที่ 2 เอกสารและรายงานการวิจัยที่เกี่ยวข้อง</b>	<b>4</b>
2.1    ปัญหาสิ่งแวดล้อมที่เกิดจากอุตสาหกรรมฟอกย้อม	4
2.2    วิธีกำจัดสีจากน้ำเสียโรงฟอกย้อม	5
2.3    ไฟฟ้าเคมี (electrochemistry)	8
2.4    การประยุกต์ใช้ระบบไฟฟ้าเคมีในการบำบัดน้ำเสีย	12
2.5    ปฏิกิริยาเคมีที่เกิดขึ้นในการบำบัดน้ำเสียโดยวิธีไฟฟ้าเคมี	13
2.6    ตัวชี้ที่มีผลต่อกระบวนการไฟฟ้าเคมี	15
<b>บทที่ 3 วิธีดำเนินการวิจัย</b>	<b>18</b>
3.1    อุปกรณ์และเครื่องมือ	18
3.2    สารเคมี	18
3.3    วิธีทดลอง	19
3.4    การวิเคราะห์ข้อมูลทางสถิติ	22
3.5    สถานที่ทดลอง	22
<b>บทที่ 4 ผลการทดลอง</b>	<b>23</b>
4.1    ผลการศึกษาปัจจัยที่มีผลต่อประสิทธิภาพการบำบัดน้ำเสียด้วยวิธีไฟฟ้าเคมี	23
4.2    ผลการศึกษาประสิทธิภาพการบำบัดน้ำเสียจากการฟอกย้อมด้วยวิธีไฟฟ้าเคมี	50
4.3    ผลการศึกษาความเป็นไปได้ในการนำน้ำที่ผ่านการบำบัดด้วยกระบวนการไฟฟ้าเคมีกลับมาใช้ซ้ำในกระบวนการ	57

## สารบัญ

	หน้า
<b>บทที่ 5 สรุปผลการทดลอง</b>	59
5.1    ปัจจัยที่มีผลต่อประสิทธิภาพการบำบัดน้ำเสียด้วยวิธีไฟฟ้าเคมี	59
5.2    ประสิทธิภาพการบำบัดน้ำเสียจากการฟอกย้อมด้วยวิธีไฟฟ้าเคมี	60
5.3    ความเป็นไปได้ในการนำน้ำที่ผ่านการบำบัดด้วยกระบวนการไฟฟ้าเคมีกลับมาใช้ซ้ำในกระบวนการ	63
5.4    ข้อเสนอแนะ	64
<b>เอกสารอ้างอิง</b>	65
ภาคผนวก ก	67
ภาคผนวก ข	78
ภาคผนวก ค	86
<b>ประวัติผู้วิจัย</b>	98

### รายการตาราง

ตารางที่	หน้า
4.1.1 ประสิทธิภาพการบำบัดน้ำเสียจากการย้อมผ้าฝ้ายทดสอบด้วยสีรีแอคทีฟ ด้วยข้าวไฟฟ้าอะลูมิเนียม ที่ค่าศักย์ไฟฟ้าต่างกัน	25
4.1.2 การทดสอบค่าเฉลี่ยร้อยละของการกำจัดสี การเปลี่ยนแปลงพีเอช และการกำจัดของแข็งละลายน้ำ ของน้ำเสียย้อมสีรีแอคทีฟที่บำบัดด้วยข้าวไฟฟ้าอะลูมิเนียม ที่ค่าศักย์ไฟฟ้าต่างกัน	26
4.1.3 ประสิทธิภาพการบำบัดน้ำเสียสีรีแอคทีฟ ด้วยข้าวไฟฟ้าอะลูมิเนียม ค่าศักย์ไฟฟ้า 20 โวลต์ ที่ระยะเวลาสัมผัสต่างกัน	28
4.1.4 การทดสอบค่าเฉลี่ยร้อยละของการกำจัดสีของน้ำ การเปลี่ยนแปลงพีเอช และการกำจัด ของแข็งละลายน้ำ ของน้ำเสียสีรีแอคทีฟที่บำบัดโดยใช้ข้าวไฟฟ้าอะลูมิเนียม ค่าศักย์ไฟฟ้า 20 โวลต์ ที่ระยะเวลาต่างกัน	29
4.1.5 ประสิทธิภาพการบำบัดน้ำเสียสีรีแอคทีฟโดยใช้ข้าวไฟฟ้าเหล็ก ที่ค่าศักย์ไฟฟ้าต่างกัน	31
4.1.6 การทดสอบค่าเฉลี่ยร้อยละของการกำจัดสี การเปลี่ยนแปลงพีเอช และการกำจัดของแข็ง ละลายน้ำ ของน้ำเสียสีรีแอคทีฟ บำบัดโดยใช้ข้าวไฟฟ้าเหล็ก ที่ค่าศักย์ไฟฟ้าต่างกัน	32
4.1.7 ประสิทธิภาพการบำบัดน้ำเสียสีรีแอคทีฟ โดยใช้ข้าวไฟฟ้าเหล็ก ค่าศักย์ไฟฟ้า 15 โวลต์ ที่ระยะเวลาสัมผัสต่างกัน	34
4.1.8 การทดสอบค่าเฉลี่ยร้อยละของการกำจัดสี การเปลี่ยนแปลงพีเอช และการกำจัดของแข็ง ละลายน้ำ ของน้ำเสียสีรีแอคทีฟ ด้วยศักย์ไฟฟ้า 15 โวลต์ ระยะเวลาสัมผัสต่างกัน	35
4.1.9 ประสิทธิภาพการบำบัดน้ำเสียสีเบสิก ด้วยข้าวไฟฟ้าอะลูมิเนียม ที่ค่าศักย์ไฟฟ้าต่างกัน	37
4.1.10 การทดสอบค่าเฉลี่ยร้อยละของการกำจัดสี การเปลี่ยนแปลงพีเอช การกำจัดของแข็งละลายน้ำ และการกำจัดความชุน ของน้ำเสียสีเบสิก โดยใช้ข้าวไฟฟ้าอะลูมิเนียม ที่ค่าศักย์ไฟฟ้าต่างกัน	38
4.1.11 ประสิทธิภาพการบำบัดน้ำเสียสีเบสิก ศักย์ไฟฟ้า 35 โวลต์ โดยใช้อะลูมิเนียมข้าวไฟฟ้า ที่ระยะเวลาต่างกัน	40
4.1.12 การทดสอบค่าเฉลี่ยร้อยละของการกำจัดสี ค่าการเปลี่ยนแปลงพีเอช การกำจัดของแข็งละลายน้ำ และการกำจัดความชุน ของน้ำเสียสีเบสิกโดยใช้ข้าวไฟฟ้าอะลูมิเนียม ศักย์ไฟฟ้า 35 โวลต์ ระยะเวลาสัมผัสต่างกัน	41
4.1.13 ประสิทธิภาพการบำบัดน้ำเสียจากการย้อมสีเบสิก โดยใช้ข้าวไฟฟ้าเหล็ก ที่ค่าศักย์ไฟฟ้าต่างกัน	43

## รายการตาราง

ตารางที่	หน้า
4.1.14 การทดสอบค่าเฉลี่ยร้อยละของการกำจัดสี การเปลี่ยนแปลงพีเอช การกำจัดของเชิงละลายน้ำ และการกำจัดความชุ่น ในการบำบัดน้ำเสียสีเบสิก โดยใช้ข้าวไฟฟ้าเหล็ก ที่ค่าศักย์ไฟฟ้าต่างกัน	44
4.1.15 ประสิทธิภาพการบำบัดน้ำเสียจากการย้อมเส้นด้ายอะคริลิกด้วยสีเบสิกโดยใช้ข้าวไฟฟ้าเหล็ก ค่าศักย์ไฟฟ้า 25 โวลต์ ที่ระยะเวลาสามผัสด้วยกัน	46
4.1.16 การทดสอบค่าเฉลี่ยร้อยละของการกำจัดสี การเปลี่ยนแปลงพีเอช การกำจัดของเชิงละลายน้ำ และการกำจัดความชุ่น ในการบำบัดน้ำเสียสีเบสิกโดยใช้ข้าวไฟฟ้าเหล็ก ค่าศักย์ไฟฟ้า 25 โวลต์ ที่ระยะเวลาต่างกัน	47
4.1.17 ประสิทธิภาพของการบำบัดน้ำเสียสีเบสิก โดยใช้ข้าวไฟฟ้าเหล็กที่มีขนาดต่างกัน ค่าศักย์ไฟฟ้า 25 โวลต์ ระยะเวลาสามผัส 120 นาที เพิ่มขึ้น 2 เท่า	49
4.1.18 การทดสอบค่าเฉลี่ยร้อยละของการกำจัดสีของน้ำ การเปลี่ยนแปลงพีเอช การกำจัดของเชิง ละลายน้ำ และการกำจัดความชุ่น ด้วยศักย์ไฟฟ้า 25 โวลต์ ระยะเวลาสามผัส 120 นาที โดยใช้ ขนาดข้าวไฟฟ้าต่างกัน	49
4.2.1 เปรียบเทียบคุณภาพน้ำหลังการด้วยระบบไฟฟ้าเคมี และระบบบำบัดน้ำเสียของโรงงาน	56
4.3.1 การทดสอบค่าเฉลี่ยคุณภาพน้ำใช้ของโรงงาน และน้ำหลังการบำบัดด้วยไฟฟ้าเคมี	57

## รายการรูป

รูปที่	หน้า
2.1 เซลล์ไฟฟ้าเคมี	9
3.1 ถังปฏิกรณ์ของระบบบำบัดน้ำเสียด้วยไฟฟ้าเคมี	20
4.1.1 การบำบัดน้ำเสียจากการย้อมผ้าฝ่ายทดลองด้วยสีรีแอกทีฟ	23
4.1.2 การบำบัดน้ำเสียจากการย้อมเส้นด้ายอะคริลิกด้วยสีเบสิก	37
4.2.1 เปรียบเทียบประสิทธิภาพการกำจัดสีรีแอกที่ระหว่างข้าไฟฟ้าอะลูมิเนียม กับข้าไฟฟ้าเหล็ก ที่ระยะเวลาสัมผัสเท่ากัน ค่าศักย์ไฟฟ้าต่างกัน	50
4.2.2 เปรียบเทียบประสิทธิภาพการกำจัดสีรีแอกที่ระหว่างข้าไฟฟ้าอะลูมิเนียม กับข้าไฟฟ้าเหล็ก ที่ค่าศักย์ไฟฟ้า 30 โวลต์ ระยะเวลาสัมผัสด่างกัน	51
4.2.3 ประสิทธิภาพการบำบัดน้ำเสียสีรีแอกที่ฟด้วยข้าไฟฟ้าอะลูมิเนียม 30 โวลต์ ระยะเวลาสัมผัสด่างกัน	51
4.2.4 ประสิทธิภาพการบำบัดน้ำเสียสีรีแอกที่ฟด้วยข้าไฟฟ้าเหล็ก 30 โวลต์ ที่ระยะเวลาสัมผัสด่างกัน	52
4.2.5 เปรียบเทียบประสิทธิภาพการกำจัดของแข็งละลายน้ำในน้ำเสียสีรีแอกที่ฟ ด้วยข้าไฟฟ้าอะลูมิเนียม ที่ระยะเวลาสัมผัสด่างกัน ค่าศักย์ไฟฟ้าต่างกัน	52
4.2.6 เปรียบเทียบประสิทธิภาพการกำจัดสีเบสิกระหว่างข้าไฟฟ้าอะลูมิเนียมกับข้าไฟฟ้าเหล็ก ที่ระยะเวลาสัมผัสด่างกัน	53
4.2.7 เปรียบเทียบประสิทธิภาพการกำจัดสีเบสิกระหว่างข้าไฟฟ้าอะลูมิเนียม กับข้าไฟฟ้าเหล็ก ที่ค่าศักย์ไฟฟ้า 30 โวลต์ ระยะเวลาสัมผัสด่างกัน	54
4.2.8 เปรียบเทียบประสิทธิภาพการกำจัดของแข็งละลายน้ำในน้ำเสียสีเบสิกด้วย ข้าไฟฟ้าเหล็ก ที่ระยะเวลาสัมผัสด่างกัน ค่าศักย์ไฟฟ้าต่างกัน	54
4.2.9 เปรียบเทียบประสิทธิภาพการกำจัดความชุนในน้ำเสียสีเบสิกด้วย ข้าไฟฟ้าเหล็ก ระยะเวลาสัมผัสด่างกัน ค่าศักย์ไฟฟ้าต่างกัน	55
4.2.10 น้ำเสียเบสิก ก่อนและหลังการบำบัดโดยไฟฟ้าเคมี ด้วยข้าไฟฟ้าเหล็ก	56
4.2.11 น้ำเสียก่อนและหลังการบำบัดโดยไฟฟ้าเคมี	56
4.3.1 น้ำใช้ของโรงงาน และน้ำหลังการบำบัดโดยไฟฟ้าเคมี ด้วยข้าไฟฟ้าเหล็ก	57

## บทที่ 1

บทนำ

### 1.1 ความสำคัญและที่มาของปัญหาที่ทำการวิจัย

อุดสาหกรรมสิ่งทอเป็นอุดสาหกรรมขนาดใหญ่ประกอบด้วยอุดสาหกรรมผลิตเส้นใย อุดสาหกรรมปืนด้วย อุดสาหกรรมห่อผ้าและถักผ้า อุดสาหกรรมฟอก ย้อม พิมพ์และตกแต่งสำเร็จ และอุดสาหกรรมเสื้อผ้าสำเร็จชุด แต่ละอุดสาหกรรมมีความเกี่ยวข้องซึ่งกันและกัน เนื่องจากผลิตภัณฑ์จากอุดสาหกรรมหนึ่งเป็นวัตถุดิบของอุดสาหกรรมหนึ่ง นับเป็นอุดสาหกรรมที่มีความสำคัญต่อระบบเศรษฐกิจของประเทศไทยอย่างมาก โดยส่วนของอุดสาหกรรมซึ่งต้องรับผิดชอบต่อผลกระบวนการสิ่งแวดล้อมมากที่สุด คืออุดสาหกรรมฟอก ย้อม พิมพ์ และตกแต่งสำเร็จ เนื่องจากเป็นอุดสาหกรรมที่ต้องใช้น้ำ สารเคมี และสีย้อม ในกระบวนการผลิตเพื่อให้ได้ลักษณะของผลิตภัณฑ์ต่างๆ ตามความต้องการ เป็นอุดสาหกรรมที่สามารถสร้างมูลค่าเพิ่มให้กับผลิตภัณฑ์ได้อย่างมากมาย ทั้งนี้ปัญหาใหญ่คือเรื่องการบริหารจัดการน้ำซึ่งเป็นหัวใจสำคัญของกระบวนการผลิต และเป็นปัจจัยที่สำคัญของดัชนีทุนการผลิต ดังนั้นถ้าสามารถนำน้ำเสียที่ผ่านการบำบัดแล้วกลับมาใช้ในกระบวนการที่เหมาะสมได้จะทำให้ลดต้นทุนในการผลิตเป็นการเพิ่มขีดความสามารถในการแข่งขัน รวมทั้งยังเป็นการป้องกัน และลดผลกระทบสิ่งแวดล้อม

การบันดั้น้ำเสียด้วยวิธีไฟฟ้าเคมีจึงเป็นทางเลือกหนึ่งที่อาจนำมาพัฒนา เพื่อประยุกต์ใช้ในการบันดั้น้ำเสียจากอุตสาหกรรมฟอกย้อมได้ และมีความเป็นไปได้ที่จะสามารถนำน้ำที่ผ่านการบันดักกลับมาใช้ซ้ำในกระบวนการ เนื่องจากวิธีไฟฟ้าเคมีสามารถกำจัดสารมลพิษ สารอินทรีย์ และสี ได้โดยไม่ต้องใช้สารเคมี หน่วยบันดั้น้ำเสียมีขนาดเล็ก เป็นระบบที่รวดเร็วและมีประสิทธิภาพสูง

## 1.2 วัตถุประสงค์ของโครงการวิจัย

- (1) ศึกษาตัวแปรที่มีผลต่อการนำบัดน้ำเสียจากกระบวนการไฟฟ้าเคมี
- (2) ศึกษาประสิทธิภาพการนำบัดน้ำเสียจากกระบวนการไฟฟ้าเคมี
- (3) ศึกษาความเป็นไปได้ในการนำน้ำที่ผ่านการนำบัดด้วยกระบวนการไฟฟ้าเคมีกลับมาใช้ซ้ำในกระบวนการ

## 1.3 ขอบเขตของโครงการวิจัย

- (1) ทดลองกับน้ำเสียจากการรับข้อมูลฝ่ายทอด้วยสีรีแอคทีฟ และน้ำเสียจากการฟอกย้อมเส้นด้ายอะคริลิกด้วยสีเบสิกจากโรงงานเจริญชัยการรับข้อมูล
- (2) ตัวแปรที่ศึกษา มีดังนี้
  - รัศดุลที่ใช้ทำอิเล็กโทรด
  - ศักยไฟฟ้า
  - ขนาดของอิเล็กโทรด
  - ระยะเวลาสัมผัส
- (3) ดัชนีคุณภาพน้ำที่วัดเคราะห์เพื่อหาสภาวะที่เหมาะสม
  - ค่าพีเอช
  - ค่าความนำไฟฟ้า
  - ค่าความชื้น
  - ค่าการดูดกลืนแสง
- (4) ดัชนีคุณภาพน้ำที่วัดเคราะห์เพื่อศึกษาความเป็นไปได้ในการนำน้ำกลับมาใช้ซ้ำ
  - ค่าพีเอช
  - ค่าความนำไฟฟ้า
  - ค่าความชื้น
  - ค่าการดูดกลืนแสง
  - ปริมาณของแข็งแขวนลอย
  - ค่าซีโอดี
  - ค่าความกระด้าง

#### 1.4 ประโยชน์ที่คาดว่าจะได้รับ

(1) เป็นแนวทางในการนำไปใช้งานจริงในการบำบัดน้ำเสียโรงงานฟอกย้อม และประยุกต์ใช้ได้กับโรงงานประเภทอื่น

(2) น้ำทึ้งที่ผ่านการบำบัดด้วยกระบวนการไฟฟ้าเคมีสามารถนำกลับใช้ใหม่ได้ และสามารถลดค่าใช้จ่ายของโรงงานในด้านต้นทุนของน้ำใช้และต้นทุนการบำบัดน้ำเสีย

#### 1.5 สมมุติฐานการวิจัย

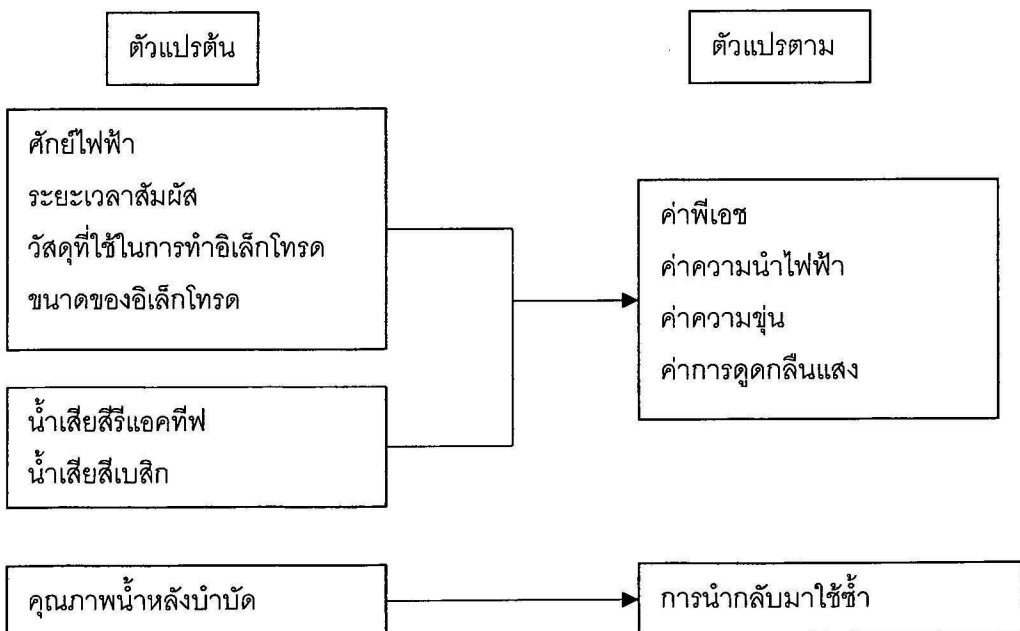
(1) การบำบัดน้ำเสียจากกระบวนการฟอกย้อมด้วยวิธีไฟฟ้าเคมี ขึ้นกับตัวแปรต่างๆ ดังนี้

- ศักย์ไฟฟ้า
- ระยะเวลาสัมผัส
- วัสดุที่ใช้ทำอิเล็กโทรด
- ขนาดของอิเล็กโทรด

(2) กระบวนการทางไฟฟ้าเคมีสามารถบำบัดน้ำเสียจากการฟอกย้อมได้อย่างมีประสิทธิภาพ

(3) น้ำเสียจากการฟอกย้อมที่ผ่านการบำบัดด้วยกระบวนการไฟฟ้าสามารถนำกลับมาใช้ซ้ำในกระบวนการได้

#### 1.6 กรอบแนวคิดการวิจัย



## บทที่ 2

### เอกสารและรายงานการวิจัยที่เกี่ยวข้อง

#### 2.1 ปัญหาสิ่งแวดล้อมที่เกิดจากอุตสาหกรรมฟอกย้อม

ปัญหาสิ่งแวดล้อมที่เกิดจากอุตสาหกรรมฟอกย้อม ส่วนใหญ่เกิดจากการน้ำเสีย โดยน้ำเสียจากการฟอกย้อมมีแหล่งกำเนิดในเกือบทุกขั้นตอนของการผลิต ตั้งแต่การเตรียมผ้า การย้อม และการตากแห้งสำเร็จ โดยเฉพาะในกระบวนการชำรุดล้างทำความสะอาด มีการใช้น้ำในอัตราที่สูงมาก ซึ่งสิ่งที่สามารถพบได้ในน้ำเสียเสมอ ได้แก่ เชเชเด็นไน 酇์ฟ้า สารเคมี กรดด่าง ไขมัน สนุ่ สีย้อม และตัวทำละลาย ทำให้ปริมาณสารมลพิษในน้ำเสียมีปริมาณสูง และเป็นปัญหาต่อสิ่งแวดล้อม (สำนักสิ่งแวดล้อมอุตสาหกรรม, 2542)

สภาพการเกิดและการระบาดของน้ำเสีย เริ่มจากคุณภาพต่างๆ ที่ใช้ในกระบวนการผลิต ซึ่งเป็นแหล่งกำเนิดที่ถ่ายน้ำเสียลงในระบบภายในโรงงาน หลังจากนั้นน้ำเสียจะไหลเข้าสู่ระบบบำบัดน้ำเสียของโรงงานก่อน ระบบทึบออกสู่แหล่งน้ำสาธารณะต่อไป ซึ่งน้ำเสียจากอุตสาหกรรมฟอกย้อมมีที่มาจากแหล่งต่างๆ ที่สำคัญ 5 แหล่งด้วยกัน คือ

##### (1) น้ำในกระบวนการผลิต

น้ำในกระบวนการผลิต ได้แก่ น้ำจากกระบวนการฟอกย้อม น้ำใช้ในสวนน้ำอาจมีการระเหยไปบ้างในระหว่างขั้นตอนการผลิต แต่ส่วนใหญ่จะถูกปล่อยออกมาน้ำเสียภายในน้ำเสียภายนอก การผลิต แบ่งได้เป็น 2 ประเภท ใหญ่ๆ คือ

- น้ำจากการฟอกย้อม มีปริมาณไม่มากนัก แต่มีความเข้มข้นของสิ่งสกปรกเจือปนที่ค่อนข้างสูง
- น้ำจากการซักล้างภายนอก การฟอกย้อม มีปริมาณมาก แต่มีความเข้มข้นของสิ่งสกปรกเจือปนโดยส่วนรวมแล้วต่ำกว่าน้ำเสียจากขั้นตอนการฟอกย้อม

##### (2) น้ำในหม้อไอน้ำ

ในกระบวนการฟอกย้อม ไอน้ำเป็นตัวให้ความร้อนแก่น้ำที่ใช้ในกระบวนการ และเป็นตัวให้ความร้อนในตู้อบไอน้ำ ถ้าไอน้ำที่ใช้ถูกปล่อยให้เย็นลง และกลับตัวในห้องไอน้ำก็จะได้น้ำที่สะอาดน้ำกลับไปใช้ใหม่ได้ แต่ถ้าไอน้ำถูกส่งเข้าไปให้ความร้อนแก่สารละลายสีย้อมโดยตรง จะเป็นการเพิ่มปริมาตรของสารละลายสีย้อม และถูกรวมเป็นน้ำเสีย

##### (3) น้ำหล่อเย็น

กระบวนการฟอกย้อม ในบางขั้นตอนจำเป็นต้องลดอุณหภูมิของสารละลายสีย้อมลงในเวลาสั้น ทำได้โดยใช้น้ำหล่อเย็น น้ำหล่อเย็นนี้ส่วนมากจะเป็นน้ำสะอาดสามารถนำกลับมาใช้ใหม่ได้

(4) น้ำล้างเครื่องจักรและทำความสะอาดโรงงาน

น้ำส่วนนี้เป็นส่วนประกอบที่สำคัญส่วนหนึ่ง ของน้ำเสียจากอุตสาหกรรมฟอกย้อม และในบางกรณีเป็นน้ำเสียที่มีความสกปรกสูงมากด้วย เช่น น้ำล้างถังเตรียมสีย้อม เป็นต้น

(5) น้ำจากแหล่งอื่น ๆ

นอกจากน้ำเสียจากแหล่งต่างๆ ดังกล่าวข้างต้นแล้ว โรงงานอุตสาหกรรมฟอกย้อม ยังอาจมีน้ำเสียจากแหล่งอื่นๆ อีก เช่น น้ำใช้จากการลักงาน และโรงอาหาร เป็นต้น

## 2.2 วิธีกำจัดสีจากน้ำเสียโรงฟอกข้อมูล

การกำจัดสีจากน้ำเสียของโรงงานฟอกย้อมได้มีการพัฒนาต่อเนื่อง จากเดิมที่ใช้โรงงานทว่ไปมักใช้ระบบบำบัดน้ำเสียแบบชีวภาพในการกำจัดสารอินทรีย์ในน้ำเสีย โดยในสมัยก่อนสีที่ปล่อยออกมามีปริมาณน้อย ทำให้ยังไม่เกิดมลพิษต่อสิ่งแวดล้อม แต่ในปัจจุบันอุตสาหกรรมสิ่งทอได้เพิ่มจำนวนมากขึ้น อีกทั้งยังมีการพัฒนาเทคโนโลยีที่เกี่ยวข้องกับกระบวนการฟอกย้อม ไม่ว่าจะเป็นเครื่องจักรที่ทันสมัย การเติมสารเคมีช่วยเพิ่มคุณภาพของผ้า จนกระทั่งการพัฒนาสีที่ใช้ในการย้อม เพื่อให้สีติดผ้ามากขึ้น ทำให้น้ำเสียจากโรงงานฟอกย้อมประกอบด้วยสารเคมีและสีย้อมมากหมายหลายชนิด จนไม่สามารถใช้กระบวนการบำบัดน้ำเสียแบบชีวภาพชนิดตะกอนเร่ง (activated sludge) ใน การกำจัดสีให้ลดลงได้ จึงได้มีการพัฒนาเทคโนโลยีเกี่ยวกับวิธีการกำจัดสีหลายวิธี การเลือกวิธีการกำจัดสีหนึ่งวิธีหรือมากกว่า ขึ้นกับขั้นตอนในการฟอกย้อม และชนิดสีที่ใช้โดยจำแนก วิธีการกำจัดสีได้ ดังนี้

#### 2.2.1 การกำจัดสีทางเคมี-ฟลูอิດ

การกำจัดสีโดยวิธีทางเคมี-พิสิกส์เป็นการนำบัดน้ำเสียขันตัน ก่อนเข้าสู่ระบบบำบัดน้ำเสียขันที่สองต่อไป หรืออาจใช้ตามหลังกระบวนการชีวภาพ ตัวอย่างของการกำจัดสีโดยวิธีเคมี-พิสิกส์ ได้แก่ กระบวนการโคเออกูเลชัน โดยใช้สารเคมีซึ่งสามารถกำจัดสีอินทรีย์ และสารประกอบอื่นๆ ได้อย่างมีประสิทธิภาพ กลไกของกระบวนการดังกล่าว เกิดจากอนุภาคหรือสิ่งปนเปื้อนถูกดูดติดผิว พล็อก โรงฟอกย้อมส่วนมากนิยมใช้สารเคมีต่างๆ ในการทำให้เกิดกระบวนการกรองโคเออกูเลชัน และพล็อกกูเลชัน ได้แก่ ปูนขาว สารส้ม เกลือเฟอริค หรือพอลิอิเลคโทรไลต์ แล้วตามด้วยกระบวนการกรองตะกอน ซึ่งพบว่ามีข้อเสีย เนื่องจากใช้สารเคมีเปริมาณมากในการกำจัดสี และมีผลดัจดีทางเคมีเกิดขึ้นมากตามมาด้วย ดังนั้นการใช้วิธีการโคเออกูเลชัน และพล็อกกูเลชัน ในการกำจัดสีจากน้ำเสียโรงฟอกย้อม ข้อสำคัญที่ควรคำนึงถึงคือ การประเมินปริมาณสารเคมีที่ต้องใช้ ให้มีปริมาณพอเหมาะสมกับลักษณะของน้ำเสีย

## 2.2.2 กระบวนการทางเคมี

### (1) การออกซิเดชัน (oxidation)

#### (1.1) การเติมคลอริน (chlorination)

สีย้อมหลายชนิดถูกกำจัดได้โดยใช้สารเคมีเป็นตัวออกซิไดซ์ สารเคมีที่นิยมใช้มากในการกำจัดสีขึ้นต้นคือ คลอรินในรูปของเหลวหรือแก๊ส อย่างไรก็ตาม พบร่วมกันของการใช้คลอรินในปริมาณมากเกินไปจะทำให้เป็นอันตรายต่อมนุษย์และสิ่งแวดล้อม (ในรูปสารประกอบ chlorinated chemical) จากงานวิจัยของ Ghosh และคณะ (1978) จ้างโดย Reife และ Freeman (1996) ในการกำจัดสีโดยกระบวนการเติมคลอริน สรุปได้ว่าต้องใช้คลอรินปริมาณ 150 มิลลิกรัมต่อลิตร จึงจะให้ประสิทธิภาพ ในการกำจัดสีร้อยละ 77 แต่จะมีคลอรินตกค้างในน้ำเสียปริมาณ 110 มิลลิกรัมต่อลิตร และถ้าใช้คลอรินต่ำกว่า 100 มิลลิกรัมต่อลิตร จะไม่มีคลอรินตกค้างเหลืออยู่ แต่จะทำให้ประสิทธิภาพในการกำจัดสีลดลงเหลือร้อยละ 57

#### (1.2) การเติมโอโซน (ozonation)

โอโซนได้ถูกใช้ในการกำจัดกลิ่นในน้ำดื่ม ตลอดจนใช้ในการย่อยสลายสารประกอบสี โอโซนเป็นตัวออกซิไดซ์ที่ก่อภัยต่อกลอริน และพบร่วมกับไก่ที่ได้จากการออกซิไดซ์น้ำเสียที่มีสีโดยใช้โอโซน ไม่ก่อให้เกิดมลพิษจากสารพิษ chlorinated organics ในงานวิจัยของ Horning (1978) พบร่วมว่า การใช้โอโซนปริมาณ 1 มิลลิกรัมต่อลิตร เป็นตัวออกซิไดซ์ จานมีประสิทธิภาพในการกำจัดสีรีแอคทีฟ และ สีเบสิก แต่ไม่มีประสิทธิภาพในการกำจัดสีดีสเพอร์ส ส่วนการกำจัดสีไดเรกต์ ต้องใช้โอโซนในปริมาณที่ไม่แน่นอน และนอกจากนี้ยังเป็นวิธีที่มีค่าใช้จ่ายสูงในการติดตั้งอุปกรณ์

#### (1.3) การรีดักชัน (reduction)

ในการศึกษาเกี่ยวกับการรีดักชันของสีชนิดเอโซ (azo) ด้วยโซเดียมไฮโอดีไซล์ไฟต์ พบร่วมว่าสีเอโซจะถูกสลายให้กล้ายเป็นโมเลกุลที่มีขนาดเล็กลง เกิดเป็นสารประกอบของโรมาติกเคมี ซึ่งสารประกอบที่เกิดขึ้นดังกล่าวพบร่วมว่า หากปล่อยลงสู่แหล่งน้ำจะเป็นพิษมากกว่าตัวของสีย้อมเอง (Reife และ Freeman , 1996)

#### (1.4) กระบวนการดูดติดผิว

กระบวนการดูดติดผิวเป็นวิธีที่มีประสิทธิภาพ ในการกำจัดสีที่มีปริมาณความเข้มข้นของสารอินทรีย์ในน้ำทึบตื้า โดยใช้ถ่านกัมมันต์ (activated carbon) ซึ่งสามารถเตรียมได้จาก ลิกไนต์ ถ่านหิน เศษไม้ เศษฝ้าย กระ吝ะพร้าว ฯลฯ ซึ่งวัสดุดังกล่าวมีพื้นที่ผิว 500 - 1400 ตารางเมตรต่อกิโลกรัม (Reife และ Freeman , 1996) โดยพบร่วมว่า โครงสร้างโมเลกุลของสีย้อม มีผลต่อปริมาณการดูดติดผิวนองถ่านกัมมันต์อย่างมีนัยสำคัญ โดยทั่วไปแล้วความสามารถในการดูดติดผิวของสารประกอบจะเพิ่มขึ้นตามการเพิ่มขนาดของโมเลกุล ความเป็นสารประกอบแครอโนมาติก (aromaticity) ความมีช้า (polarity) และการแตกพันธะลูกใช้ของคาร์บอน (carbon chain balancing)

### (1.5) กระบวนการไฟฟ้าเคมี

สถาบัน ADMI ได้ทำวิจัยเกี่ยวกับการกำจัดโลหะหนักจากน้ำเสียโรงฟอกย้อมโดยกระบวนการไฟฟ้าเคมี พบว่า นอกจากราสามารถกำจัดโลหะหนักแล้ว ยังสามารถกำจัดสีให้ลดลงได้อีกด้วย จึงทำให้มีการใช้เทคโนโลยีไฟฟ้าเคมีในการบำบัดน้ำเสียจากโรงฟอกย้อมเป็นครั้งแรก และมีการจดสิทธิ์โดยใช้ชื่อว่า Andco Environmental Process (Uhrich ,1989) โดย Carneiro, P.A., Fugivara, C.S., Nogueira, F.P. , Boralle, N., and Zanoni, V.B. (2003) ศึกษาเบรียบเทียบการกำจัดสีรีแอดคทีฟ (Reactive Blue 4 Dye) ระหว่างกระบวนการไฟฟ้าเคมีโดยใช้  $\text{SnO}_2$  อิเล็กโทรด และกระบวนการกรารออกซิเดชันด้วยสารเพนตตอน ร่วมกับแสงอัลตราไวโอล็อก ผลการทดลองรายงานว่า เมื่อใช้  $\text{SnO}_2$  อิเล็กโทรด สามารถลดค่าทีโอซี (TOC) ลงได้ร้อยละ 58 และกำจัดสีจากน้ำเสียได้ทั้งหมด และเมื่อใช้กรารออกซิเดชันด้วยสารเพนตตอน ร่วมกับแสงอัลตราไวโอล็อก พบว่าสามารถลดค่าทีโอซี (TOC) ลงได้ร้อยละ 80 และกำจัดสีจากน้ำเสียได้ทั้งหมด และจากรายงานผลการวิจัยในการบำบัดน้ำเสีย โรงงานสิ่งทอ เพื่อนำกลับมาใช้ใหม่ด้วยกระบวนการกรารออกซิเดชันด้วยไฟฟ้าเคมีตามด้วยกระบวนการกรอง ของ Chen, X., Shen, Z., Zhu, X., Fan, Y., and Wang, W. (2005) ผลการทดลองพบว่า กรารออกซิเดชันด้วยไฟฟ้าเคมีมีประสิทธิภาพสูงในการลดค่าทีโอดี (ร้อยละ 89.8) และหลังจากผ่านกระบวนการกรองด้วยเมมเบรนพบว่า สามารถลดค่าของแข็งแขวนลอยลงได้เกือบทั้งหมด ลดค่าความชุนลงได้ร้อยละ 93.3 และน้ำที่ผ่านกระบวนการกรองสามารถนำกลับมาใช้ซ้ำได้อีกในกระบวนการผลิต

#### 2.2.3 กระบวนการทางชีวภาพ

กระบวนการบำบัดน้ำเสียทางชีวภาพมีการแบ่งออกเป็น 2 ประเภทคือ

- (1) ระบบบำบัดแบบไร้อากาศ (anaerobic treatment system)
- (2) ระบบบำบัดแบบใช้อากาศ (aerobic treatment system)

การบำบัดน้ำเสียด้วยวิธีไร้อากาศ เป็นวิธีที่ไม่ต้องเติมออกซิเจนหรือถังหมาก ระบบนี้เริ่มนิยมใช้กันอย่างแพร่หลายมากขึ้นเรื่อยๆ เพราะประหยัดพลังงานในการเติมอากาศ และยังได้ผลลัพธ์ที่เกิดจากระบบไร้อากาศเจนไดแก๊สเมทีน เป็นต้น ซึ่งเป็นแก๊สที่ใช้ในการหุงต้มทำอาหารได้ และใช้ในการต้มน้ำในหม้อต้มน้ำของ โรงงานอุตสาหกรรมได้ ในอดีตเข้าใจกันว่าการบำบัดน้ำเสียด้วยวิธีไร้อากาศ จำเป็นต้องมีน้ำเสียที่มีความสกปรกมาก แต่ปัจจุบันได้มีการพัฒนารูปแบบของเงินปฎิกริยาขึ้นมาเรื่อยๆ จนสามารถบำบัดน้ำเสียที่มีปือดีต่ำๆ เช่น น้ำเสียจากชุมชน เป็นต้น

การบำบัดน้ำเสียทางชีวภาพแบบใช้อากาศ เป็นอีกกระบวนการหนึ่งที่นิยมใช้กันมากในการบำบัดน้ำเสีย จากโรงฟอกย้อม เนื่องจากมีค่าใช้จ่ายต่ำกว่าวิธีอื่น และในสมัยก่อนน้ำเสียจากโรงฟอกย้อมจะถูกปล่อยรวมกับน้ำเสียจากเทศบาล และใช้ระบบตะกอนเร่งในการบำบัดน้ำเสีย อย่างไรก็ตามในปัจจุบัน เนื่องจากมีสิ่งมากันน้ำเสียจากโรงฟอกย้อมในปริมาณมาก จนไม่สามารถที่จะใช้ระบบตะกอนเร่ง กำจัดสีที่เกิดขึ้น แต่ก็ได้มีงานวิจัยเกี่ยวกับการกำจัดสี โดยใช้ระบบตะกอนเร่งของ Carliell และคณะ (1996) โดยพบว่า สีย้อมเป็นตัวขัดขวางการย่อยสลายแบบใช้อากาศเจน สาเหตุจากตัวสีย้อมได้มีการเติมสารเคมีที่ช่วยเพิ่มคุณสมบัติของสีย้อม เช่น สาร

ป้องกันไม่ให้สีตก และ ยังพบว่าอัตราการย่อยสลายน้ำเสียของโรงฟอกย้อมข้ากว่าน้ำเสียชุมชน (Reife และ Freeman , 1996)

#### 2.2.4 อื่นๆ

นอกจากกระบวนการการต่างๆ ที่ได้กล่าวมาแล้วข้างต้น ยังมีกระบวนการการกำจัดสีโดยอาศัยเทคโนโลยีใหม่ๆ อีก เช่นกระบวนการกรองโซโนซิลิกอนกลับ การกรองโดยผ่านแสงญี่วี การแยกเปลี่ยนไอออน โดยจะใช้ในการบำบัดน้ำเสียจากโรงฟอกย้อมที่มีความเข้มข้นของสีสูง และน้ำที่ได้จากการบำบัดด้วยกระบวนการการดังกล่าวสามารถนำกลับมาใช้ใหม่ได้ แต่ยังไม่เป็นวิธีที่แพร่หลายนัก เนื่องจากมีค่าใช้จ่ายในการติดตั้งและบำรุงรักษาก่อภารณ์สูงมาก

ดังนั้นการศึกษาวิจัยในครั้งนี้ มีแนวความคิดว่าการบำบัดน้ำเสียจากโรงฟอกย้อมน่าจะบำบัดด้วยวิธีไฟฟ้าเคมีอาศัยกลไกการใช้อิเล็กตรอนในการทำปฏิกิริยาออกซิเดชัน-รีดักชัน แทนการใช้สารเคมีในการเกิดปฏิกิริยา

### 2.3 ไฟฟ้าเคมี (electrochemistry)

ไฟฟ้าเคมี (electrochemistry) เป็นปฏิกิริยาที่เกี่ยวข้องกับการถ่ายโอนอิเล็กตรอน ซึ่งเป็นปฏิกิริยาเคมีที่สำคัญอย่างหนึ่ง เกี่ยวข้องกับการเปลี่ยนแปลงพลังงานเคมีและพลังงานไฟฟ้า สามารถเปลี่ยนพลังงานเคมีให้เป็นพลังงานไฟฟ้า คือ เกิดปฏิกิริยาเคมีแล้วทำให้เกิดกระแสไฟฟ้า และสามารถเปลี่ยนพลังงานไฟฟ้าให้เป็นพลังงานเคมี โดย ใช้กระแสไฟฟ้าทำให้เกิดปฏิกิริยาเคมี แบ่งเป็น 2 ประเภท

- (1) ปฏิกิริยาเรด็อกซ์ (redox reaction) เป็นปฏิกิริยาที่มีการถ่ายเทอิเล็กตรอน
- (2) ปฏิกิริยานอนเรด็อกซ์ (nonredox reaction) เป็นปฏิกิริยาที่ไม่มีการถ่ายเทอิเล็กตรอน

#### 2.3.1 ปฏิกิริยาเรด็อกซ์ (redox reaction หรือ oxidation-reduction reaction)

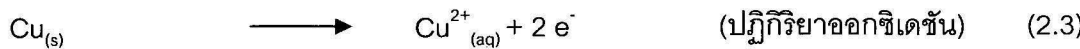
ปฏิกิริยาเรด็อกซ์ หมายถึง ปฏิกิริยาที่เกี่ยวข้องกับการถ่ายเทอิเล็กตรอน ด้วยร่าง เท่น เมื่อนำแผ่นโลหะทองแดง ( $Cu$ ) จุ่มลงในสารละลายน้ำซิลเวอร์ในเทret ( $AgNO_3$ ) พบร่วมกับที่แผ่นโลหะทองแดง มีของแข็งสีขาวปนเทาเกาะอยู่ และเมื่อนำมาเคาะจะพบว่าโลหะทองแดง เกิดการสึกกร่อน ส่วนสีของสารละลายน้ำซิลเวอร์ในเทret จะเปลี่ยนจากใส่ไม่มีสีเป็นสีฟ้า

การเปลี่ยนแปลงที่เกิดขึ้นนี้ อธิบายได้ว่าการที่โลหะทองแดงเกิดการสึกกร่อนเป็นเพราะโลหะทองแดง ( $Cu$ ) เกิดการเสียอิเล็กตรอนกลายเป็น  $Cu^{2+}$  ซึ่งมีสีฟ้า และเมื่อ  $Ag^+$  รับอิเล็กตรอนเข้ามายังกลายเป็นโลหะเงิน ( $Ag$ ) มาเกาะอยู่ที่แผ่นโลหะทองแดง

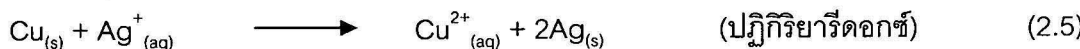
ปฏิกิริยาที่เกิดขึ้น เขียนในรูปสมการได้ดังนี้



อิเล็กตรอนที่ถ่ายเทต้องเท่ากัน ดังนั้นสมการเคมีที่เกิดขึ้นที่แท้จริงเป็นดังนี้



ปฏิกิริยาที่เกิดขึ้นในแต่ละสมการเรียกว่าครึ่งปฏิกิริยา ซึ่งการเกิดปฏิกิริยาถ่ายเทอิเล็กตรอน จะเกิดขึ้นได้สมบูรณ์ก็ต่อเมื่อต้องนำครึ่งปฏิกิริยาทั้งสองมารวมกัน เอียนเป็นสมการได้ดังนี้

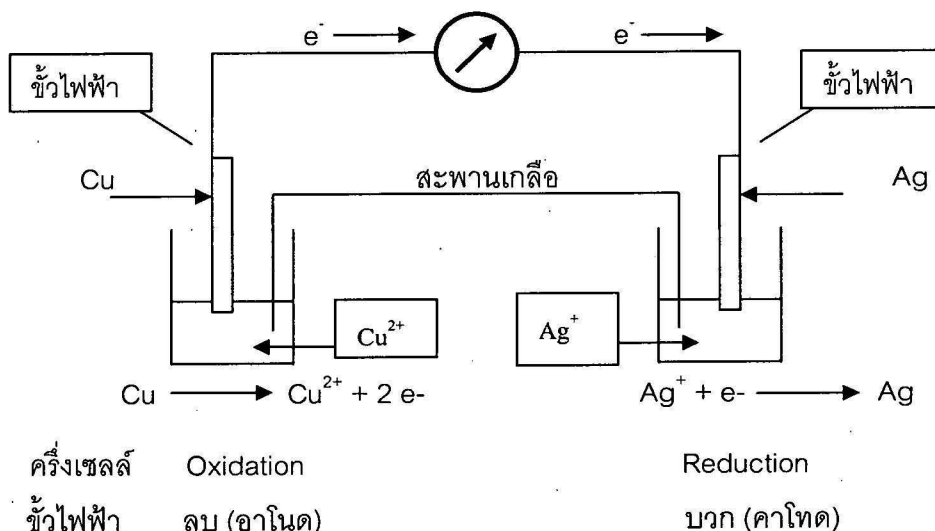
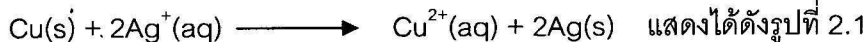


สรุปได้ว่าการเกิดปฏิกิริยาเรดอกซ์จะต้องประกอบไปด้วย

- (1) สารที่ให้อิเล็กตรอนเรียกว่าตัววิดิวต์ เกิดปฏิกิริยาออกซิเดชัน (oxidation reaction)
- (2) สารที่รับอิเล็กตรอนเรียกว่าตัวออกซิไดซ์ เกิดปฏิกิริยาเรดักชัน (reduction reaction)

### 2.3.2 เชลล์ไฟฟ้าเคมี

เนื่องจากสารที่ให้และรับอิเล็กตรอนที่สัมผัสกันโดยตรง จะไม่สามารถแสดงกระแสไฟฟ้าที่เกิดขึ้นได้ดังนั้น หากต้องการให้มีกระแสไฟฟ้าเกิดขึ้นต้องนำ electrode ตัวนำไฟฟ้าต่อเขื่อมเข้าไประหว่างขั้วไฟฟ้าของครึ่งเชลล์ที่ให้ และรับอิเล็กตรอน พร้อมกับโอล์ต์มิเตอร์ และสะพานเกลือเขื่อมระหว่างครึ่งเชลล์ทั้งสอง โดยปฏิกิริยาที่เกิดขึ้นคือ



รูปที่ 2.1 เชลล์ไฟฟ้าเคมี

#### (1) แรงเคลื่อนไฟฟ้าในเชลล์ไฟฟ้า

ในเชลล์ไฟฟ้ามีการไหลของกระแสไฟฟ้า เพราะมีการเคลื่อนที่ของอิเล็กตรอนผ่านตัวนำในการผลักดันให้ประจุ 1 คูลومบ์ เคลื่อนที่จากจุดหนึ่งไปยังอีกจุดหนึ่งในวงจรนั้น และต้องมีการรับหรือปลดปล่อยพลังงานไฟฟ้าเกิดขึ้นด้วยเสมอ เชลล์ไฟฟ้าหนึ่งต้องการพลังงาน 1 จูล ในการทำให้เกิดการเคลื่อนที่ของประจุ 1 คูลอมบ์ จากจุดหนึ่งไปยังอีกจุดหนึ่งในเชลล์ หมายความว่าจุดสองจุดนั้นมีความต่างศักย์เท่ากับ 1 โวลต์ ดังนั้นความต่างศักย์ 1 โวลต์ จึงมีค่าเท่ากับ 1 จูลต่อคูลอมบ์ จากความหมายของพลังงานไฟฟ้าดังกล่าวข้างต้น จะได้ว่า

$$\text{งานทางไฟฟ้า} (W_{\text{elec.}}) = \text{คูลومบ์} \times \text{โวลต์} \quad (2.6)$$

งานที่ได้จากเซลล์ไฟฟ้านี้ของมีการถ่ายเทอเล็กตรอน ดังนั้นจำนวนประจุในหน่วยคูลอมบ์ จึงขึ้นกับจำนวนอิเล็กตรอนในปฏิกิริยา ซึ่งทุก 1 มอลของอิเล็กตรอนจะมีปริมาณประจุเท่ากับ 96,487 คูลอมบ์ ถ้าในปฏิกิริยาของเซลล์ไฟฟ้ามีการถ่ายเทอเล็กตรอน  $n$  มอล จะมีปริมาณประจุเท่ากับ  $n \times 96,487$  หรือ  $nF$  คูลอมบ์

$$W_{\text{elec.}} = (nF) (E) = nE \times 96,487 \quad (2.7)$$

$F$  คือค่าคงที่ของฟาราเดียเท่ากับ 96,487 คูลอมบ์ต่อโมล

งานทางไฟฟ้าจะเกิดขึ้นได้ต้องมีการลดพลังงานอิสระที่มีอยู่ในเซลล์ด้วย และในการนี้ที่ปฏิกิริยาในเซลล์เกิดขึ้นอย่างผันกลับได้ การลดพลังงานอิสระ จะเท่ากับงานที่กระทำ

$$\Delta G = -nFE \quad (2.8)$$

ที่อุณหภูมิและความดันหนึ่งๆ  $\Delta G$  มีเครื่องหมายเป็นลบ แสดงว่าปฏิกิริยาเกิดขึ้นได้เอง

$\Delta G$  มีเครื่องหมายเป็นบวก แสดงว่าปฏิกิริยาเกิดขึ้นเองไม่ได้

$\Delta G$  เท่ากับศูนย์ แสดงว่าปฏิกิริยาอยู่ในภาวะสมดุล

## (2) ศักยไฟฟ้ามาตรฐาน ( $E^\circ$ )

เนื่องจากแรงเคลื่อนไฟฟ้าของเซลล์ คือผลรวมทางพิชิตของศักยไฟฟ้าของแต่ละขั้วไฟฟ้า ในทางปฏิกิริยาไม่มีวิธีดักศักยไฟฟ้าเฉพาะแต่ละขั้วเดียวได้โดยตรง แต่ต้องวัดเป็นแรงเคลื่อนไฟฟ้าของเซลล์ ดังนั้นจึงต้องกำหนดศักยไฟฟ้าของขั้วไฟฟ้ามาตรฐานขึ้น โดยกำหนดให้ค่าศักยไฟฟ้าของไฮโดรเจนที่สภาวะมาตรฐาน ( $25^\circ\text{C}$ , 1atm) มีค่าเท่ากับศูนย์โวลต์

การวัดค่าศักยไฟฟ้ามาตรฐาน ของเซลล์ไฟฟ้าใดๆ ทำได้โดยการนำครึ่งเซลล์มาตรฐานไฮโดรเจนต่อ กับครึ่งเซลล์ที่สนใจ และวัดแรงเคลื่อนไฟฟ้าของเซลล์ แรงเคลื่อนไฟฟ้าที่วัดได้จะเป็นศักยไฟฟ้าของขั้วไฟฟ้าที่ต้องการทราบ ทั้งนี้ เพราะศักยไฟฟ้ามาตรฐานของขั้วไฟฟ้าไฮโดรเจนมีค่าเท่ากับศูนย์ แต่ถ้าขั้วไฟฟ้านั้นอยู่ในภาวะมาตรฐานด้วย แรงเคลื่อนไฟฟ้าของเซลล์จะเป็นแรงเคลื่อนไฟฟ้ามาตรฐาน ค่าศักยไฟฟ้าทำให้เห็นแนวโน้มของขั้วไฟฟ้าที่จะรับอิเล็กตรอนว่ามีความสามารถน้อยเพียงใด หรือใช้เปรียบเทียบความสามารถในการเป็นตัวรีดิวส์ และตัวออกซิไดซ์ โดยสารที่ให้อิเล็กตรอนได้ดีจะมีค่าศักยไฟฟ้าต่ำ ส่วนสารที่รับอิเล็กตรอนได้ดีจะมีค่าศักยไฟฟ้าสูง จากแรงเคลื่อนไฟฟ้าสามารถบอกได้ว่าปฏิกิริยานั้นๆ เกิดขึ้นได้เองหรือไม่ ถ้าแรงเคลื่อนไฟฟ้ามีค่าบวกปฏิกิริยานั้นจะเกิดขึ้นเองได้ แต่ถ้าแรงเคลื่อนไฟฟ้าของปฏิกิริยาไม่เป็นลบ ปฏิกิริยานั้นจะเกิดขึ้นเองไม่ได้ เมื่อปฏิกิริยาดังกล่าวได้รับพลังงานจากแหล่งไฟฟ้าภายนอกจะสามารถเกิดปฏิกิริยาขึ้นได้

## (3) อิเล็กโทรไลซิส (electrolysis)

อิเล็กโทรไลซิส (electrolysis) คือกระบวนการผ่านกระแสไฟฟ้า จากรายนอกเข้าไปในสารละลาย อิเล็กโทรไลต์ แล้วทำให้เกิดปฏิกิริยาเคมี ส่วนประกอบสำคัญของกระบวนการอิเล็กโทรไลซิส คือแหล่งให้พลังงานไฟฟ้า ขั้วไฟฟ้าสองขั้ว และสารละลายอิเล็กโทรไลต์ ในส่วนของขั้วไฟฟ้า และสารละลายอิเล็กโทรไลต์เมื่อประกอบ

เข้าด้วยกันแล้วเรียกว่า เซลล์อิเล็กโทรไลต์ โดยขั้วไฟฟ้าข้างหนึ่งจะเกิดปฏิกิริยาออกซิเดชันเรียกว่าแอดโนด (anode) ส่วนขั้วไฟฟ้าที่เกิดปฏิกิริยารีดักชันเรียกว่าแคโทด (cathode)

#### (4) ขั้วไฟฟ้า (electrode)

ขั้วไฟฟ้าแบ่งออกเป็น 3 ชนิด คือ

- ขั้วที่ว่องไวต่อปฏิกิริยา (active electrodes) หมายถึงขั้วที่มีส่วนในปฏิกิริยา เช่น คริ่ง Zn/Zn<sup>2+</sup> ถ้า Zn เป็นฝ่ายให้อิเล็กตรอนไป Zn ก็จะผูกร่องไป ถ้า Zn<sup>2+</sup> รับอิเล็กตรอนมา ก็จะเปลี่ยนเป็น Zn เกาะบนขั้วไฟฟ้า
- ขั้วที่ไม่ว่องไวในปฏิกิริยา (inert electrodes) เช่น แกรไฟต์หรือคาร์บอน ที่จุ่มลงในสารละลาย หนึ่ง ทำหน้าที่เป็นทางให้อิเล็กตรอนไหลผ่านเข้าหรือออกได้ โดยไม่มีปฏิกิริยากับไออกอนในสารละลายนั้น
- ขั้วแก๊ส (gas electrode) ในคริ่งเซลล์ H<sup>+</sup>/H<sub>2</sub>(g) จะมี pt/H<sub>2</sub>(g) (1บรรยายกาศ) จุ่มในสารละลาย H<sup>+</sup> หรือ H<sub>3</sub>O<sup>+</sup>(1M) เรียกขั้วแก๊สไอโคโรเจน หรือขั้วแก๊สไอโคโรเจนมาตรฐาน (standard hydrogen electrodes; SHE) โดยที่ปลายโลหะ Pt จะมี Pt ที่เป็นผงละเอียดเคลือบอยู่ ทำหน้าที่เป็นตัวเร่งปฏิกิริยา (catalyst)

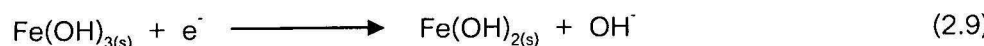
วัสดุที่ใช้ทำขั้วไฟฟ้า

- อะลูมิเนียม (aluminum)

เป็นโลหะหมุนเวียนกับแกลลูเมียม อินเดียม และแทลลีียม อะลูมิเนียมเป็นโลหะที่มีมากที่สุดบนโลก เป็นโลหะที่ว่องไวสามารถทำปฏิกิริยากับโลหะอื่น ได้ มีเลขออกซิเดชันเท่ากับ +3 เมื่อโลหะให้อิเล็กตรอนออกไป 3 อิเล็กตรอน จะได้ Al<sup>3+</sup> มีขนาดเล็ก สารประกอบโลหะที่มีเลขออกซิเดชัน +3 มากเป็นสารประกอบโคเวเลนต์ อย่างไรก็ได้มีอยู่ในน้ำ Al<sup>3+</sup> จะเกิดไฮเดรชัน และไฮドรอยดิสโดยเกลือซัลเฟต ในเกรต และไฮไดร์ของอะลูมิเนียมละลายน้ำได้ดี แต่ไฮดรอกไซด์ของอะลูมิเนียมไม่ละลายน้ำ ออกไซด์ และไฮดรอกไซด์ของอะลูมิเนียม มีสมบัติเป็นแอมไฟเทอริก

- เหล็ก (steels)

เป็นโลหะแข็ง มีจุดหลอมเหลวและจุดเดือดสูง มีความว่องไวปานกลางต่อปฏิกิริยา สารประกอบของธาตุเหล็กมีเลขออกซิเดชัน +2 และ +3 เลขออกซิเดชันสูงๆ มีบ้าง แต่ไม่เสถียร และเป็นตัวออกซิไดส์อย่างแรง ถ้าทิ้งไว้ในอากาศที่มีความชื้น มักกลâyเป็นสีน้ำตาลที่ผิว เรียกว่าสนิมเหล็ก เหล็กมักอยู่ในรูปของ Fe<sup>2+</sup> และ Fe<sup>3+</sup> ปนกัน เนื่องจาก Fe<sup>2+</sup> ถูกออกซิไดซ์ โดยอากาศได้ง่าย โดยเฉพาะในภาวะเป็นกลางหรือเบส



สารประกอบที่ปราศจากน้ำของ  $\text{Fe}^{2+}$  ไม่มีสี แต่ถ้ามีน้ำหรืออยู่ในสารละลายน้ำจะมีสีเขียวอ่อนของไอโอกอน  $[\text{Fe}(\text{H}_2\text{O})_6]^{2+}$  สารประกอบ  $\text{Fe}^{3+}$  มักมีสมบัติเป็นกรรมมากกว่าของ  $\text{Fe}^{2+}$  ทั้งนี้ปรากฏว่า  $\text{Fe}^{3+}$  ในสารละลายน้ำอยู่ในรูปของ  $[\text{Fe}(\text{H}_2\text{O})_6]^{3+}$  ซึ่งมีสีม่วงอาจเมื่อพิเชช์ต่ำมากๆ เท่านั้น มิฉะนั้นจะถูกไฮดรอลิก กลายเป็น  $[\text{Fe}(\text{H}_2\text{O})_5(\text{OH})]^{2+}$  หรือไอโอกอนเชิงช้อน ได้สารละลายน้ำเหลือง

- คาร์บอน มีสมบัติผสมผสานเฉพาะตัวจนเป็นองค์ประกอบสำคัญของแบตเตอรี่ และเซลล์ เชือเพลิง เป็นตัวนำไฟฟ้าที่ดี มีประยุณ์ทำเป็นข้อไฟฟ้า (electrode) หรือเพิ่มความนำไฟฟ้าให้แก้วัสดุชนิดอื่นๆ ในสภาพของแข็งคาร์บอนทำให้อยู่ในรูปแท่งทรงกระบอก หรือเป็นแผ่นก็ได้ ไทดเนียม เป็นธาตุหนู่เดียวกับเซอร์โคเนียม และแยฟเนียม มีเลขออกซิเดชันได้ทั้ง +2, +3 และ +4 ไทดเนียมเป็นโลหะหวานสีชัน มีลักษณะขาวคล้ายเงิน จุดหลอมเหลวและจุดเดือดสูง แข็ง เหนียว ดึงเป็นเส้นได้ เป็นโลหะหวานสีชันที่มีความhardness ต่ำที่สุด ที่สภาวะปกติไทดเนียมค่อนข้างเยื่อย จะสามารถทำปฏิกิริยาในภาวะอุ่นแรงกับอลูมิเนียมได้สารประกอบโคเวเลนต์ เช่น  $\text{TiO}_2$ ,  $\text{TiCl}_4$  เป็นต้น สารประกอบไทดเนียมที่มีเลขออกซิเดชัน +2 และ +3 ถึงแม้ไทดเนียมจะมีข้อดีหลายประการ แต่ไม่นิยมใช้เป็นวัสดุโครงสร้างแทนเหล็ก เนื่องจากว่องไวต่อปฏิกิริยาที่อุณหภูมิสูง
- แพลทินัม มีจุดหลอมเหลว และจุดเดือดสูงมาก คือมีจุดเดือด  $3,827^{\circ}\text{C}$  จุดหลอมเหลว  $1,770^{\circ}\text{C}$  แสดงถึงความแข็งแรงของพันธะโลหะ และเป็นเหตุให้มีร่องไวต่อปฏิกิริยา นอกจากนี้สารประกอบของแพลทินัมมักไม่ค่อยเสถียร เมื่อให้ความร้อนสูงขึ้นจะลายตัวเป็นโลหะแพลทินัมมีราคาแพงมาก มีสีขาว มีเลขออกซิเดชันหลายค่า ตั้งแต่ +2 ถึง +8 แต่ที่สำคัญคือ +2 ถึง +4 เท่านั้น เนื่องจากมีสมบัติในการนำความร้อนและไฟฟ้าดีมาก เนื่องต่อปฏิกิริยา จึงมีประโยชน์ในการทำข้อไฟฟ้า

## 2.4 การประยุกต์ใช้ระบบไฟฟ้าเคมีในการบำบัดน้ำเสีย

กระบวนการไฟฟ้าเคมีได้รับความสนใจมากในการบำบัดน้ำเสีย นี่เป็นกระบวนการที่ไม่จำเป็นต้องเติมสารเคมี และใช้อิเล็กตรอนในการทำปฏิกิริยาออกซิเดชัน-รีดักชันแทนการใช้สารเคมีในการเกิดปฏิกิริยา

### 2.4.1 การแยกสารโดยทำให้ลอยด้วยไฟฟ้า

โดยการผ่านกระแสไฟฟ้าลงไปในเซลล์ไฟฟ้า ข้อไฟฟ้าที่ทำหน้าที่เป็นแอดโนดจะละลายเป็นไอโอกอนลงไปในน้ำเสีย ซึ่งจะเกิดปฏิกิริยาทำให้เกิดตะกอนเบา ขณะที่แคโทดจะเกิดฟองแก๊สที่ช่วยในการลอยด์ตัวของน้ำมัน เป็นการแยกสารโดยทำให้ลอยด้วยไฟฟ้า โดยระบบมีการทำงาน 2 ขั้นตอน คือทำให้เกิดตะกอนเบาด้วยไฟฟ้าเพื่อให้เกิดการรวมตัวของน้ำมัน ขั้นที่สองเป็นการทำให้ลอยด้วยไฟฟ้าเพื่อแยกน้ำมันออกจากน้ำเสีย การลอยด์ตัวของ

ข้าไฟฟ้าไม่เข้มกับปริมาณ และขนาดของข้าไฟฟ้า แต่เข้มกับพลังงานที่ใช้ในการบำบัด ข้อดีของระบบคือควบคุมง่าย ประสิทธิภาพสูงและระบบมีขนาดเล็ก (Ohsasa, Nakakura และ Sambuichi, 1991)

#### 2.4.2 การกำจัดฟีนอลในน้ำเสียโดยวิธีไฟฟ้าเคมี

การเกิดปฏิกิริยาออกซิเดชันของสารอินทรีย์ด้วยกระบวนการไฟฟ้าเคมีจะเกิดขึ้นที่ข้าแอนโอด ประลิทธิภาพของปฏิกิริยาเข้มกับความกว้างป่าของสารอินทรีย์กับตัวทำปฏิกิริยา และความเข้มข้นของสารอินทรีย์ ส่วนกำลังในการเกิดปฏิกิริยาออกซิเดชันที่แอนโอดขึ้นกับชนิดของวัสดุที่ใช้ทำข้าไฟฟ้า เช่น ค่าศักย์ไฟฟ้าเกินตัวของออกซิเจน เป็นต้น ตัวอย่างในการเปรียบเทียบข้าไฟฟ้าที่ใช้ในการเกิดปฏิกิริยาออกซิเดชันของสารอินทรีย์ ได้แก่ ไทเทเนียมเคลือบ  $\text{SnO}_2$  กับแพลทินัม โดยใช้ฟีนอลเป็นสารอินทรีย์ ทดลองที่  $70^{\circ}\text{C}$  ความหนาแน่นของศักย์ไฟฟ้า  $50 \text{ mA/cm}^2$  จากนั้นวิเคราะห์ความเข้มข้นของฟีนอลในแต่ละช่วงเวลาของการขีเล็ก troxidized ด้วยข้าไฟฟ้านั้นๆ พบร่วัตราชารกำจัดฟีนอลได้ทั้งหมดที่  $25 - 30 \text{ A.hr/l}$  แต่ตัวราชารกำจัดที่โซเซ่ ด้วยไทเทเนียมเคลือบ  $\text{SnO}_2$  จะมากกว่าคือร้อยละ 90 ที่  $50 \text{ A.hr/l}$  ขณะที่ตัวราชารกำจัดที่โซเซ่ด้วยแพลทินัมเพียงร้อยละ 38 ทั้งนี้เนื่องจาก  $\text{SnO}_2$  มีค่าศักย์ไฟฟ้าเกินตัวของออกซิเจนสูงมาก และกำลังในการเกิดปฏิกิริยาออกซิเดชันกับสารอินทรีย์ได้ดี (Comninellis, 1991)

#### 2.4.3 การกำจัดไอออนต่างๆ ในน้ำเสียโดยวิธีไฟฟ้าเคมี

การกำจัดไอออนต่างๆ ในน้ำเสียโดยวิธีไฟฟ้าเคมี ใช้เซลล์อิเล็กโทรไลติกที่มีเหล็ก หรืออะลูมิเนียมเป็นอิเล็กโทรด เพื่อทำให้เกิดตะกอนเบ้าของเหล็กหรืออะลูมิเนียมในรูปออกไซด์ หรือไฮดรอกไซด์ หลักการของวิธีไฟฟ้าเคมีในการกำจัดไอออนคือเปลี่ยนเลขออกซิเดชันของไอออนให้อยู่ในรูปที่มีความเป็นพิษน้อยกว่า จากนั้นไอออนที่มีความเป็นพิษน้อยกว่าจะรวมตัวกับตะกอนเบ้าของเหล็กในทางกายภาพหรือทางเคมีเพื่อให้ได้สารประกอบเชิงช้อน และถูกกำจัดออกจากระบบโดยการตกตะกอน (Abdo and Sedahmed, 1991)

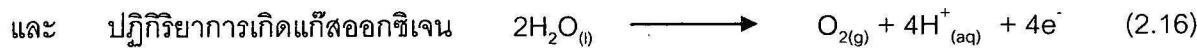
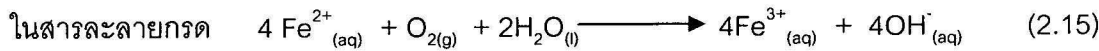
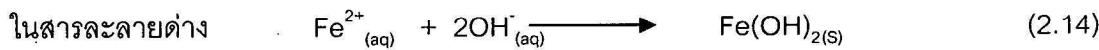
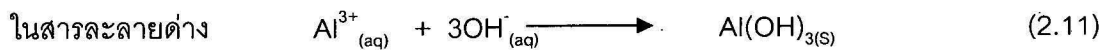
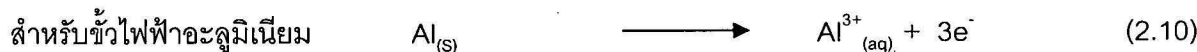
#### 2.4.4 การกำจัดสีของน้ำเสีย

เนื่องจากโรงงานอุตสาหกรรมหลายประเภท เช่น โรงงานผลิตเยื่อกระดาษ โรงงานผลิตสี และโรงงานฟอกย้อม มีปัญหาในการกำจัดสีของน้ำเสียซึ่งยังไม่มีวิธีบำบัดที่แน่นอน ทั้งนี้ขึ้นกับชนิดของสารที่ก่อให้เกิดสี ซึ่งแต่ละวิธีจะใช้วิธีกำจัดสีของน้ำเสียในแต่ละประเภทแตกต่างกันไป ดังนั้นจึงมีความพยายามในการหาวิธีที่สามารถกำจัดสีของน้ำเสียได้หลายประเภทและมีประสิทธิภาพในการบำบัดสูง วิธีไฟฟ้าเคมีซึ่งเปลี่ยนรูปไอออนของโลหะที่ก่อให้เกิดสีโดยอาศัยการถ่ายเทของอิเล็กตรอนในระบบเรียกว่าเกิดปฏิกิริยาเคมีซึ่งทำให้เลขออกซิเดชันของไอออนของโลหะเปลี่ยนไป และสามารถดูดซับสารแขวนลอยต่างๆ ที่ก่อให้เกิดสีด้วยตะกอนเบ้าในรูปของออกไซด์ หรือไฮดรอกไซด์ที่ได้จากการแตกตัวของอิเล็กโทรดทำให้เกิดการตกตะกอนขึ้น (Molina,Rigal, and Lacoste, 1991)

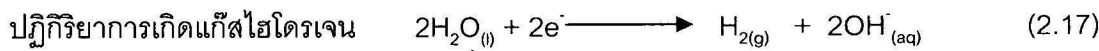
### 2.5 ปฏิกิริยาเคมีที่เกิดขึ้นในการบำบัดน้ำเสียโดยวิธีไฟฟ้าเคมี

ปฏิกิริยาเคมีและกลไกการเกิดโดยแยกเฉือนที่เกิดขึ้น ขึ้นกับลักษณะของน้ำ ได้แก่ การนำไฟฟ้า พื้อเช ขนาดของอนุภาค และองค์ประกอบทางเคมีของน้ำ กลไกการเกิดไอออนขึ้นกับชนิดของข้าไฟฟ้าที่ใช้ดังต่อไปนี้

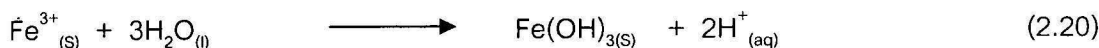
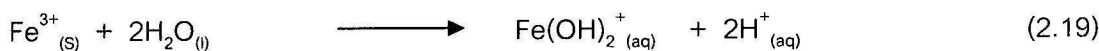
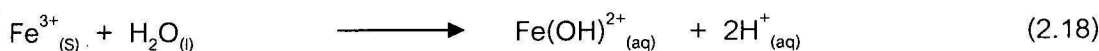
### ปฏิกิริยาเคมีที่เกิดขึ้นที่ขั้วบวก (anode)



### ปฏิกิริยาเคมีที่เกิดขึ้นที่ขั้วลบ (cathode)



แก๊สไฮโดรเจนที่เกิดขึ้นจากปฏิกิริยาเคมีไฟฟ้า จะไปเกิดติดกับของแข็งแขวนลอย และลอยตัวขึ้นผิวน้ำ  $\text{Fe}^{3+}$  ที่เกิดขึ้นจะทำปฏิกิริยาต่อเนื่องกับน้ำโดยขึ้นกับค่าพีเอช ในสภาวะที่เป็นกรดจะได้  $\text{Fe(OH)}^{2+}$   $\text{Fe(OH)}_2^+$  และ  $\text{Fe(OH)}_3$  ดังสมการต่อไปนี้



Can, O.T., Bayramoglu, M. , and Kobya, M. (2003) ใช้ขั้วไฟฟ้าอะลูมิเนียมในการกำจัดสีจากน้ำเสีย สิ่งทอประเภทสีรีแอดคทีพ ด้วยเซลล์ไฟฟ้าเคมี (electrocoagulation) รายงานว่า กลไกของการกำจัดสีเกิดจาก กระแสไฟฟ้าทำให้เกิดอะลูมิเนียมไฮดรอกไซด์ ( $\text{Al(OH)}_3$ ) ซึ่งจะไปจับอนุภาคของสี ทำให้ตกละลาย โดยประสิทธิภาพในการบำบัดขึ้นกับสมบัติของน้ำเสียในด้านของการนำไฟฟ้า, พีเอช, และความเข้มของสี และจากรายงานผลการศึกษาการกำจัดสีย้อมประเภทสีแอสด (acid yellow 36) โดยการสร้างและรวมตะกอน ด้วยเซลล์ไฟฟ้าเคมีโดยใช้ขั้วไฟฟ้าเหล็ก ของ Kashefialasi, M. , Khosravi, M. , Marandi, R. , and Seyyedi, K. (2006) ได้รายงานว่ากลไกของการกำจัดสีเกิดจากกระแสไฟฟ้า ทำให้เกิดเฟอร์ริกไฮดรอกไซด์ ( $\text{Fe(OH)}_3$ ) ซึ่งจะไปจับอนุภาคของสีทำให้ตกละลาย โดยประสิทธิภาพในการบำบัดขึ้นกับสมบัติของน้ำเสีย (การนำไฟฟ้า, พีเอช, และความเข้มของสี), ความหนาแน่นของกระแสไฟฟ้า, ขนาดพื้นที่ของขั้วไฟฟ้า, ระยะห่างระหว่างขั้วไฟฟ้า และระยะเวลาสัมผัส

สรุปได้ว่าเซลล์ไฟฟ้าเคมี ทำให้เกิดปฏิกิริยาหดอย่างดังต่อไปนี้

(1) กระบวนการออกซิเดชัน (oxidation)

เมื่อกระแสไฟฟ้าผ่านน้ำจะเกิดปฏิกิริยาออกไซโลหะ (electrolysis) ได้แก๊สออกซิเจน ซึ่งเป็นตัวออกซิไดส์ ไอออนของโลหะที่ละลายน้ำได้จะตกตะกอนเป็นโลหะไฮดรอกไซด์ เพิ่มขึ้น เป็นการเพิ่มความพร้อมที่จะรวมตัวเป็นสารประกอบเชิงชั้น

(2) กระบวนการลอยตัว (flootation)

แก๊สไฮดรเจนและออกซิเจน ซึ่งเป็นฟองเล็กมาก เกิดขึ้นที่อีกข้างไฟฟ้านึงจะลอยตัวขึ้นสู่ผิว และพยุงอนุภาคเล็กๆ ให้ลอยขึ้นสู่ผิว เกิดการแยกของสารแขวนลอย

(3) กระบวนการรวมตัวเป็นสารเชิงชั้น

ที่ขึ้บวกไอออนของ  $\text{Fe}^{3+}$ ,  $\text{Al}^{3+}$  จะทำปฏิกิริยารวมตัวเป็น organometallic complex กับสารอินทรีย์พอกเอนโรมาติก และ อัลเดน สารเชิงชั้นเหล่านี้ไม่ละลายน้ำ จะลอยสู่ผิวน้ำเสียโดยการลอยตัว (flootation) ซึ่งเกิดจาก การพยุงโดยฟองแก๊ส และบางส่วนจะรวมลง

(4) กระบวนการรวมตัวทางเคมี (chemical coagulation)

ในกรณีที่ใช้โลหะเหล็ก หรืออะลูมิเนียมเป็นข้าวไฟฟ้า จะเกิดการตกตะกอนของโลหะไฮดรอกไซด์ หรือ อะลูมิเนียมไฮดรอกไซด์ ซึ่งทำหน้าที่เป็นสารโคเอกกูแลนต์ และฟลอกกูแลนต์ ช่วยทำให้สารแขวนลอยเล็กๆ รวมตัวกัน สามารถตกตะกอนและแยกตัวออกได้ดีขึ้น

## 2.6 ตัวชี้วัดที่มีผลต่อกระบวนการไฟฟ้าเคมี

ลักษณะสมบัติน้ำเสียมีผลต่อการทำงานของระบบไฟฟ้าเคมี ดังนั้นจึงมีความจำเป็นต้องทำความเข้าใจ ดังนี้ต่างๆ ที่มีผลต่อการทำงานของระบบไฟฟ้าเคมี

(1) ค่าการนำไฟฟ้า

ค่าการนำไฟฟ้า มีผลโดยตรงต่อกระแสไฟฟ้าที่ใช้ในการนำบัดน้ำเสีย ในกระบวนการไฟฟ้าเคมีจะใช้ ไฟฟ้ากระแสตรง นั่นคือไฟฟ้าที่มีทิศทางการเคลื่อนที่ หรือการไหลของอิเล็กตรอนจากแหล่งกำเนิดไปสู่ เครื่องใช้ไฟฟ้าได้เพียงทิศทางเดียวเท่านั้น ส่วนความต่างศักย์ไฟฟ้า ทำให้เกิดกระแสไฟลในวงจรไฟฟ้า โดยจะทำ ให้อิเล็กตรอนเคลื่อนที่จากจุดที่เป็นประจุลบไปสู่จุดที่เป็นประจุบวก ในวงจรไฟฟ้าใดๆ ก็ตาม จะมีสิ่งที่ด้านหน้า ไฟลของอิเล็กตรอนหรือศักย์ไฟฟ้าตลอดเวลาเรียกว่าความต้านทานกระแสไฟฟ้า สิ่งที่บังคับให้กระแสไฟฟ้า หรืออิเล็กตรอนเคลื่อนที่ไปในวงจร เรียกว่าความต้านศักย์ไฟฟ้า ทั้งความต้านศักย์ไฟฟ้า ศักย์ไฟฟ้า และความต้าน ท้านไฟฟ้า มีความสัมพันธ์กันตามกฎของโอล์ม ซึ่งกล่าวว่าความต้านศักย์ไฟฟ้าที่ทำให้ศักย์ไฟฟ้าไฟลไปในวงจรได้ จะมีค่าเท่ากับผลคูณของศักย์ไฟฟ้าและความต้านท้านไฟฟ้า เรียนในรูปสมการได้ดังนี้

$$V = I \times R \quad (2.21)$$

ดังนั้นความด้านทานศักย์ไฟฟ้าในกระบวนการทางไฟฟ้าเคมี คือความด้านทานศักย์ไฟฟ้าในสารละลายอิเล็กโทรไลต์นั้นเอง ซึ่งมีความสัมพันธ์กับค่าการนำไฟฟ้าในสารละลายอิเล็กโทรไลต์ ตามสมการที่ 2.22

$$R = I / (C \times A) \quad (2.22)$$

R = เป็นความด้านทานศักย์ไฟฟ้าในสารละลายอิเล็กโทรไลต์ในหน่วยโอม

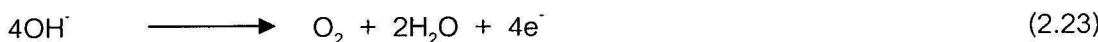
I = เป็นกระแสห่วงขั้วไฟฟ้าในหน่วยเซนติเมตร

C = เป็นค่าการนำไฟฟ้าจำเพาะของสารละลายอิเล็กโทรไลต์ในหน่วยโมล หรือซีเมนส์

A = เป็นพื้นที่หน้าตัดของขั้วไฟฟ้าที่สมผัสกับสารละลายอิเล็กโทรไลต์ในหน่วยตารางเซนติเมตร

### (2) สารอินทรีย์

ปฏิกิริยาการทำจัดสารอินทรีย์จะเกิดที่แอนโอด เช่น ไอออนลบถูกทำให้เป็นกลาง หรืออาจจะให้อิเล็กตรอน ซึ่งในปฏิกิริยาที่มีศักย์ไฟฟ้าของปฏิกิริยาต่ำจะเกิดปฏิกิริยากร่อน เช่น



ในทางทฤษฎีจะแสดงผลศาสตร์ และอุณหพลศาสตร์ แสดงว่าปฏิกิริยาที่เกิดขึ้น ที่ขั้วไฟฟ้าใหอนุพันธ์อิสระ ซึ่งว่องไวต่อการทำปฏิกิริยา เช่น OH ซึ่งจะสูญเสียอิเล็กตรอน แต่ยังไม่ได้ทำปฏิกิริยาใดๆ สามารถทำปฏิกิริยากันเอง หรือกับไอออน หรือสารประกอบ หรืออนุพันธ์อิสระอื่นๆ บริเวณใกล้ขั้วไฟฟ้า รวมทั้งสามารถทำปฏิกิริยากับไมเลกูลของสารอินทรีย์ในน้ำเสียด้วย หรืออาจรวมตัวกับอนุพันธ์อิสระอื่น ได้สารที่มีความกว้างในการทำปฏิกิริยากับสารอินทรีย์ และถ้าในน้ำเสียมีคลอไรด์ไอออน พบร่วมกับไฟฟ้าเคมีจะทำให้เกิดแก๊สคลอรีน และอนุพันธ์ของคลอรีนที่แอนโอด ซึ่งเกิดปฏิกิริยาออกซิเดชันกับสารอินทรีย์ได้ด้วย แต่การทำจัดสารอินทรีย์แบบสมบูรณ์ด้วยวิธีไฟฟ้าเคมีไม่เป็นที่นิยม เพราะการเกิดปฏิกิริยาออกซิเดชันแบบสมบูรณ์ของสารอินทรีย์ เพื่อเปลี่ยนสารอินทรีย์เป็นแก๊สคลอร์บอนไดออกไซด์ ไม่ใช่ปฏิกิริยาที่เกิดขึ้นได้ง่าย จะเกิดขึ้นกับสารอินทรีย์บางตัวในอัตราการกำจัดต่ำ และบางสภาวะเท่านั้น

### (3) ค่าพีเอช

### (4) คอลลอยด์

เป็นสถานะที่สารได้สารหนึ่งอยู่ในรูปของอนุภาคเล็กๆ แขวนลอยอยู่ในตัวกลางหรือตัวทำละลาย สถานะนี้เป็นประเภทเนื้อผสม อนุภาคเหล่านี้อาจละลายในตัวทำละลายได้บ้าง แต่ไม่สามารถละลายได้ทั้งหมด จึงปรากฏอยู่ในรูปสารแขวนลอยซึ่งคงสถานะ และไม่ยอมรวมตัวกันเกิดเป็นอนุภาคขนาดใหญ่ จำแนกเป็น 2 ประเภท

(4.1) คอลลอยด์ที่มีเสถียรภาพในตัวเอง ได้แก่ กาก แบง และสนู'

(4.2) คอลloyด์ที่มีเสถียรภาพเนื่องจากสารอื่น แบ่งเป็น

- คอลลอยด์ที่สารอื่นป้องกัน เช่น หยดน้ำมันไม่อาจเกิดระบบคอลลอยด์ในน้ำได้ แต่ถ้าเติมสนู'ลงไปบ้างแล้วคนให้ทั่ว ส่วนที่ขอบน้ำของสนู'จะละลายหยดน้ำมัน ซึ่งทำให้น้ำมันกระจายไปในน้ำในรูปของอนุภาคคอลลอยด์
- คอลลอยด์ที่ดูดซับไอออน เช่น  $\text{Fe(OH)}_3$  อนุภาคคอลลอยด์ของ  $\text{Fe(OH)}_3$  ดูดซับ  $\text{H}^+$  ไว้ที่ผิวของอนุภาค ทำให้ผิวของอนุภาคคอลลอยด์  $\text{Fe(OH)}_3$  มีประจุบวก การดูดซับ  $\text{H}^+$  ที่ผิวของอนุภาค  $\text{Fe(OH)}_3$  จึงทำหน้าที่ป้องกันไม่ให้อนุภาคต่างๆของ  $\text{Fe(OH)}_3$  มีโอกาสรวมตัวกัน เป็นอนุภาคใหญ่ขึ้น อนุภาคคอลลอยด์ของ  $\text{Fe(OH)}_3$  จึงอยู่ได้อย่างเสถียร

## บทที่ 3

### วิธีดำเนินการวิจัย

#### 3.1 อุปกรณ์และเครื่องมือ

- (1) เครื่อง DC Power Supply Regulator (เครื่องจ่ายไฟฟ้ากระแสตรง) สามารถปรับให้จ่ายไฟสักกิร์ตุรที่มีแรงดัน 0 ถึง 35 โวต์ และจ่ายไฟสูงสุด 6 แอมป์
- (2) เซลล์อิเล็กโทรไลติก มีลักษณะเป็นกล่องสี่เหลี่ยมผืนผ้าทำด้วยพลาสติกอะคริลิก
- (3) ขั้วไฟฟ้า (electrode) ทำด้วยแผ่นเหล็ก, และแผ่นอะลูมิเนียม
- (4) เครื่องวัดค่าพีเอช
- (5) เครื่องวัดค่าความชื้น
- (6) เครื่องวัดค่าการดูดกลืนแสง
- (7) อุปกรณ์วิเคราะห์ซีโอดี

#### 3.2 สารเคมี

##### 3.2.1 สารเคมีวิเคราะห์ซีโอดี

- (1) สารละลายน้ำตราชูานโปಡексเซียมไดโครเมตเข้มข้น 0.1 นอร์มัล ( $0.0617\text{ M}$ )
- (2) กรดซัลฟิวริกและซิลเวอร์ชัลเฟต
- (3) สารละลายน้ำตราชูานเฟร์สแอมโมเนียมชัลเฟต  $0.05\text{ N}$  ออร์มัล
- (4) สารละลายน้ำตราชูานโซเดียมไนเตรต

##### 3.2.2 สารเคมีวิเคราะห์ความกระด้าง

- (1) เกลือไดโซเดียมของอีดีทีเอ
- (2) แมกนีเซียมชัลเฟต ( $\text{MgSO}_4 \cdot 7\text{H}_2\text{O}$ )
- (3) แอมโมเนียมคลอไรด์
- (4) แอมโมเนียมไไฮดรอกไซด์
- (5) สารละลายน้ำตราชูานแคลเซียมคาร์บอเนต
- (6) อิริโโครมแบลคทีอินดิเคเตอร์

### 3.2.3 สารเคมีสำหรับการย้อม

- (1) สีรีแอคทีฟ (Sumifix Supra Navy Blue BF Gran)
- (2) โซเดียมซัลเฟต
- (3) โซเดียมคาร์บอเนต
- (4) สารกำจัดสิ่งสกปรก (Unipal UNS conc.)
- (5) สีเบสิก
- (6) โซเดียมไออกไซด์

**ผู้ให้บริการและเทคโนโลยีสารสนเทศ  
มหาวิทยาลัยเทคโนโลยีราชมงคลกรุงเทพ**

ACM 628.167 ช 153 ค 2551 อ. ๑  
 บมจ. เจริญลักษณ์  
 การนำน้ำซ้อมกลับมาใช้ใหม่โดย  
 การกำจัดสีด้วยกร. บ้านการไฟฟ้า  
 32000000943813 1230

### 3.3 วิธีทดลอง

#### ขั้นตอนที่ 1 จัดเตรียมลังปฏิกรณ์ของระบบบำบัดน้ำเสียด้วยไฟฟ้าเคมี

ระบบบำบัดน้ำเสียด้วยไฟฟ้าเคมี ทำจากเซลล์เคมีไฟฟ้า (electrolysis) ที่มีขั้วบวกและขั้วลบ เมื่อต่อเข้ากับแหล่งพลังงานภายนอก ปฏิกิริยาเคมีไฟฟ้าที่เกิดที่ขั้วบวก (anode) จะทำให้เกิดการสึกกร่อนของข้าวไฟฟ้าจากปฏิกิริยาออกซิเดชัน ขณะที่ข้าวไฟฟ้าที่ขั้влบ (cathode) เกิดปฏิกิริยาเรดักชัน ซึ่งจะไม่เกิดการสึกกร่อน ชุดทดลองประกอบด้วยข้าวไฟฟ้าขั้วบวกและขั้влบ ถังพลาสติกอะคริลิกขนาด กว้าง x ยาว x สูง = 13 x 25 x 16 เซนติเมตร และเครื่องจ่ายไฟฟ้าศักย์ตรง ตั้งแสดงในรูปที่ 3.1



รูปที่ 3.1 ถังปฏิกรณ์ของระบบบำบัดน้ำเสียด้วยไฟฟ้าเคมี

**ขั้นตอนที่ 2 ศึกษาปัจจัยที่มีผลต่อประสิทธิภาพการนำบดน้ำเสียจากการย้อมผ้าฝ้ายทอ ด้วยวิธีไฟฟ้า เคเม**

(1) ศึกษาค่าศักย์ไฟฟ้าที่เหมาะสมโดยใช้ข้าไฟฟ้าอะลูมิเนียม

ตัวแปรควบคุม ชนิดของน้ำเสีย ระยะเวลาสัมผัส

ตัวแปรต้น ค่าศักย์ไฟฟ้าที่ให้กับน้ำเสีย 5, 10, 15, 20, 25, 30 โวลต์

ตัวแปรตาม ค่าการดูดกลืนแสง ค่าพีเอช ค่าความชุ่น ค่าความนำไฟฟ้า

วิธีทดลอง :

(1.1) วัดค่าการดูดกลืนแสง ค่าพีเอช ค่าความชุ่น ค่าความนำไฟฟ้า ของน้ำทึบ

(1.2) นำน้ำทึบมาผ่านศักย์ไฟฟ้า โดยใช้ข้าไฟฟ้าอะลูมิเนียม ที่ค่าศักย์ไฟฟ้าต่างๆ ดังนี้ 5, 10, 15, 20, 25, 30 โวลต์

(1.3) วัดค่าการดูดกลืนแสงค่าพีเอช ค่าความชุ่น ค่าความนำไฟฟ้า ของน้ำทึบ เลือกค่าศักย์ไฟฟ้าที่ให้กับน้ำเสียแล้วทำให้ได้ค่าการดูดกลืนแสง และค่าความชุ่นน้อยที่สุด เพื่อศึกษาในขั้นต่อไป

(2) ศึกษาระยะเวลาสัมผัสที่เหมาะสมในการให้ศักย์ไฟฟ้าโดยใช้ข้าไฟฟ้าอะลูมิเนียม

ตัวแปรควบคุม ชนิดของน้ำเสีย ค่าศักย์ไฟฟ้า

ตัวแปรต้น เวลาที่ให้ศักย์ไฟฟ้าที่ให้กับน้ำเสีย 30, 60, 90, 120, 150, 180 นาที

ตัวแปรตาม ค่าการดูดกลืนแสง ค่าพีเอช ค่าความชุ่น ค่าความนำไฟฟ้า

วิธีทดลอง :

(2.1) วัดค่าการดูดกลืนแสง ค่าพีเอช ค่าความชุ่น ค่าความนำไฟฟ้า ของน้ำทึบ

(2.2) นำน้ำทึบมาผ่านศักย์ไฟฟ้า ใช้ข้าไฟฟ้าอะลูมิเนียม ค่าศักย์ไฟฟ้าที่ได้จากข้อ 1

(2.3) วัดค่าการดูดกลืนแสงค่าพีเอช ค่าความชุ่น ค่าความนำไฟฟ้า ของน้ำทึบ เลือกเวลาสัมผัสที่ได้จากการดูดกลืนแสง และค่าความชุ่นน้อยที่สุด เพื่อศึกษาในขั้นต่อไป

(3) ศึกษาขนาดของอิเล็กโทรด

ตัวแปรควบคุม ชนิดของน้ำเสีย ค่าศักย์ไฟฟ้า ระยะเวลาสัมผัส

ตัวแปรต้น ขนาดของข้าไฟฟ้า

ตัวแปรตาม ค่าการดูดกลืนแสง ค่าพีเอช ค่าความชุ่น ค่าความนำไฟฟ้า

### วิธีทดลอง :

(3.1) วัดค่าการดูดกลืนแสง ค่าพีเอช ค่าความชุ่น ค่าความนำไฟฟ้า ของน้ำทิ้ง

(3.2) นำน้ำทิ้งมาผ่านศักย์ไฟฟ้า ใช้เหล็กเป็นอิเล็กโทรด โดยมีขนาดต่างๆกัน ดังนี้

$$\text{กว้าง} \times \text{ยาว} \times \text{หนา} = 3 \times 12.5 \times 0.6 \text{ เซนติเมตร และ } 6.5 \times 12.5 \times 0.6 \text{ เซนติเมตร}$$

(3.4) วัดค่าการดูดกลืนแสงค่าพีเอช ค่าความชุ่น ค่าความนำไฟฟ้า ของน้ำทิ้ง

(4) เปลี่ยนชนิดของข้าวไฟฟ้าเป็นเหล็ก ทดลองเหมือนกับการใช้ข้าวไฟฟ้าอะลูมิเนียม โดยแบร์บัน ศักย์ไฟฟ้าที่ให้กับน้ำเสียดังนี้ 20, 25, 30, 35 โวลต์

**ขั้นตอนที่ 3** ศึกษาปัจจัยที่มีผลต่อประสิทธิภาพการบำบัดน้ำเสียจากการย้อมเส้นด้ายอะคริลิกด้วยสีเบสิก ด้วยวิธีไฟฟ้าเคมี โดยทดลองเหมือนกับขั้นตอนที่ 2 เปลี่ยนเฉพาะชนิดของน้ำเสีย

### ขั้นตอนที่ 4 วิเคราะห์ดัชนีคุณภาพของน้ำ

(1) วิเคราะห์ค่าการดูดกลืนแสงด้วยเครื่อง UV-VIS spectrophotometer รุ่น Spectronic 20 genesis

(1.1) หาค่าความยาวคลื่นที่เหมาะสมของตัวอย่างน้ำ โดยแบร์บันค่าความยาวคลื่น วัดค่าการดูดกลืนแสง (absorbance) ของตัวอย่าง ที่แต่ละค่าความยาวคลื่น เลือกค่าความยาวคลื่น ที่ให้ค่าการดูดกลืนแสงสูงที่สุดสำหรับแต่ละตัวอย่าง

(1.2) วัดค่าการดูดกลืนแสงของตัวอย่างโดยใช้ค่าความยาวคลื่นที่ได้เลือกไว้

(2) วิเคราะห์ค่าพีเอช ค่าความนำไฟฟ้า ความชุ่น ซีโอดี ของแข็งแขวนลอย ความกระด้าง

ใช้วิธีตาม American Standard Method for the Examination of Water and Wastewater, 17<sup>th</sup> ed.

1987.

**ขั้นตอนที่ 5** ศึกษาความเป็นไปได้ในการนำน้ำจากการย้อมเส้นด้ายอะคริลิกที่ผ่านการบำบัดกลับมาใช้ซ้ำ โดยเปรียบเทียบสมบัติของน้ำหลังการบำบัด กับสมบัติน้ำใช้ของโรงงาน

### 3.4 การวิเคราะห์ข้อมูลทางสถิติ

วิเคราะห์ข้อมูลตามวัตถุประสงค์ และสมมติฐานดังนี้

- (1) วิเคราะห์ค่าดัชนีคุณภาพน้ำจากค่าเฉลี่ย และค่าเบี่ยงเบนมาตรฐาน
- (2) ทดสอบค่าเฉลี่ยดัชนีคุณภาพน้ำด้วยการวิเคราะห์ความแปรปรวนแบบทางเดียว (one - way analysis of variance) โดยการทดสอบนัยสำคัญทางสถิติ ณ ระดับ 0.05 เมื่อพบว่าค่าเฉลี่ยมีความแตกต่างอย่างมีนัยสำคัญเปรียบเทียบความแตกต่างระหว่างค่ากลางด้วยการจับคู่พหุคูณด้วยวิธีของเชฟเฟ่ (Sheffe) ในกรณีที่ข้อมูลมีความแปรปรวนไม่แตกต่างกัน 사용กรณีที่ข้อมูลมีความแปรปรวนแตกต่างกันจะทดสอบความแตกต่างระหว่างค่ากลางด้วยการจับคู่พหุคูณด้วยวิธีของทามาน (Tamhane)

### 3.5 สถานที่ทดลอง

สาขาวิชาชีวกรรมเคมีสิงห์ คณะอุตสาหกรรมสิ่งทอ มหาวิทยาลัยเทคโนโลยีราชมงคลกรุงเทพ

## บทที่ 4

### ผลการทดลอง

#### 4.1 ผลการศึกษาปัจจัยที่มีผลต่อประสิทธิภาพการบำบัดน้ำเสียด้วยวิธีไฟฟ้าเคมี

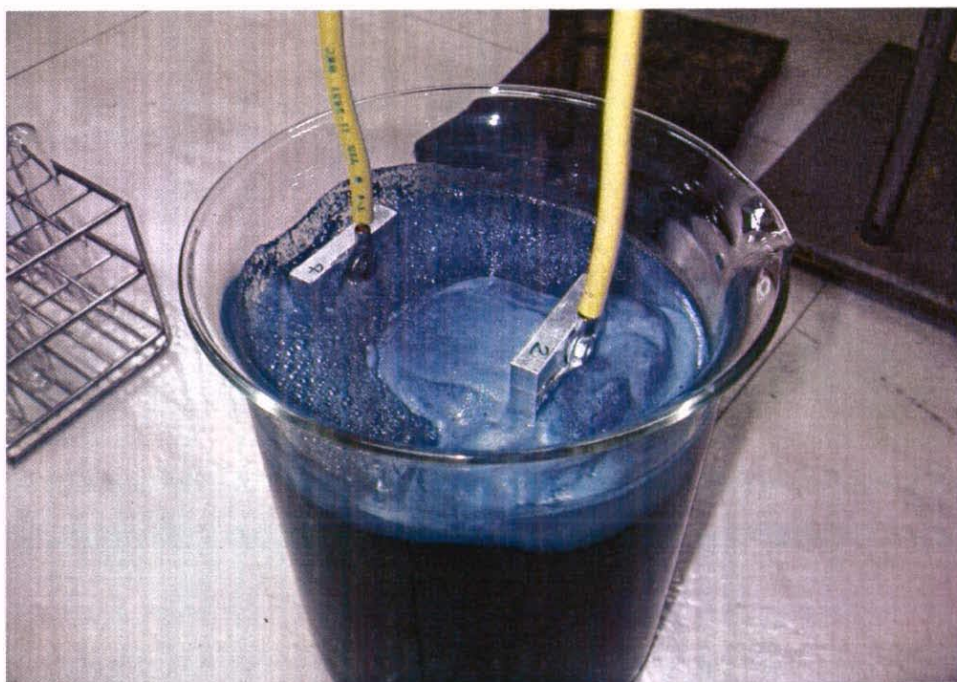
##### 4.1.1 การบำบัดน้ำเสียจากการย้อมผ้าฝ้ายหอด้วยสีรีแอคทีฟ

การบำบัดน้ำเสียจากการย้อมผ้าฝ้ายหอ โดยเตรียมน้ำเสียจากการย้อมผ้าฝ้ายหอในห้องปฏิบัติการ ด้วย สีรีแอคทีฟ (Sumifix Supra Navy Blue BF Gran)

###### 4.1.1.1 การบำบัดน้ำเสียจากการย้อมผ้าฝ้ายหอด้วยสีรีแอคทีฟโดยใช้ข้าวไฟฟ้าอะลูมิเนียม

###### (1) ผลของค่าศักย์ไฟฟ้า

นำน้ำเสียสีรีแอคทีฟ ปริมาณ 1 ลิตร บำบัดด้วยวิธีไฟฟ้าเคมี โดยใช้อะลูมิเนียมเป็นข้าวไฟฟ้า ดังแสดงใน รูปที่ 4.1.1 แปรผันศักย์ไฟฟ้าที่ให้กับน้ำเสีย 5, 10, 15, 20, 25, และ 30 โวลต์ ตามลำดับ เก็บตัวอย่างมาวัดค่า การดูดกลืนแสง ค่าพีเอช และค่าความนำไฟฟ้า เป็นระยะเวลา 30, 60, 90, 120, 150, 180 นาที ทดลองซ้ำ 3 ครั้ง ได้ผลแสดงในตารางผนวกที่ 1ก - 6ก



รูปที่ 4.1.1 การบำบัดน้ำเสียจากการย้อมผ้าฝ้ายหอด้วยสีรีแอคทีฟ

จากข้อมูลค่าการดูดกลืนแสงของน้ำ พบว่าน้ำเสียจากการย้อมผ้าทอด้วยสีรีโอดีที่ความยาวคลื่น 580 นาโนเมตร เนื่องจากปริมาณความเข้มของสีในน้ำเสียแปรผันโดยตรงกับค่าการดูดกลืนแสง ดังนั้นจึงนำค่าการดูดกลืนแสงของน้ำ วิเคราะห์ประสิทธิภาพการกำจัดสี โดยคำนวณจากค่าการดูดกลืนแสง ก่อน และหลังการทำถลอกเมื่อให้ศักย์ไฟฟ้านาน 180 นาที ดังแสดงในสมการที่ 4.1 ได้ผลแสดงในตารางที่ 4.1.1

$$\% \text{color removal} = \frac{(A_0 - A_1)}{A_0} \times 100 \quad (4.1)$$

$A_0$  = ค่าการดูดกลืนแสงของน้ำเสียก่อนการทำบด

$A_1$  = ค่าการดูดกลืนแสงของน้ำเสียหลังทำบดด้วยไฟฟ้า

จากข้อมูลค่าพีเอชของน้ำ เนื่องจากลักษณะน้ำเสียก่อนการทำถลอกมีลักษณะแปรปรวน จึงนำค่าพีเอชของน้ำ มาวิเคราะห์ร้อยละของการเปลี่ยนแปลงพีเอชโดยคำนวณจากค่าพีเอชก่อนและหลังการทำถลอก เมื่อให้กระแสไฟฟ้านาน 180 นาที ดังแสดงในสมการที่ 4.2 ได้ผลแสดงในตารางที่ 4.1.1

$$\% \text{pH change} = \frac{(pH_0 - pH_1)}{pH_0} \times 100 \quad (4.2)$$

$pH_0$  = ค่าพีเอชของน้ำเสียก่อนการทำบด

$pH_1$  = ค่าพีเอชของน้ำเสียหลังทำบดด้วยไฟฟ้า

จากข้อมูลค่าความนำไฟฟ้าของน้ำ ซึ่งขึ้นกับความเข้มข้นและชนิดของไอออนที่มีอยู่ในน้ำ เนื่องจากค่าความนำไฟฟ้าแปรผันโดยตรงกับปริมาณของแข็งละลายน้ำ ดังนั้นจึงนำค่าความนำไฟฟ้าวิเคราะห์การเปลี่ยนแปลงปริมาณของแข็งละลายน้ำ โดยคำนวณจากค่าความนำไฟฟ้าก่อนและหลังการทำถลอก เมื่อให้ศักย์ไฟฟ้านาน 180 นาที ดังแสดงในสมการที่ 4.3 ได้ผลดังแสดงในตารางที่ 4.1.1

$$\% \text{dissolved solid removal} = \frac{(C_0 - C_1)}{C_0} \times 100 \quad (4.3)$$

$C_0$  = ค่าความนำไฟฟ้าของน้ำเสียก่อนการทำบด

$C_1$  = ค่าความนำไฟฟ้าของน้ำเสียหลังทำบดด้วยไฟฟ้า

**ตารางที่ 4.1.1 ประสิทธิภาพการนำบัดน้ำเสียจากการย้อมผ้าฝ้ายทดสอบด้วยสีรีวีแอคทีฟ ด้วยข้าไฟฟ้าอะลูมิเนียม ที่ค่าศักย์ไฟฟ้าต่างกัน**

ครั้งที่ทดลอง	ศักย์ไฟฟ้า (volt)	การกำจัดสี (%)	การเปลี่ยนแปลง พีเอช (%)	การกำจัด
				ของแข็งละลายน้ำ (%)
1	5	50.43	-5.79	9.86
2	5	44.74	-4.74	5.01
3	5	36.34	-5.13	4.55
1	10	94.18	-18.53	9.16
2	10	94.34	-17.91	3.35
3	10	91.63	-18.42	9.75
1	15	88.07	-17.34	44.59
2	15	88.66	-17.77	39.75
3	15	88.54	-16.91	21.01
1	20	96.31	-23.48	37.02
2	20	95.78	-22.64	34.66
3	20	96.06	-24.36	33.85
1	25	98.20	-26.10	22.62
2	25	98.10	-25.67	42.25
3	25	98.16	-25.83	32.76
1	30	98.32	-27.93	24.81
2	30	98.43	-28.13	25.81
3	30	98.39	-28.71	32.98

ข้อมูลจากตารางที่ 4.1.1 นำมาวิเคราะห์ความแปรปรวนแบบทางเดียว เพื่อทดสอบว่าการใช้ข้าไฟฟ้าอะลูมิเนียม นำบัดน้ำเสียสีรีวีแอคทีฟ ด้วยค่าศักย์ไฟฟ้าที่ให้กับน้ำเสียต่างกัน ทำให้ค่าเฉลี่ยร้อยละของการกำจัดสีของน้ำ ค่าเฉลี่ยร้อยละการเปลี่ยนแปลงพีเอชของน้ำ และค่าเฉลี่ยร้อยละของการกำจัดของแข็งละลายน้ำต่างกัน หรือไม่ ได้ผลทดสอบแสดงในตารางที่ 4.1.2

**ตารางที่ 4.1.2 การทดสอบค่าเฉลี่ยร้อยละการกำจัดสี การเปลี่ยนแปลงพีเอช และการกำจัดของแข็งละลายน้ำ ของน้ำเสียย้อมสีรีแอคทีฟที่บำบัดด้วยข้าวไฟฟ้าอะลูมิเนียม ที่ค่าศักย์ไฟฟ้าต่างกัน**

ศักย์ไฟฟ้า (volt)	N	ร้อยละ การกำจัดสี			ร้อยละ การเปลี่ยนแปลงพีเอช			ร้อยละการกำจัด ของแข็งละลายน้ำ		
		Mean	SD.	F	Mean	SD.	F	Mean	SD.	F
5	3	43.837	7.088		-5.22	0.53		6.47	2.94	
10	3	93.383	1.521		-18.29	0.33		7.42	3.54	
15	3	88.423	0.312	152.883*	-17.34	0.43	808.260*	35.12	12.45	11.200*
20	3	96.050	0.265		-23.49	0.86		35.18	1.65	
25	3	98.153	0.050		-25.87	0.22		32.54	9.82	
30	3	98.380	0.056		-28.25	0.40		27.87	4.46	

\*มีนัยสำคัญทางสถิติที่ระดับ 0.05 ( $P<0.05$ )

**(1.1) ผลของค่าศักย์ไฟฟ้าต่อประสิทธิภาพการกำจัดสีรีแอคทีฟ**

ผลการทดสอบด้วยค่าสถิติ F-test โดยวิธีวิเคราะห์ความแปรปรวน ที่ระดับนัยสำคัญ 0.05 พบว่า มีค่าศักย์ไฟฟ้าอย่างน้อย 2 ค่า ที่ค่าเฉลี่ยร้อยละการกำจัดสีในน้ำต่างกัน และทดสอบต่อเนื่องด้วยการจับคู่พนูน (multiple comparison test) แบบ tamhane ได้ผลแสดงในตารางผนวกที่ 1 ค พบว่า

- ศักย์ไฟฟ้า 5 โวลต์ มีค่าเฉลี่ยร้อยละการกำจัดสีแตกต่างจากการให้ศักย์ไฟฟ้า 15, 20, 25, และ 30 โวลต์
- ศักย์ไฟฟ้า 15 โวลต์ มีค่าเฉลี่ยร้อยละการกำจัดสีแตกต่างจากการให้ศักย์ไฟฟ้า 20, 25, และ 30 โวลต์
- ค่าศักย์ไฟฟ้าเพิ่มขึ้นเป็น 20, 25, และ 30 โวลต์ ค่าเฉลี่ยร้อยละการกำจัดสีในน้ำไม่แตกต่างกัน

ผลการทดลองสูปได้ว่า การบำบัดน้ำเสียรีแอคทีฟ โดยใช้อะลูมิเนียมเป็นข้าวไฟฟ้า สามารถกำจัดสีรีแอคทีฟในน้ำเสียได้ ค่าศักย์ไฟฟ้ามีผลต่อประสิทธิภาพการกำจัดสีอย่างมีนัยสำคัญ ( $P<0.05$ ) โดยประสิทธิภาพในการกำจัดสีเพิ่มขึ้นเมื่อเพิ่มค่าศักย์ไฟฟ้า โดยค่าศักย์ไฟฟ้า 30 โวลต์จะมีประสิทธิภาพการกำจัดสีสูงที่สุด คือร้อยละ 98.38 อย่างไรก็ตามสามารถสูปได้ว่า ค่าศักย์ไฟฟ้าเมื่อเพิ่มขึ้นจนถึงระดับหนึ่ง ประสิทธิภาพในการกำจัดสีจะเริ่มคงที่ เนื่องจากผลการทดสอบด้วยค่าสถิติ F-test พบว่า ที่ค่าศักย์ไฟฟ้าเพิ่มขึ้นเป็น 20, 25, และ 30 โวลต์ ค่าเฉลี่ยร้อยละการกำจัดสีในน้ำไม่แตกต่างกันทางสถิติ

### (1.2) ผลของค่าศักย์ไฟฟ้าต่อค่าพีอีอช

ผลการทดสอบด้วยค่าสถิติ F-test โดยวิธีวิเคราะห์ความแปรปรวน ที่ระดับนัยสำคัญ 0.05 พบว่า มีค่าศักย์ไฟฟ้าอย่างน้อย 2 ค่า ที่ทำให้ค่าเฉลี่ยร้อยละการเปลี่ยนแปลงพีอีอชในน้ำต่างกัน และทดสอบต่อเนื่องด้วยการจับคู่พหุคูณ แบบเชฟเฟ่ (Sheffe) ได้ผลแสดงในตารางผนวกที่ 2ค ผลการทดสอบส่วนใหญ่ พบว่าทุกค่าศักย์ไฟฟ้าที่ให้กับน้ำเสียต่างกัน ทำให้น้ำเสียมีค่าเฉลี่ยร้อยละของการเปลี่ยนแปลงพีอีอชต่างกัน ยกเว้นที่ค่าศักย์ไฟฟ้า 10 โวลต์ ให้ค่าเฉลี่ยร้อยละการเปลี่ยนแปลงพีอีอชของน้ำเสียไม่แตกต่างจากการให้ศักย์ไฟฟ้า 15 โวลต์

ผลการทดลองสูปได้ว่า การบำบัดน้ำเสียสีรีแอคทีฟ โดยใช้อัลูมิเนียมเป็นข้าวไฟฟ้า ค่าศักย์ไฟฟ้ามีผลต่อพีอีอชของน้ำเสียอย่างมีนัยสำคัญ( $P<0.05$ ) ค่าศักย์ไฟฟ้าที่ให้กับน้ำเสียมากขึ้น มีผลทำให้ค่าพีอีอชของน้ำเสียเพิ่มขึ้น โดยศักย์ไฟฟ้าที่ 30 โวลต์มีผลให้น้ำเสียมีค่าร้อยละของการเปลี่ยนแปลงพีอีอชสูงที่สุด คือร้อยละ 28.25

### (1.3) ผลของค่าศักย์ไฟฟ้าต่อประสิทธิภาพการกำจัดของแข็งละลายน้ำ

ผลการทดสอบด้วยค่าสถิติ F-test โดยวิธีวิเคราะห์ความแปรปรวน ที่ระดับนัยสำคัญ 0.05 พบว่า มีค่าศักย์ไฟฟ้าอย่างน้อย 2 ค่า ที่ทำให้ค่าเฉลี่ยร้อยละการกำจัดของแข็งละลายน้ำต่างกัน และเมื่อทดสอบต่อเนื่องด้วยการจับคู่พหุคูณแบบเชฟเฟ่ ได้ผลแสดงในตารางผนวกที่ 3ค พบร่วม

- ศักย์ไฟฟ้า 5, 10 และ 30 โวลต์ น้ำเสียมีค่าเฉลี่ยร้อยละการกำจัดของแข็งละลายน้ำไม่แตกต่างกัน
- ศักย์ไฟฟ้า 5 และ 10 โวลต์ น้ำเสียมีค่าเฉลี่ยร้อยละการกำจัดของแข็งละลายน้ำต่างจากการให้ศักย์ไฟฟ้า 15, 20 และ 25 โวลต์
- ศักย์ไฟฟ้า 15, 20, 25 และ 30 โวลต์ น้ำเสียมีค่าเฉลี่ยร้อยละการกำจัดของแข็งละลายน้ำไม่แตกต่างกัน

ผลการทดลองสูปได้ว่า การบำบัดน้ำเสียสีรีแอคทีฟ โดยใช้อัลูมิเนียมเป็นข้าวไฟฟ้า สามารถกำจัดของแข็งที่ละลายในน้ำเสียได้ ค่าศักย์ไฟฟ้ามีผลต่อประสิทธิภาพการกำจัดของแข็งละลายน้ำอย่างมีนัยสำคัญ ( $P<0.05$ ) โดยประสิทธิภาพในการกำจัดของแข็งละลายน้ำมากขึ้น เมื่อเพิ่มค่าศักย์ไฟฟ้า โดยที่ค่าศักย์ไฟฟ้า 20 โวลต์ จะมีประสิทธิภาพในการกำจัดของแข็งละลายน้ำสูงที่สุด คือร้อยละ 35.18 แต่ค่าศักย์ไฟฟ้าเมื่อเพิ่มขึ้นถึงระดับหนึ่ง ประสิทธิภาพในการกำจัดของแข็งละลายน้ำจะเริ่มลดลง เนื่องจากผลการทดสอบด้วยค่าสถิติ F-test พบว่าที่ศักย์ไฟฟ้า 5, 10 และ 30 โวลต์ น้ำเสียมีค่าเฉลี่ยร้อยละการกำจัดของแข็งละลายน้ำไม่แตกต่างกัน

### (2) ผลของระยะเวลาสัมผัส

นำน้ำเสียสีรีแอคทีฟ ปริมาตร 1 ลิตร บำบัดด้วยวิธีไฟฟ้าเคมี โดยใช้อัลูมิเนียมเป็นข้าวไฟฟ้า ให้ศักย์ไฟฟ้า 20 โวลต์ เนื่องจากมีประสิทธิภาพในการกำจัดของแข็งละลายน้ำสูงที่สุด และเมื่อความต่างศักย์มากกว่า 20 โวลต์ ประสิทธิภาพในการกำจัดสีจะคงที่ แบร์ผันระยะเวลาสัมผัส 30, 60, 90, 120, 150, และ 180 นาที ตามลำดับ เก็บตัวอย่างมาวัดค่าการดูดกลืนแสง ค่าพีอีอช และค่าความนำไฟฟ้า ทดลองซ้ำ 3 ครั้ง ได้ผลแสดงในตารางผนวกที่ 1ก - 6ก

นำค่าการดูดกลืนแสงของน้ำ ค่าพีเอช และค่าความนำไฟฟ้า วิเคราะห์ประสิทธิภาพการกำจัดสี การเปลี่ยนแปลงพีเอช การกำจัดของแข็งละลายน้ำ โดยคำนวณจากค่าการดูดกลืนแสง ค่าพีเอช และค่าความนำไฟฟ้า ก่อนและหลังการทดลอง เมื่อให้ศักย์ไฟฟ้า 20 โวลต์ ได้ผลแสดงในตารางที่ 4.1.3

ตารางที่ 4.1.3 ประสิทธิภาพการนำบัดน้ำเสียสีรีแอกทีฟ ด้วยข้าวไฟฟ้าอะลูมิเนียม ค่าศักย์ไฟฟ้า 20 โวลต์ ที่ระยะเวลาสามผัสด่างกัน

ครั้งที่ทดลอง	ศักย์ไฟฟ้า (volt)	การกำจัดสี (%)	การเปลี่ยนแปลง		การกำจัด ของแข็งละลายน้ำ (%)
			พีเอช (%)	(%)	
1	5	15.46	-9.31	10.03	
2	5	19.16	-8.59	9.79	
3	5	11.65	-8.93	5.94	
1	10	48.70	-13/36	12.08	
2	10	49.58	-12.67	12.43	
3	10	46.96	-12.59	11.63	
1	15	71.88	-16.46	24.42	
2	15	70.13	-15.90	19.84	
3	15	70.15	-16.24	17.57	
1	20	87.03	-19.84	1.80	
2	20	84.54	-19.95	2.38	
3	20	88.75	-19.35	36.69	
1	25	72.25	-20.92	33.42	
2	25	70.87	-20.49	24.60	
3	25	90.23	-21.79	33.07	
1	30	96.31	-23.48	37.02	
2	30	95.78	-22.64	34.66	
3	30	96.06	-24.36	33.85	

ข้อมูลจากตารางที่ 4.1.3 นำมาวิเคราะห์ความแปรปรวนแบบทางเดียว เพื่อทดสอบว่าการใช้ข้าวไฟฟ้า อะลูมิเนียม นำบัดน้ำเสียสีรีแอกทีฟ ด้วยระยะเวลาให้ศักย์ไฟฟ้ากับน้ำเสียต่างกัน ทำให้ค่าเฉลี่ยร้อยละของการกำจัดสีของน้ำ ค่าเฉลี่ยร้อยละการเปลี่ยนแปลงพีเอชของน้ำ และค่าเฉลี่ยร้อยละการกำจัดของแข็งละลายน้ำ ต่างกันหรือไม่ ได้ผลแสดงในตารางที่ 4.1.4

ตารางที่ 4.1.4 การทดสอบค่าเฉลี่ยร้อยละของการกำจัดสีของน้ำ การเปลี่ยนแปลงพีเอช และการกำจัดของแข็ง ละลายน้ำ ของน้ำเสียสีรีแอคทีฟที่บำบัดโดยใช้ข้าวไฟฟ้าอะลูมิเนียม ค่าศักย์ไฟฟ้า 20 โวลต์ ที่ระยะเวลาต่างกัน

ระยะเวลา (นาที)	N	ร้อยละ การกำจัดสี			ร้อยละ การเปลี่ยนแปลงพีเอช			ร้อยละของการกำจัด ของแข็งละลายน้ำ		
		Mean	SD.	F	Mean	SD.	F	Mean	SD.	F
30	3	15.42	3.76		-9.05			8.59	2.30	
60	3	48.41	1.33		-12.87			12.05	0.40	
90	3	70.72	1.00	113.73*	-16.20		332.71*	20.61	3.49	4.64*
120	3	86.77	2.12		-19.71			13.62	1.98	
150	3	77.78	10.80		-21.06			30.36	4.99	
180	3	96.05	0.27		-23.49			35.18	1.65	

\*มีนัยสำคัญทางสถิติที่ระดับ 0.05 ( $P<0.05$ )

#### (2.1) ผลของระยะเวลาสัมผัสต่อประสิทธิภาพการกำจัดสีรีแอคทีฟ

ผลการทดสอบด้วยค่าสถิติ F-test โดยวิธีวิเคราะห์ความแปรปรวน ที่ระดับนัยสำคัญ 0.05 พบว่า มีช่วงระยะเวลาสัมผ่าย่างน้อย 2 ช่วงเวลา ที่ค่าเฉลี่ยร้อยละของการกำจัดสีในน้ำต่างกัน และเมื่อทดสอบต่อเนื่องด้วย การจับคู่พหุคุณ แบบเชฟเฟ่ ได้ผลแสดงในตารางผนวกที่ 4 ค ผลการทดสอบส่วนใหญ่พบว่า ระยะเวลาสัมผัส ต่างกัน ทำให้ค่าเฉลี่ยร้อยละการกำจัดสีแตกต่างกัน ยกเว้นที่ระยะเวลาสัมผัส 120 นาที ให้ค่าเฉลี่ยร้อยละการกำจัดสีไม่แตกต่างจาก 150 และ 180 นาที และที่ระยะเวลาสัมผัส 150 นาที ให้ค่าเฉลี่ยร้อยละการกำจัดสีไม่แตกต่างจาก 180 นาที

ผลการทดลองสรุปได้ว่า การบำบัดน้ำเสียสีรีแอคทีฟ โดยใช้ข้าวไฟฟ้าอะลูมิเนียม ระยะเวลาสัมผัสมีผลต่อ การกำจัดสีรีแอคทีฟอย่างมีนัยสำคัญ ( $P<0.05$ ) โดยระยะเวลาสัมผัสมากขึ้น ประสิทธิภาพการกำจัดสีเพิ่มขึ้น ที่ระยะเวลาสัมผัส 180 นาที มีประสิทธิภาพในการกำจัดสีสูงที่สุด คือร้อยละ 96.05 อย่างไรก็ตามสามารถสรุปได้ว่า ระยะเวลาสัมผัสเมื่อเพิ่มขึ้นถึงระดับหนึ่ง ประสิทธิภาพในการกำจัดสีจะเริ่มคงที่ เนื่องจากผลการทดสอบด้วย ค่าสถิติ F-test พบว่า ที่ระยะเวลาสัมผัส 120, 150, และ 180 นาที ค่าเฉลี่ยร้อยละการกำจัดสีในน้ำไม่แตกต่างกัน

#### (2.2) ผลของระยะเวลาสัมผัสต่อค่าพีเอช

ผลการทดสอบด้วยค่าสถิติ F-test โดยวิธีวิเคราะห์ความแปรปรวน ที่ระดับนัยสำคัญ 0.05 พบว่า มีช่วงระยะเวลาสัมผัสมีน้อย 2 ค่าที่ทำให้ค่าเฉลี่ยการเปลี่ยนแปลงพีเอชในน้ำต่างกัน และเมื่อทดสอบต่อเนื่องด้วย การจับคู่พหุคุณ แบบเชฟเฟ่ ได้ผลดังแสดงในตารางผนวกที่ 5 ค ส่วนใหญ่พบว่า ระยะเวลาสัมผัสต่างกัน ทำให้น้ำเสียมีค่าเฉลี่ยร้อยละการเปลี่ยนแปลงพีเอชต่างกัน ยกเว้นที่ระยะเวลาสัมผัส 120 นาที ให้ค่าเฉลี่ยไม่แตกต่างจาก 150 นาที

ผลทดลองสรุปได้ว่าการบำบัดน้ำ้เสียสีรีแอคทิฟ โดยใช้ข้าวไฟฟ้าอะลูมิเนียม ระยะเวลาสัมผัสมีผลต่อการเปลี่ยนแปลงพีเอชของน้ำ้เสียสีรีแอคทิฟอย่างมีนัยสำคัญ ( $P<0.05$ ) ระยะเวลาสัมผัสมากขึ้น ทำให้น้ำ้เสียมีค่าพีเอชเพิ่มขึ้น ที่ระยะเวลาสัมผัสน 180 นาที น้ำมีค่าเฉลี่ยร้อยละการเปลี่ยนแปลงพีเอชสูงที่สุด คือร้อยละ 23.49

### (2.3) ผลของระยะเวลาสัมผัสดต่อประสิทธิภาพการกำจัดของแข็งละลายน้ำ้

ผลการทดสอบด้วยค่าสถิติ F-test โดยวิธีวิเคราะห์ความแปรปรวน ที่ระดับนัยสำคัญ 0.05 พบว่า มีช่วงระยะเวลาสัมผัสถาย平均 2 ค่า ที่ทำให้ค่าเฉลี่ยการกำจัดของแข็งละลายน้ำ้ต่างกัน และเมื่อทดสอบต่อเนื่องด้วยการจับคู่พหุคุณ แบบเซฟเฟ่ ได้ผลแสดงในตารางผนวกที่ ๖ ผลการทดสอบส่วนใหญ่พบว่า ระยะเวลาสัมผัสดต่างกัน น้ำ้เสียมีค่าเฉลี่ยร้อยละการกำจัดของแข็งละลายน้ำ้ไม่แตกต่างกัน ยกเว้นที่ระยะเวลาสัมผัสน 30 นาที และ 60 นาที ให้ค่าเฉลี่ยร้อยละการกำจัดของแข็งละลายน้ำ้แตกต่างจากที่ระยะเวลาสัมผัสน 180 นาที

ผลทดลองสรุปได้ว่าการบำบัดน้ำ้เสียสีรีแอคทิฟ โดยใช้ข้าวไฟฟ้าอะลูมิเนียม ระยะเวลาสัมผัสมีผลต่อการกำจัดของแข็งละลายน้ำ้ของน้ำ้เสียสีรีแอคทิฟ อย่างมีนัยสำคัญ ( $P<0.05$ ) ระยะเวลาสัมผัสมากขึ้น ทำให้ประสิทธิภาพการกำจัดของแข็งละลายน้ำ้มากขึ้น ที่เวลา 180 นาทีมีประสิทธิภาพในการกำจัดของแข็งละลายน้ำ้สูงที่สุด คือร้อยละ 35.18

#### 4.1.1.2 การบำบัดน้ำ้เสียจากการย้อมผ้าฝ้ายทอด้วยสีรีแอคทิฟโดยใช้ข้าวไฟฟ้าเหล็ก

นำน้ำ้เสียจากการย้อมผ้าฝ้ายทอด้วยสีรีแอคทิฟ ปริมาตร 1 ลิตร บำบัดด้วยวิธีไฟฟ้าเคมี โดยใช้เหล็กเป็นข้าวไฟฟ้า แปรผันศักยไฟฟ้าที่ให้กับน้ำ้เสีย 10, 15, 20, 25 และ 30 โวลต์ ตามลำดับ เก็บตัวอย่างที่ 180 นาที มาวัดค่าการดูดกลืนแสง ค่าพีเอช และค่าน้ำ้ไฟฟ้า ทดลองซ้ำ 3 ครั้ง ได้ผลแสดงในตารางผนวกที่ 7 ก - 11 ก นำค่าการดูดกลืนแสง ค่าพีเอช และค่าน้ำ้ไฟฟ้า มาวิเคราะห์ค่าเฉลี่ยร้อยละการกำจัดสี ร้อยละการเปลี่ยนแปลงพีเอช และร้อยละการกำจัดของแข็งละลายน้ำ้ ได้ผลแสดงในตารางที่ 4.1.5

ตารางที่ 4.1.5 ประสิทธิภาพการนำบัดน้ำเสียสีรีแอดทีฟโดยใช้ข้าวไฟฟ้าเหล็ก ที่ค่าศักย์ไฟฟ้าต่างกัน

ครั้งที่ทดลอง	ศักย์ไฟฟ้า (volt)	การกำจัดสี (%)	การเปลี่ยนแปลง		การกำจัด ของแข็งละลายน้ำ (%)
			พีเอช (%)	(%)	
1	10	83.67	-30.15	6.56	
2	10	83.62	-30.09	10.20	
3	10	83.64	-30.53	8.33	
1	15	86.44	-33.10	17.24	
2	15	86.32	-32.64	16.40	
3	15	86.48	-33.01	15.81	
1	20	72.70	-34.47	18.59	
2	20	72.87	-33.79	20.00	
3	20	72.72	-34.38	18.68	
1	25	96.65	-21.03	41.26	
2	25	96.56	-23.98	30.70	
3	25	98.37	-26.29	38.70	
1	30	96.31	-25.50	25.51	
2	30	99.16	-23.54	10.88	
3	30	97.43	-20.35	35.47	

ข้อมูลจากตารางที่ 4.1.5 นำมาวิเคราะห์ความแปรปรวนแบบทางเดียว เพื่อทดสอบว่าการใช้ข้าวไฟฟ้าเหล็ก นำบัดน้ำเสียสีรีแอดทีฟ ด้วยค่าศักย์ไฟฟ้าที่ให้กับน้ำเสียต่างกัน ทำให้ค่าเฉลี่ยร้อยละของการกำจัดสีของน้ำเสีย ค่าเฉลี่ยร้อยละการเปลี่ยนแปลงพีเอช และค่าเฉลี่ยร้อยละของการกำจัดของแข็งละลายน้ำต่างกันหรือไม่ ได้ผลทดสอบแสดงในตารางที่ 4.1.6

ตารางที่ 4.1.6 การทดสอบค่าเฉลี่ยร้อยละของการกำจัดสี การเปลี่ยนแปลงพีเอช และการกำจัดของแข็ง ละลายน้ำ ของน้ำเสียสีรีแอกทีฟ นำบัดโดยใช้ข้าวไฟฟ้าเหล็ก ที่ค่าศักย์ไฟฟ้าต่างกัน

ศักย์ไฟฟ้า (volt)	N	ร้อยละ			ร้อยละ			ร้อยละการกำจัด		
		การกำจัดสี			การเปลี่ยนแปลงพีเอช			ของแข็งละลายน้ำ		
		Mean	SD.	F	Mean	SD.	F	Mean	SD.	F
10	3	83.64	0.03		-30.85	0.24		8.36	1.82	
15	3	86.41	0.08		-32.92	0.24		16.48	0.72	
20	3	72.76	0.09	516.952*	-34.21	0.37	28.383*	19.09	0.79	8.883*
25	3	97.19	1.02		-23.77	2.64		36.89	5.51	
30	3	97.63	1.44		-23.13	2.60		23.95	12.37	

\*มีนัยสำคัญทางสถิติที่ระดับ 0.05 ( $P<0.05$ )

### (1.1) ผลของค่าศักย์ไฟฟ้าต่อประสิทธิภาพการกำจัดสีรีแอกทีฟ

ผลการทดสอบด้วยค่าสถิติ F-test โดยวิธีวิเคราะห์ความแปรปรวน ที่ระดับนัยสำคัญ 0.05 พบว่า มีค่าศักย์ไฟฟ้าอย่างน้อย 2 ค่า ที่มีค่าเฉลี่ยร้อยละการกำจัดสีในน้ำต่างกัน และเมื่อทดสอบต่อเนื่องด้วยการจับคู่พหุคูณ แบบทามเย็น ได้ผลแสดงในตารางผนวกที่ 7 ค ผลการทดสอบส่วนใหญ่พบว่า ค่าศักย์ไฟฟ้าต่างกัน จะให้ค่าเฉลี่ยร้อยละการกำจัดสีรีแอกทีฟแตกต่างกัน ยกเว้นค่าศักย์ไฟฟ้าที่ 15 และ 25 โวลต์ ให้ค่าเฉลี่ยร้อยละการกำจัดสีไม่แตกต่างจาก 30 โวลต์

ผลการทดลองสูปได้ว่า การนำบัดน้ำเสียสีรีแอกทีฟ โดยใช้เหล็กเป็นข้าวไฟฟ้า สามารถกำจัดสีในน้ำเสียได้ โดยศักย์ไฟฟ้ามีผลต่อประสิทธิภาพการกำจัดสีอย่างมีนัยสำคัญ ( $P<0.05$ ) ประสิทธิภาพในการกำจัดสีเพิ่มขึ้น เมื่อเพิ่มค่าศักย์ไฟฟ้า ที่ค่าศักย์ไฟฟ้า 30 โวลต์ ให้ประสิทธิภาพในการกำจัดสีสูงที่สุด คือร้อยละ 97.63 อย่างไรก็ตามสามารถสูปได้ว่า ค่าศักย์ไฟฟ้าเมื่อเพิ่มขึ้นในระดับหนึ่ง ประสิทธิภาพในการกำจัดสีจะเริ่มคงที่ เนื่องจากผลการทดสอบด้วยค่าสถิติ F-test พบว่า ค่าศักย์ไฟฟ้าที่ 15 และ 25 โวลต์ ให้ค่าเฉลี่ยร้อยละการกำจัดสีไม่แตกต่างจาก 30 โวลต์

### (1.2) ผลของค่าศักย์ไฟฟ้าต่อค่าพีเอช

ผลการทดสอบด้วยค่าสถิติ F-test โดยวิธีวิเคราะห์ความแปรปรวน ที่ระดับนัยสำคัญ 0.05 พบว่า มีค่าศักย์ไฟฟ้าอย่างน้อย 2 ค่า ที่มีค่าเฉลี่ยร้อยละการเปลี่ยนแปลงพีเอชของน้ำเสียแตกต่างกัน และเมื่อทดสอบต่อเนื่องด้วยการจับคู่พหุคูณ แบบเชฟเฟ่ ได้ผลแสดงในตารางผนวกที่ 8 ค ผลการทดสอบส่วนใหญ่พบว่า ค่าศักย์ไฟฟ้าต่างกัน จะให้ค่าเฉลี่ยร้อยละการเปลี่ยนแปลงแตกต่างกัน ยกเว้นค่าศักย์ไฟฟ้าที่ 10 และ 15 โวลต์ ให้ค่าเฉลี่ยร้อยละการเปลี่ยนแปลงพีเอชไม่แตกต่างจาก 20 โวลต์ และที่ค่าศักย์ไฟฟ้าที่ 25 โวลต์ ให้ค่าเฉลี่ยร้อยละการเปลี่ยนแปลงพีเอชไม่แตกต่างจาก 30 โวลต์

ผลการทดลองสูปได้ว่าการนำบัดน้ำเสียสีรีแอกทีฟ โดยใช้เหล็กเป็นข้าวไฟฟ้า ค่าศักย์ไฟฟ้ามีผลต่อค่าพีเอชของน้ำเสียอย่างมีนัยสำคัญ ( $P<0.05$ ) ค่าศักย์ไฟฟ้าที่ให้กับน้ำเสียมากขึ้น มีผลทำให้ค่าพีเอชของน้ำเพิ่มขึ้น

โดยศักย์ไฟฟ้า 20 วอลต์ มีผลทำให้น้ำเสียมีค่าร้อยละการเพิ่มพีเอชสูงที่สุดคือร้อยละ 34.21 และเมื่อเพิ่มค่าศักย์ไฟฟ้ามากกว่า 20 วอลต์ การเปลี่ยนแปลงพีเอชของน้ำเสียเริ่มคงที่ เนื่องจากผลการทดสอบสถิติ F test พบว่า ค่าศักย์ไฟฟ้า 25 และ 30 วอลต์ ให้ค่าเฉลี่ยร้อยละการเปลี่ยนแปลงพีเอชไม่แตกต่างกัน

### (1.3) ผลของค่าศักย์ไฟฟ้าต่อประสิทธิภาพการกำจัดของแข็งละลายน้ำ

ผลการทดสอบด้วยค่าสถิติ F-test โดยวิธีวิเคราะห์ความแปรปรวน ที่ระดับนัยสำคัญ 0.05 พบว่า มีค่าศักย์ไฟฟ้าอย่างน้อย 2 ค่าที่ทำให้ค่าเฉลี่ยการกำจัดของแข็งละลายน้ำต่างกัน และเมื่อทดสอบต่อเนื่องด้วยการจับคู่พน扣除 แบบทามเย็น ได้ผลแสดงในตารางผนวกที่ 9c ผลการทดสอบส่วนใหญ่พบว่า ค่าศักย์ไฟฟ้าต่างกัน ไม่มีผลทำให้ค่าเฉลี่ยร้อยละการกำจัดของแข็งละลายน้ำต่างกัน ยกเว้นที่ค่าศักย์ไฟฟ้า 10 วอลต์ มีค่าเฉลี่ยร้อยละการกำจัดของแข็งละลายน้ำแตกต่างจากค่าศักย์ไฟฟ้า 20 วอลต์

ผลการทดลองสรุปได้ว่า การนำบัดน้ำเสียจากการย้อมผ้าฝ้ายทอด้วยสีรีแอคทีฟ โดยใช้เหล็กเป็นข้าวไฟฟ้า สามารถกำจัดของแข็งละลายน้ำได้ โดยศักย์ไฟฟ้ามีผลต่อประสิทธิภาพการกำจัดของแข็งละลายน้ำ อย่างมีนัยสำคัญ ( $P<0.05$ ) ประสิทธิภาพในการกำจัดของแข็งละลายน้ำเพิ่มขึ้นเมื่อเพิ่มค่าศักย์ไฟฟ้า ที่ค่าศักย์ไฟฟ้า 25 วอลต์ มีประสิทธิภาพในการกำจัดของแข็งละลายน้ำสูงที่สุด คือร้อยละ 36.89 แต่เมื่อเพิ่มค่าศักย์ไฟฟ้าจนถึงระดับหนึ่ง ประสิทธิภาพในการกำจัดของแข็งละลายน้ำจะเริ่มลดลง

### (2) ผลของระยะเวลาสัมผัส

นำน้ำเสียจากการย้อมผ้าฝ้ายทอด้วยสีรีแอคทีฟ ปริมาตร 1 ลิตร นำบัดด้วยวิธีไฟฟ้าเคมี โดยใช้เหล็กเป็นข้าวไฟฟ้า ให้ค่าศักย์ไฟฟ้า 15 วอลต์ แพรผันเวลาที่ให้กับน้ำเสีย 30, 60, 90, 120, 150, และ 180 นาที ตามลำดับ เก็บตัวอย่าง มาวัดค่าการดูดกลืนแสง ค่าพีเอช และค่าความนำไฟฟ้า ทดลองขั้น 3 ครั้ง ได้ผลแสดงในตารางผนวกที่ 7ก - 11ก นำค่าการดูดกลืนแสง ค่าพีเอช และค่าความนำไฟฟ้ามาวิเคราะห์ประสิทธิภาพการกำจัดสี การเพิ่มค่าพีเอช และการกำจัดของแข็งละลายน้ำ ได้ผลแสดงในตารางที่ 4.1.7

ตารางที่ 4.1.7 ประสิทธิภาพการบำบัดน้ำเสียสีรีเยคทีฟ โดยใช้ข้าวไฟฟ้าเหล็ก ค่าศักย์ไฟฟ้า 15 โวลต์ ที่ระยะเวลาสัมผัสต่างกัน

ครั้งที่ทดลอง	ระยะเวลา (min)	การกำจัดสี	การเปลี่ยนแปลง พื้นอิฐ	การกำจัดของแข็ง ละลายน้ำ
		(%)	(%)	(%)
1	30	10.21	-18.50	5.33
2	30	10.26	-17.92	3.54
3	30	10.21	-17.89	3.55
1	60	27.15	-28.09	7.52
2	60	26.99	-27.64	5.47
3	60	27.21	-27.88	5.48
1	90	59.29	-33.80	16.93
2	90	59.37	-33.06	14.79
3	90	59.27	-33.15	16.13
1	120	74.80	-36.58	25.71
2	120	74.89	-35.97	26.05
3	120	74.74	-36.48	24.52
1	150	82.28	-39.78	19.12
2	150	82.30	-38.89	19.61
3	150	82.21	-38.70	19.68
1	180	86.44	-33.10	17.24
2	180	86.32	-32.64	16.40
3	180	86.48	-33.01	15.81

ข้อมูลจากตารางที่ 4.1.7 นำมาวิเคราะห์ความแปรปรวนแบบทางเดียว เพื่อทดสอบว่าการใช้ข้าวไฟฟ้าเหล็ก บำบัดน้ำเสียสีรีเยคทีฟ ระยะเวลาสัมผัสต่างกัน ทำให้ค่าเฉลี่ยร้อยละของการกำจัดสีของน้ำ ค่าเฉลี่ยร้อยละการเปลี่ยนแปลงพื้นอิฐของน้ำ และ ค่าเฉลี่ยร้อยละการกำจัดของแข็งละลายน้ำต่างกันหรือไม่ ได้ผลแสดงในตารางที่ 4.1.8

**ตารางที่ 4.1.8 การทดสอบค่าเฉลี่ยร้อยละของการกำจัดสี การเปลี่ยนแปลงพีเอช และการกำจัดของแข็ง ละลายน้ำ ของน้ำเสียสีรีแอคทีฟ ด้วยศักยไฟฟ้า 15 วัลต์ ระยะเวลาสัมผัสด้วยกัน**

ระยะเวลา ก (min)	N	ร้อยละ การกำจัดสี			ร้อยละ การเปลี่ยนแปลงพีเอช			ร้อยละการกำจัด ของแข็งละลายน้ำ		
		Mean	SD.	F	Mean	SD.	F	Mean	SD.	F
		30	3	10.23	0.03		-18.10		4.14	1.03
		60	3	27.12	0.11		-27.87		6.16	1.18
		90	3	59.31	0.05	561885.6*	-33.33	1210.159*	15.95	1.08
		120	3	74.81	0.08		-36.34		25.43	0.80
		150	3	82.26	0.05		-39.12		19.47	0.31
		180	3	86.41	0.08		-32.92		16.48	0.72

\*มีนัยสำคัญทางสถิติที่ระดับ 0.05 ( $P<0.05$ )

### (2.1) ผลของระยะเวลาสัมผัสด้วยประสิทธิภาพการกำจัดสีรีแอคทีฟ

ผลการทดสอบด้วยค่าสถิติ F-test โดยวิธีวิเคราะห์ความแปรปรวน ที่ระดับนัยสำคัญ 0.05 พบว่า มีช่วงระยะเวลาสัมผัสดอย่างน้อย 2 ช่วงเวลาที่มีค่าเฉลี่ยร้อยละของการกำจัดสีต่างกัน และเมื่อทดสอบต่อเนื่องด้วยการจับคู่พหุคูณ แบบเชฟเฟ่ ได้ผลแสดงในตารางผนวกที่ 10 ค พบว่า ระยะเวลาสัมผัสด้วยกัน จะทำให้ค่าเฉลี่ยร้อยละการกำจัดสีมีค่าแตกต่างกัน

ผลการทดลองสรุปได้ว่าระยะเวลา มีผลต่อประสิทธิภาพการกำจัดสีรีแอคทีฟด้วยข้าไฟฟ้าเหล็ก อย่างมีนัยสำคัญ ( $P<0.05$ ) ระยะเวลานานขึ้น ทำให้ประสิทธิภาพการกำจัดสีมากขึ้นด้วย โดยการบำบัดสีรีแอคทีฟด้วยข้าไฟฟ้าเหล็ก ที่ระยะเวลา 180 นาทีมีประสิทธิภาพสูงที่สุดคือ ร้อยละ 86.41

### (2.2) ผลของระยะเวลาสัมผัสด้วยค่าพีเอชของน้ำ

ผลการทดสอบด้วยค่าสถิติ F-test โดยวิธีวิเคราะห์ความแปรปรวน ที่ระดับนัยสำคัญ 0.05 พบว่า มีระยะเวลาสัมผัสดอย่างน้อย 2 ค่า ที่ทำให้ค่าเฉลี่ยร้อยละการเปลี่ยนแปลงพีเอชในน้ำต่างกัน และเมื่อทดสอบต่อเนื่องด้วยการจับคู่พหุคูณแบบเชฟเฟ่ ได้ผลแสดงในตารางผนวกที่ 11 ค ผลการทดสอบส่วนใหญ่ พบว่าช่วงระยะเวลาสัมผัสด้วยกัน ทำให้น้ำเสียมีค่าเฉลี่ยร้อยละของการเปลี่ยนแปลงพีเอชต่างกัน ยกเว้นที่ระยะเวลา 90 นาที และ 180 นาที มีค่าเฉลี่ยร้อยละการเปลี่ยนแปลงไม่แตกต่างกัน

ผลการทดลองสรุปว่าระยะเวลาสัมผัสมีผลต่อการเปลี่ยนแปลงพีเอชของน้ำเสียสีรีแอคทีฟที่บำบัดด้วยข้าไฟฟ้าเหล็กอย่างมีนัยสำคัญ ( $P<0.05$ ) ระยะเวลานานขึ้น ทำให้น้ำเสียมีค่าพีเอชเพิ่มขึ้น โดยที่ระยะเวลา 150 นาที น้ำเสียจะมีค่าเฉลี่ยร้อยละของการพีเอชเพิ่มขึ้นสูงที่สุด คือร้อยละ 39.12 และเมื่อเพิ่มระยะเวลากว่า 150 นาที การเปลี่ยนแปลงพีเอชของน้ำเสียจะเริ่มลดลง เนื่องจากผลการทดสอบทางสถิติพบว่าค่าเฉลี่ยร้อยละของการเปลี่ยนแปลงพีเอช ที่ระยะเวลาสัมผัส 90 นาที และ 180 นาที มีค่าเฉลี่ยไม่แตกต่างกัน

### (2.3) ผลของระยะเวลาสัมผัสต่อประสิทธิภาพการกำจัดของเชิงละลายน้ำ

ผลการทดสอบด้วยค่าสถิติ F-test โดยวิธีวิเคราะห์ความแปรปรวน ที่ระดับนัยสำคัญ 0.05 พบว่า มีช่วงระยะเวลาสัมผัสอย่างน้อย 2 ค่า ที่ทำให้ค่าเฉลี่ยการกำจัดของเชิงละลายน้ำต่างกัน และเมื่อทดสอบต่อเนื่องด้วย การจับคู่พหุคุณแบบเชฟเฟ่ ได้ผลแสดงในตารางผนวกที่ 12c ส่วนใหญ่พบว่า ช่วงระยะเวลาสัมผัสด้วยกัน ทำให้ น้ำเสียมีค่าเฉลี่ยร้อยละการกำจัดของเชิงละลายน้ำ ต่างกัน ยกเว้น

- ที่ระยะเวลาสัมผัสระหว่าง 30 นาที และ 60 นาที มีค่าเฉลี่ยร้อยละการกำจัดของเชิงละลายน้ำ ไม่แตกต่าง
- ที่ระยะเวลาสัมผัสระหว่าง 60 นาที และ 180 นาที มีค่าเฉลี่ยร้อยละการกำจัดของเชิงละลายน้ำ ไม่แตกต่าง

ผลการทดลองสูงว่าระยะเวลาสัมผัสมีผลต่อประสิทธิภาพการกำจัดปริมาณของเชิงละลายน้ำ ของ น้ำเสียสีร็อกทีฟ ที่บำบัดด้วยข้าไฟฟ้าเหล็กอย่างมีนัยสำคัญ ( $P<0.05$ ) ระยะเวลาสัมผัสนานขึ้น ทำให้ ประสิทธิภาพการกำจัดของเชิงละลายน้ำเพิ่มขึ้น โดยที่ระยะเวลาสัมผัสระหว่าง 120 นาที มีประสิทธิภาพสูงที่สุด ร้อยละ 25.43 และเมื่อเพิ่มระยะเวลาสัมผัสมากกว่า 150 นาที ประสิทธิภาพการกำจัดของเชิงละลายน้ำเริ่มลดลง เนื่องจากผลการทดสอบทางสถิติพบว่าค่าเฉลี่ยร้อยละของการกำจัดของเชิงละลายน้ำ ที่ระยะเวลา 60 นาที และ 180 นาที มีค่าเฉลี่ยไม่แตกต่างกัน

#### 4.1.2 การบำบัดน้ำเสียจากการย้อมเส้นด้ายอะคริลิกด้วยสีเบสิก

การบำบัดน้ำเสียจากการย้อมเส้นด้ายอะคริลิก ด้วยสีเบสิก โดยใช้น้ำด้วยจากห้องหันส่วนเจริญชัย การย้อม

##### 4.1.2.1 การบำบัดน้ำเสียจากการย้อมเส้นด้ายอะคริลิกด้วยสีเบสิก โดยใช้ข้าไฟฟ้าอะลูมิเนียม

###### (1) ผลของค่าศักย์ไฟฟ้า

นำน้ำเสียจากการย้อมเส้นด้ายอะคริลิก ด้วยสีเบสิก จากห้องหันส่วนเจริญชัยการย้อมปริมาตร 4 ลิตร ดัง แสดงในรูปที่ 4.1.2 แบร์เซนศักย์ไฟฟ้าที่ให้กับน้ำเสีย 20, 30 และ 35 โวลต์ ตามลำดับ ที่ระยะเวลาสัมผัสระหว่าง นาที เก็บตัวอย่างมาวัดค่าการดูดกลืนแสง ค่าพีเอช ค่าการนำไฟฟ้า และค่าความชื้น โดยทดลองขั้น 3 ครั้ง ได้ผล แสดงในตารางผนวกที่ 1x - 3x นำค่าการดูดกลืนแสง ค่าพีเอช ค่าการนำไฟฟ้า และค่าความชื้น ของน้ำที่ผ่านการ บำบัดโดยให้ศักย์ไฟฟ้า ณ เกลาต่างๆ มาวิเคราะห์ร้อยละการกำจัดสี ร้อยละการเปลี่ยนแปลงพีเอช ร้อยละการ กำจัดของเชิงละลายน้ำ และร้อยละการกำจัดความชื้น ได้ผลแสดงในตารางที่ 4.1.9



**รูปที่ 4.1.2 การบำบัดน้ำเสียจากการย้อมเส้นด้ายอะคริลิกด้วยสีเบสิก**

**ตารางที่ 4.1.9 ประสิทธิภาพการบำบัดน้ำเสียสีเบสิก ด้วยข้าไฟฟ้าอะลูมิเนียม ที่ค่าศักย์ไฟฟ้าต่างกัน**

ครั้งที่ ทดลอง	ศักย์ไฟฟ้า (volt)	การกำจัดสี (%)	การเปลี่ยนแปลง พีเอชของน้ำเสีย (%)	การกำจัดของแข็ง ละลายน้ำ (%)	การกำจัดความชุ่น (%)
1	20	40.81	-3.74	11.10	-72.25
2	20	39.64	-2.30	10.50	-69.32
3	20	40.45	-3.29	11.03	-71.39
1	30	39.84	-18.47	16.47	-34.29
2	30	39.84	-23.04	16.32	-40.00
3	30	39.53	-19.72	17.41	-32.03
1	35	41.85	-20.59	15.09	17.76
2	35	34.87	-14.49	16.38	13.50
3	35	40.25	-19.33	17.21	16.83

ข้อมูลจากตารางที่ 4.1.9 นำมาวิเคราะห์ความแปรปรวนแบบทางเดียว เพื่อทดสอบว่าการใช้ข้าไฟฟ้าอะลูมิเนียม บำบัดน้ำเสียสีเบสิก ค่าศักย์ไฟฟ้าที่ให้กับน้ำเสียต่างกัน ทำให้ค่าเฉลี่ยร้อยละการกำจัดสีของน้ำ ค่าเฉลี่ยร้อยละการเปลี่ยนแปลงพีเอชของน้ำ ค่าเฉลี่ยร้อยละของการกำจัดของแข็งละลายน้ำ และค่าเฉลี่ยร้อยละ การกำจัดความชุ่นต่างกันหรือไม่ ได้ผลดังแสดงในตารางที่ 4.1.10

**ตารางที่ 4.1.10 การทดสอบค่าเฉลี่ยร้อยละของการกำจัดสี การเปลี่ยนแปลงพีเอช การกำจัดของแข็งละลายน้ำ และการกำจัดความชุ่ม ของน้ำเสียสีเบสิก โดยใช้ข้าวไฟฟ้าอะลูมิเนียม ที่ค่าศักย์ไฟฟ้าต่างกัน**

ศักย์ไฟฟ้า (volt)	N	ร้อยละการกำจัดสี			ร้อยละการเปลี่ยนแปลงพีเอช			ร้อยละการกำจัดของแข็งละลายน้ำ			ร้อยละการกำจัดความชุ่ม		
		การกำจัดสี			การเปลี่ยนแปลงพีเอช			ของแข็งละลายน้ำ			ความชุ่ม		
		Mean	SD.	F	Mean	SD.	F	Mean	SD.	F	Mean	SD.	F
20	3	40.30	0.60		-3.11	0.74		10.88	0.33		-70.99	1.51	
30	3	39.74	0.18	0.282	-20.41	2.36	48.15*	16.73	0.59	59.309*	-35.44	4.11	713.11*
35	3	38.99	3.66		-18.14	3.22		16.23	1.07		16.03	2.24	

\*มีนัยสำคัญทางสถิติที่ระดับ 0.05 ( $P<0.05$ )

**(1.1) ผลของค่าศักย์ไฟฟ้าต่อประสิทธิภาพการกำจัดสีเบสิก**

ผลการทดสอบด้วยค่าสถิติ F-test โดยวิธีวิเคราะห์ความแปรปรวน ที่ระดับนัยสำคัญ 0.05 พบว่า ค่าศักย์ไฟฟ้าที่ให้กับน้ำเสียสีเบสิกต่างกัน มีผลต่อค่าเฉลี่ยร้อยละการกำจัดสีเบสิกในน้ำไม่แตกต่างกัน

**(1.2) ผลของค่าศักย์ไฟฟ้าต่อค่าพีเอชของน้ำ**

ผลการทดสอบด้วยค่าสถิติ F-test โดยวิธีวิเคราะห์ความแปรปรวน ที่ระดับนัยสำคัญ 0.05 พบว่า มีค่าศักย์ไฟฟ้ากับน้ำเสียอย่างน้อย 2 ค่า ที่ทำให้ค่าเฉลี่ยร้อยละการเปลี่ยนแปลงพีเอชของน้ำต่างกัน และเมื่อทดสอบต่อเนื่องด้วยการจับคู่พหุคุณแบบเชฟเฟ่ ได้ผลแสดงในตารางผนวกที่ 13ค พぶว่า

- ที่ศักย์ไฟฟ้า 20 โวลต์ ให้ค่าเฉลี่ยร้อยละของการเปลี่ยนแปลงพีเอชในน้ำเสียแตกต่างจากการให้ศักย์ไฟฟ้า 30 และ 35 โวลต์
- ที่ศักย์ไฟฟ้า 30 และ 35 โวลต์ให้ค่าเฉลี่ยร้อยละของการเปลี่ยนแปลงพีเอชในน้ำเสียไม่แตกต่างกัน

ผลการทดลองสรุปว่าการใช้ข้าวอะลูมิเนียม ในการบำบัดน้ำเสียสีเบสิก ค่าศักย์ไฟฟ้า มีผลต่อการเปลี่ยนแปลงพีเอชของน้ำหลังบำบัดอย่างมีนัยสำคัญ ( $P<0.05$ ) โดยมีการเปลี่ยนแปลงพีเอชของน้ำสูงสุดที่ 30 โวลต์ คือร้อยละ 20.41 และเมื่อเพิ่มค่าศักย์ไฟฟ้ามากกว่า 30 โวลต์ การเปลี่ยนแปลงค่าพีเอชของน้ำจะเริ่มคงที่ เนื่องจากผลการทดสอบทางสถิติ พぶว่าที่ศักย์ไฟฟ้า 30 และ 35 โวลต์ ให้ค่าเฉลี่ยร้อยละของการเปลี่ยนแปลงพีเอชในน้ำเสียไม่แตกต่างกัน

**(1.3) ผลของค่าศักย์ไฟฟ้าต่อประสิทธิภาพการกำจัดของแข็งละลายน้ำ**

ผลการทดสอบด้วยค่าสถิติ F-test โดยวิธีวิเคราะห์ความแปรปรวน ที่ระดับนัยสำคัญ 0.05 พบว่า มีค่าศักย์ไฟฟ้ากับน้ำเสียอย่างน้อย 2 ค่า ที่ทำให้ค่าเฉลี่ยร้อยละการกำจัดของแข็งละลายน้ำต่างกัน และเมื่อทดสอบต่อเนื่องด้วยการจับคู่พหุคุณแบบเชฟเฟ่ ได้ผลแสดงในตารางผนวกที่ 14ค พぶว่า

- ที่ศักย์ไฟฟ้า 20 โวลต์ ให้ค่าเฉลี่ยร้อยละการกำจัดของแข็งละลายน้ำแตกต่างจากการให้ศักย์ไฟฟ้า 30 และ 35 โวลต์

- ที่ศักย์ไฟฟ้า 30 และ 35 วอลต์ ให้ค่าเฉลี่ยร้อยละการกำจัดของแข็งละลายน้ำไม่แตกต่าง

ผลการทดลองสรุปว่าการใช้ข้าวอ่อนมิเนียม ในการบำบัดน้ำเสียสีเบสิก ค่าศักย์ไฟฟ้า มีผลต่อประสิทธิภาพการกำจัดของแข็งละลายน้ำอย่างมีนัยสำคัญ ( $P<0.05$ ) โดยมีประสิทธิภาพการกำจัดของแข็งละลายน้ำสูงสุดที่ 30 วอลต์ คือร้อยละ 16.73 และเมื่อเพิ่มค่าศักย์ไฟฟ้ามากกว่า 30 วอลต์ ประสิทธิภาพการกำจัดของแข็งละลายน้ำจะเริ่มคงที่เนื่องจากผลการทดสอบทางสถิติ พบว่าที่ศักย์ไฟฟ้า 30 และ 35 วอลต์ให้ค่าเฉลี่ยร้อยละของการกำจัดของแข็งละลายน้ำไม่แตกต่างกัน

#### (1.4) ผลของค่าศักย์ไฟฟ้าต่อประสิทธิภาพการกำจัดความชุ่น

ผลการทดสอบด้วยค่าสถิติ F-test โดยวิธีวิเคราะห์ความแปรปรวน ที่ระดับนัยสำคัญ 0.05 พบว่า มีค่าศักย์ไฟฟ้ากับน้ำเสียอย่างน้อย 2 ค่า ที่ทำให้ค่าเฉลี่ยร้อยละการกำจัดความชุ่นต่างกัน และเมื่อทดสอบต่อเนื่องด้วยการจับคู่พหุคุณแบบเชฟเฟ่ ได้ผลแสดงในตารางผนวกที่ 15ค พぶว่า ทุกค่าศักย์ไฟฟ้าที่ต่างกัน มีผลต่อค่าเฉลี่ยการกำจัดความชุ่นของน้ำแตกต่างกัน

ผลการทดลองสรุปว่าการใช้ข้าวอ่อนมิเนียม ในการบำบัดน้ำเสียสีเบสิก ค่าศักย์ไฟฟ้า มีผลต่อประสิทธิภาพการกำจัดความชุ่นของน้ำอย่างมีนัยสำคัญ ( $P<0.05$ ) โดยมีประสิทธิภาพการกำจัดของแข็งละลายน้ำสูงสุดที่ 35 วอลต์ คือร้อยละ 16.03

#### (2) ผลของระยะเวลาสัมผัส

นำน้ำเสียจากการย้อมเส้นด้ายอะคริลิกด้วยสีเบสิกปริมาณ 4 ลิตร บำบัดด้วยวิธีการไฟฟ้าเคมี โดยใช้เหล็กเป็นข้าวไฟฟ้า ให้ศักย์ไฟฟ้าแก่น้ำในปริมาณ 35 วอลต์ เนื่องจากมีประสิทธิภาพในการกำจัดความชุ่นสูงที่สุด แปรผันเวลาที่ให้กับน้ำเสีย 30, 60, 90, 120, 150, และ 180 นาที ตามลำดับ เก็บตัวอย่าง มาวัดค่ากรดคูลลิน แสง ค่าพีเอช ค่าความนำไฟฟ้า และค่าความชุ่น ทดลองซ้ำ 3 ครั้ง ได้ผลแสดงในตารางผนวกที่ 1x - 3x

นำค่าการดูดคูลลินแสง ค่าพีเอช ค่าความนำไฟฟ้า และค่าความชุ่น วิเคราะห์ร้อยละการกำจัดสี ร้อยละ การเปลี่ยนแปลงพีเอช ร้อยละการกำจัดของแข็งละลายน้ำ และร้อยละการกำจัดความชุ่น ได้ผลแสดงในตารางที่ 4.1.11

ตารางที่ 4.1.11 ประสิทธิภาพการบำบัดน้ำเสียสีเบสิก ศักย์ไฟฟ้า 35 วัลต์ โดยใช้อัลูมิเนียมขี้ไวไฟฟ้า ที่ระยะเวลาต่างกัน

ครั้งที่ ทดลอง	ศักย์ไฟฟ้า (volt)	การกำจัดสี	การเปลี่ยนแปลง	การกำจัดของแข็ง	การกำจัดความชุ่น
		(%)	(%)	(%)	(%)
1	30	28.37	-1.62	0.49	21.96
2	30	18.09	1.67	0.37	19.33
3	30	21.67	-1.33	0.61	21.43
1	60	30.34	-3.10	0.85	17.29
2	60	21.05	1.28	1.10	12.00
3	60	27.24	-2.4	0.85	15.87
1	90	32.58	-9.15	4.26	12.31
2	90	22.37	-4.23	4.52	6.67
3	90	29.10	-6.67	4.36	10.48
1	120	35.39	-15.75	4.01	31.31
2	120	25.00	-10.13	4.65	27.00
3	120	31.89	-13.60	3.88	30.32
1	150	39.33	-19.92	7.54	25.55
2	150	33.88	-14.62	7.33	23.33
3	150	38.70	-19.73	7.64	26.51
1	180	41.85	-20.59	15.09	17.76
2	180	34.87	-14.49	16.38	13.50
3	180	40.25	-19.33	17.21	16.83

ข้อมูลจากตารางที่ 4.1.11 นำมาวิเคราะห์ความแปรปรวนแบบทางเดียว เพื่อทดสอบว่าการบำบัดน้ำเสียจากการย้อมเส้นด้ายด้วยสีเบสิก โดยใช้ขี้ไวไฟฟ้าเหล็ก ระยะเวลาให้ศักย์ไฟฟ้ากับน้ำเสียต่างกัน ทำให้ค่าเฉลี่ยร้อยละของการกำจัดสี ค่าเฉลี่ยร้อยละการเปลี่ยนแปลงพีเอช ค่าเฉลี่ยร้อยละการกำจัดของแข็งละลายน้ำ และค่าเฉลี่ยร้อยละการกำจัดความชุ่น ต่างกันหรือไม่ ได้ผลแสดงในตารางที่ 4.1.12

**ตารางที่ 4.1.12 การทดสอบค่าเฉลี่ยร้อยละของการกำจัดสี ค่าการเปลี่ยนแปลงพีอีช การกำจัดของแข็งละลาย และการกำจัดความชุ่น ของน้ำเสียสีเบสิกโดยใช้ข้าวไฟฟ้าอะลูมิเนียม ศักยไฟฟ้า 35 โวลต์ ที่ระยะเวลาสัมผัสด่างกัน**

เวลา (min)	N	ร้อยละ การกำจัดสี			ร้อยละ การเปลี่ยนแปลงพีอีช			ร้อยละการกำจัด ของแข็งละลายน้ำ			ร้อยละการกำจัดความชุ่น		
		Mean	SD.	F	Mean	SD.	F	Mean	SD.	F	Mean	SD.	F
30	3	22.71	5.22		-0.43	1.82		0.49	0.12		20.91	1.39	
60	3	26.21	4.73		-1.41	2.32		0.93	0.14		15.05	2.74	
90	3	28.02	5.19	5.7	-6.68	2.46	26.96*	4.38	0.13	435.39*	9.82	2.88	30.71*
120	3	30.76	5.29	8*	-13.16	2.84		4.18	0.41		29.54	2.26	
150	3	37.30	2.98		-18.09	3.00		7.50	0.16		25.13	1.63	
180	3	38.99	3.66		-18.14	3.22		16.23	1.07		16.03	2.24	

\*มีนัยสำคัญทางสถิติที่ระดับ 0.05 ( $P<0.05$ )

### (2.1) ผลของระยะเวลาสัมผัสดต่อประสิทธิภาพการกำจัดสีเบสิก

ผลการทดสอบด้วยค่าสถิติ F-test โดยวิธีวิเคราะห์ความแปรปรวน ที่ระดับนัยสำคัญ 0.05 พบว่า มีระยะเวลาสัมผัสดอย่างน้อย 2 ค่าที่มีค่าเฉลี่ยการกำจัดสีต่างกัน และเมื่อทดสอบต่อเนื่องด้วยการจับคู่พหุคูณแบบ เชฟเฟ่ ได้ผลแสดงในตารางผนวกที่ 16 ค ส่วนใหญ่พบว่า ช่วงระยะเวลาสัมผัสดที่ต่างกัน ไม่มีผลทำให้ค่าเฉลี่ย ร้อยละการกำจัดสีต่างกัน ยกเว้นที่ระยะเวลาสัมผัส 30 นาที จะมีค่าเฉลี่ยร้อยละการกำจัดสีแตกต่างจากที่ ระยะเวลาสัมผัส 180 นาที

ผลการทดลองสรุปว่าการใช้ข้าวไฟฟ้าอะลูมิเนียม ในการบำบัดน้ำเสียสีเบสิก ระยะเวลาสัมผัสมีผลต่อ ประสิทธิภาพการกำจัดสีของน้ำอย่างมีนัยสำคัญ ( $P<0.05$ ) โดยมีประสิทธิภาพการกำจัดของแข็งละลายน้ำสูงสุด ที่ 180 นาที คือร้อยละ 38.99

### (2.2) ผลของระยะเวลาสัมผัสดต่อค่าพีอีชของน้ำ

ผลการทดสอบด้วยค่าสถิติ F-test โดยวิธีวิเคราะห์ความแปรปรวน ที่ระดับนัยสำคัญ 0.05 พบว่า มีระยะเวลาสัมผัสดอย่างน้อย 2 ค่า ที่ทำให้ค่าเฉลี่ยการเปลี่ยนแปลงพีอีชในน้ำต่างกัน และเมื่อทดสอบต่อเนื่องด้วย การจับคู่พหุคูณแบบ เชฟเฟ่ ได้ผลแสดงในตารางผนวกที่ 17 ค พぶว่า

- ระยะเวลาสัมผัส 30 และ 60 นาที ให้ค่าเฉลี่ยร้อยละการเปลี่ยนแปลงพีอีชแตกต่างจากที่ระยะเวลา สัมผัส 120, 150, และ 180 นาที
- ระยะเวลาสัมผัส 90 นาที ให้ค่าเฉลี่ยร้อยละการเปลี่ยนแปลงพีอีชแตกต่างจากที่ระยะเวลาสัมผัส 150, และ 180 นาที
- ระยะเวลาสัมผัส 120, 150 และ 180 นาทีให้ค่าเฉลี่ยการเปลี่ยนแปลงพีอีชไม่แตกต่างกัน

ผลการทดลองสรุปว่าการใช้ขั้วอะลูมิเนียม ในการบำบัดน้ำเสียสีเบสิก ระยะเวลาสัมผัสมีผลต่อค่าเฉลี่ยร้อยละการเปลี่ยนแปลงพื้นที่ของน้ำอย่างมีนัยสำคัญ ( $P<0.05$ ) โดยระยะเวลาสัมผัสนานขึ้น ทำให้ค่าเฉลี่ยร้อยละการเปลี่ยนแปลงพื้นที่ของน้ำมีค่าร้อยละ 18.14 อย่างไรก็ตามที่ระยะเวลาสัมผัสมากกว่า 120 นาที การเปลี่ยนแปลงพื้นที่ของน้ำจะเริ่มคงที่ เนื่องจากผลการทดสอบทางสถิติพบว่าระยะเวลาสัมผัสด้วย 120, 150 และ 180 นาทีให้ค่าเฉลี่ยพื้นที่ไม่แตกต่างกัน

#### (2.3) ผลของระยะเวลาให้ศักย์ไฟฟ้าต่อประสิทธิภาพการกำจัดของแข็งละลายน้ำ

ผลการทดสอบด้วยค่าสถิติ F-test โดยวิธีวิเคราะห์ความแปรปรวน ที่ระดับนัยสำคัญ 0.05 พบร่วมกับ ระยะเวลาสัมผัสด้วยน้ำอ้อย 2 ค่าที่ทำให้ค่าเฉลี่ยการกำจัดของแข็งละลายน้ำต่างกัน และทดสอบต่อเนื่องด้วยการจับคู่พหุคุณแบบทามเย็น ได้ผลแสดงในตารางผนวกที่ 18ค ส่วนใหญ่พบว่าระยะเวลาสัมผัสด้วยกัน ทำให้ค่าเฉลี่ยการกำจัดของแข็งละลายน้ำต่างกัน ยกเว้น

- ระยะเวลาสัมผัส 30 และ 60 นาที ให้ค่าเฉลี่ยการกำจัดของแข็งละลายน้ำไม่แตกต่าง
- ระยะเวลาสัมผัส 150 และ 180 นาที ให้ค่าเฉลี่ยการกำจัดของแข็งละลายน้ำไม่แตกต่าง

ผลการทดลองสรุปว่าการใช้ขั้วอะลูมิเนียม ในการบำบัดน้ำเสียสีเบสิก ระยะเวลาสัมผัสมีผลต่อประสิทธิภาพการกำจัดของแข็งละลายน้ำอย่างมีนัยสำคัญ ( $P<0.05$ ) ระยะเวลาสัมผัส น้อยหรือมากเกินไป มีผลต่อประสิทธิภาพการกำจัดของแข็งละลายน้ำ ที่ระยะเวลาสัมผัส 180 นาที ค่าเฉลี่ยร้อยละการกำจัดของแข็งละลายน้ำมีค่าร้อยละ 16.23 อย่างไรก็ตามที่ระยะเวลาสัมผัสมากกว่า 150 นาที ประสิทธิภาพในการกำจัดเริ่มคงที่ เนื่องจากผลทดสอบทางสถิติ พบร่วมกับ ที่ระยะเวลาสัมผัส 150 และ 180 นาที ให้ค่าเฉลี่ยการกำจัดของแข็งละลายน้ำไม่แตกต่าง

#### (2.4) ผลของระยะเวลาสัมผัสด้วยประสิทธิภาพการกำจัดความชุ่น

ผลการทดสอบด้วยค่าสถิติ F-test โดยวิธีวิเคราะห์ความแปรปรวน ที่ระดับนัยสำคัญ 0.05 พบร่วมกับ ระยะเวลาสัมผัสด้วยน้ำอ้อย 2 ค่า ที่ทำให้ค่าเฉลี่ยการกำจัดความชุ่นในน้ำต่างกัน และเมื่อทดสอบต่อเนื่องด้วยวิธีการจับคู่พหุคุณแบบเชฟเฟ่ฟ์ ได้ผลแสดงในตารางผนวกที่ 19ค พบร่วมกับ

- ระยะเวลาสัมผัส 120 นาที ให้ค่าเฉลี่ยการกำจัดของแข็งละลายน้ำแตกต่างจากระยะเวลาสัมผัส 30, 60, 90 และ 180 นาที
- ระยะเวลา 180 นาที ให้ค่าเฉลี่ยการกำจัดของแข็งละลายน้ำไม่แตกต่างจากระยะเวลาสัมผัส 60 และ 90 นาที

ผลการทดลองสรุปว่าการใช้ขั้วอะลูมิเนียม ในการบำบัดน้ำเสียสีเบสิก ระยะเวลาสัมผัสมีผลต่อประสิทธิภาพการกำจัดความชุ่นอย่างมีนัยสำคัญ ( $P<0.05$ ) ระยะเวลาสัมผัส น้อยหรือมากเกินไป มีผลต่อประสิทธิภาพการกำจัดความชุ่น ที่ระยะเวลาสัมผัส 120 นาที ค่าเฉลี่ยร้อยละการกำจัดความชุ่นร้อยละ 29.54

อย่างไรก็ตามระยะเวลาสัมผัสมากกว่า 120 นาที ประสิทธิภาพในการกำจัดความชุนเริ่มลดลง เนื่องจากผลทดสอบทางสถิติ พบว่าระยะเวลาสัมผัส 180 นาที ให้ค่าเฉลี่ยการกำจัดของเข็งละลายน้ำไม่แตกต่างจากที่ระยะเวลาสัมผัส 60 และ 90 นาที

#### 4.1.1.2 การบำบัดน้ำเสียจากการย้อมเส้นด้ายอะคริลิกด้วยสีเบสิกโดยใช้ข้าไฟฟ้าเหล็ก

นำน้ำเสียจากการย้อมเส้นด้ายอะคริลิกด้วยสีเบสิก ปริมาณ 4 ลิตร บำบัดด้วยวิธีไฟฟ้าเคมี โดยใช้เหล็กเป็นข้าไฟฟ้า แปรผันศักยไฟฟ้าที่ให้กับน้ำเสีย 20, 25, 30, และ 35 โวลต์ ตามลำดับ ระยะเวลาสัมผัส 180 นาที เก็บตัวอย่างมาวัดค่าการดูดกลืนแสง ค่าพีเอช ค่าการนำไฟฟ้า และค่าความชุน ทดลองซ้ำ 3 ครั้ง ได้ผลแสดงในตารางผนวกที่ 4x-7x นำค่าการดูดกลืนแสง ค่าพีเอช ค่าการนำไฟฟ้า และค่าความชุน มาวิเคราะห์ร้อยละการกำจัดสี ร้อยละการเปลี่ยนแปลงพีเอช ร้อยละการกำจัดของเข็งละลายน้ำ และร้อยละการกำจัดความชุน ได้ผลแสดงในตารางที่ 4.1.13

ตารางที่ 4.1.13 ประสิทธิภาพการบำบัดน้ำเสียจากการย้อมสีเบสิก โดยใช้ข้าไฟฟ้าเหล็ก ที่ค่าศักยไฟฟ้าต่างกัน

ครั้งที่ทดลอง	ศักยไฟฟ้า (volt)	การกำจัดสี (%)	การเปลี่ยนแปลงพีเอช (%)	การกำจัดของเข็งละลายน้ำ (%)	การกำจัดของเข็ง แขวนลอย (%)
1	20	83.01	-90.50	1.59	-8.11
2	20	80.33	-50.09	1.35	-3.86
3	20	77.16	-57.97	2.21	-12.27
1	25	81.85	-91.51	14.80	17.19
2	25	90.94	-47.24	12.97	22.04
3	25	84.04	-29.79	12.48	22.61
1	30	86.58	-115.26	13.01	8.21
2	30	92.03	-103.53	11.47	10.71
3	30	91.64	-61.98	14.06	12.63
1	35	80.12	-84.02	15.01	9.34
2	35	91.72	-54.80	13.48	9.09
3	35	90.40	-117.48	10.71	13.15

ข้อมูลจากตารางที่ 4.1.13 นำมาวิเคราะห์ความแปรปรวนแบบทางเดียว เพื่อทดสอบว่าการบำบัดน้ำเสียจากการย้อมเส้นด้ายอะคริลิกด้วยสีเบสิก ด้วยข้าไฟฟ้าเหล็ก ค่าศักยไฟฟ้าที่ให้กับน้ำเสียต่างกัน ทำให้ค่าเฉลี่ยร้อยละการกำจัดสี ค่าเฉลี่ยร้อยละการเปลี่ยนแปลงพีเอชของน้ำ ค่าเฉลี่ยร้อยละการกำจัดของเข็งละลายน้ำ และค่าเฉลี่ยร้อยละการกำจัดความชุนต่างกันหรือไม่ ได้ผลแสดงในตารางที่ 4.1.14

**ตารางที่ 4.1.14 การทดสอบค่าเฉลี่ยร้อยละของการกำจัดสี การเปลี่ยนแปลงพีเอช การกำจัดของแข็งละลายน้ำ และการกำจัดความชุ่น ในการบำบัดน้ำเสียสีเบสิก โดยใช้ข้าวไฟฟ้าเหล็ก ที่ค่าศักย์ไฟฟ้าต่างกัน**

ศักย์ไฟฟ้า (volt)	N	ร้อยละ			ร้อยละการเปลี่ยนแปลง			ร้อยละการกำจัด			ร้อยละการกำจัด		
		การกำจัดสี			พีเอช			ของแข็งละลายน้ำ			ความชุ่น		
		Mean	SD.	F	Mean	SD.	F	Mean	SD.	F	Mean	SD.	F
20	3	80.17	2.93		-66.19	21.42		1.72	0.44		-8.08	4.21	
25	3	85.61	4.74	2.615	-56.18	31.82	1.094	13.42	1.22	47.923*	20.61	2.98	46.914*
30	3	90.08	3.04		-93.59	27.99		12.85	1.30		10.52	2.22	
35	3	87.41	6.35		-85.44	31.37		13.07	2.18		10.53	2.28	

\*มีนัยสำคัญทางสถิติที่ระดับ 0.05 ( $P<0.05$ )

### (1.1) ผลของค่าศักย์ไฟฟ้าต่อประสิทธิภาพการกำจัดสีเบสิก

ผลการทดสอบด้วยค่าสถิติ F-test โดยวิธีวิเคราะห์ความแปรปรวน ที่ระดับนัยสำคัญ 0.05 พบว่า ค่าศักย์ไฟฟ้าที่ให้กับน้ำเสียต่างกัน มีผลต่อค่าเฉลี่ยร้อยละของการกำจัดสีในน้ำไม่แตกต่างกัน

### (1.2) ผลของค่าศักย์ไฟฟ้าต่อค่าพีเอชของน้ำ

ผลการทดสอบด้วยค่าสถิติ F-test โดยวิธีวิเคราะห์ความแปรปรวน ที่ระดับนัยสำคัญ 0.05 พบว่า ค่าศักย์ไฟฟ้าที่ให้กับน้ำเสียต่างกัน มีผลต่อค่าเฉลี่ยร้อยละของการเปลี่ยนแปลงค่าพีเอชในน้ำเสียไม่แตกต่างกัน

### (1.3) ผลของค่าศักย์ไฟฟ้าต่อประสิทธิภาพการกำจัดของแข็งละลายน้ำ

ผลการทดสอบด้วยค่าสถิติ F-test โดยวิธีวิเคราะห์ความแปรปรวน ที่ระดับนัยสำคัญ 0.05 พบว่า มีค่าศักย์ไฟฟ้าอย่างน้อย 2 ค่าที่ทำให้ค่าเฉลี่ยร้อยละของการกำจัดของแข็งละลายน้ำต่างกัน และทดสอบต่อเนื่องด้วยการจับคู่ พหุคูณแบบเชฟเฟ่ ได้ผลแสดงในตารางผนวกที่ 20 ค พぶว่า

- ค่าศักย์ไฟฟ้า 20 โวลต์ ให้ค่าเฉลี่ยร้อยละของการกำจัดของแข็งละลายน้ำ แตกต่างจากการให้ศักย์ไฟฟ้า 25, 30, และ 35 โวลต์
- ค่าศักย์ไฟฟ้า 25, 30, และ 35 โวลต์ ให้ค่าเฉลี่ยร้อยละของการกำจัดของแข็งละลายน้ำ ไม่แตกต่าง

ผลการทดลองสูงว่าการใช้ข้าวไฟฟ้าเหล็ก ในการบำบัดน้ำเสียสีเบสิก ศักย์ไฟฟ้ามีผลต่อค่าเฉลี่ยร้อยละ การกำจัดของแข็งละลายน้ำอย่างมีนัยสำคัญ ( $P<0.05$ ) โดยค่าศักย์ไฟฟ้าเพิ่มขึ้น ทำให้ประสิทธิภาพการกำจัด ของแข็งละลายน้ำมากขึ้น ที่ศักย์ไฟฟ้า 25 โวลต์ มีประสิทธิภาพสูงสุด คือร้อยละ 13.42 เมื่อให้ศักย์ไฟฟ้ามากกว่า 25 โวลต์ ประสิทธิภาพการกำจัดของแข็งละลายน้ำจะเริ่มคงที่เนื่องจากผลทดสอบทางสถิติพบว่าค่าศักย์ไฟฟ้า 25, 30, และ 35 โวลต์ ให้ค่าเฉลี่ยร้อยละของการกำจัดของแข็งละลายน้ำ ไม่แตกต่าง

#### (1.4) ผลของค่าศักย์ไฟฟ้าต่อประสิทธิภาพการกำจัดความชุ่น

ผลการทดสอบด้วยค่าสถิติ F-test โดยวิธีวิเคราะห์ความแปรปรวน ที่ระดับนัยสำคัญ 0.05 พบว่า มีค่าศักย์ไฟฟ้าอย่างน้อย 2 ค่าที่ทำให้ค่าเฉลี่ยร้อยละของการกำจัดความชุ่นต่างกัน และทดสอบต่อเนื่องด้วยการจับคู่พหุคูณแบบ เชฟเฟ่ ได้ผลแสดงในตารางผนวกที่ 21c ส่วนใหญ่ พบว่า ค่าศักย์ไฟฟ้าที่ต่างกัน ทำให้ทำให้ค่าเฉลี่ยร้อยละของการกำจัดความชุ่นต่างกัน ยกเว้น ศักย์ไฟฟ้า 30 โวลต์ ให้ค่าเฉลี่ยการกำจัดความชุ่นไม่แตกต่างจาก การให้ศักย์ไฟฟ้า 35 โวลต์

ผลการทดลองสรุปว่าการใช้ชั้นไฟฟ้าเหล็ก ในกระบวนการบำบัดน้ำเสียสีเบสิก ศักย์ไฟฟ้ามีผลต่อค่าเฉลี่ยร้อยละ การกำจัดความชุ่นอย่างมีนัยสำคัญ ( $P<0.05$ ) โดยค่าศักย์ไฟฟ้าเพิ่มขึ้น ทำให้ประสิทธิภาพการกำจัดของแข็ง ละลายน้ำมากขึ้น ที่ศักย์ไฟฟ้า 25 โวลต์ มีประสิทธิภาพสูงสุด คือร้อยละ 20.61 เมื่อให้ศักย์ไฟฟ้ามากกว่า 25 โวลต์ ประสิทธิภาพการกำจัดของแข็งละลายน้ำจะลดลง

#### (2) ผลของระยะเวลาสัมผัส

นำน้ำเสียจากการย้อมเส้นด้ายอะคริลิกด้วยสีเบสิกปริมาณ 4 ลิตร บำบัดด้วยวิธีไฟฟ้าเคมี โดยใช้เหล็ก เป็นชั้นไฟฟ้า ให้ศักย์ไฟฟ้าแก่น้ำในปริมาณ 25 โวลต์ เนื่องจากมีประสิทธิภาพในการกำจัดของแข็งละลายน้ำ และ ความชุ่นได้สูงที่สุด แปรผันระยะเวลาสัมผัส 30, 60, 90, 120, 150, และ 180 นาที ตามลำดับ เก็บตัวอย่าง มาวัด ค่าการดูดกลืนแสง ค่าพีเอช ค่าความนำไฟฟ้า ค่าความชุ่น ทดลองซ้ำ 3 ครั้ง ได้ผลแสดงในตารางผนวกที่ 4x -7x

นำค่าการดูดกลืนแสงของน้ำ ค่าพีเอช ค่าความนำไฟฟ้า และค่าความชุ่น มาวิเคราะห์ร้อยละการกำจัดสี ร้อยละการเปลี่ยนแปลงพีเอช ร้อยละการกำจัดของแข็งละลายน้ำ และร้อยละการกำจัดความชุ่น ได้ผลแสดงใน ตารางที่ 4.1.15

**ตารางที่ 4.1.15 ประสิทธิภาพการนำบัดน้ำเสียจากการย้อมเส้นด้ายอะคริลิกด้วยสีเบสิกโดยใช้ข้าวไฟฟ้าเหล็กค่าศักย์ไฟฟ้า 25 โวลต์ ที่ระยะเวลาสัมผัสต่างกัน**

ครั้งที่ ทดลอง	ศักย์ไฟฟ้า (volt)	การกำจัดสี	การเปลี่ยนแปลง	การกำจัดของแข็ง	การกำจัดความชุ่น
		(%)	(%)	ละลายน้ำ (%)	(%)
1	30	-12.10	-8.92	-4.78	1.41
2	30	-7.81	-9.97	-2.22	1.31
3	30	-12.77	-9.73	-3.63	1.62
1	60	-3.20	-12.01	-2.99	4.22
2	60	0.31	-11.50	-2.56	5.40
3	60	-2.48	-10.77	-2.53	5.73
1	90	57.30	-14.44	-0.30	5.31
2	90	58.75	-16.41	-6.66	5.84
3	90	59.22	-16.81	-4.74	5.58
1	120	68.33	-14.24	1.35	19.06
2	120	71.56	-20.09	1.19	20.44
3	120	69.86	-18.88	1.58	18.94
1	150	75.09	-29.50	2.99	19.06
2	150	75.00	-28.99	4.10	20.73
3	150	74.11	-25.96	3.32	22.47
1	180	81.85	-58.66	14.80	17.19
2	180	90.94	-47.24	12.97	22.04
3	180	84.04	-29.79	12.48	22.61

ข้อมูลจากตารางที่ 4.1.15 นำมาวิเคราะห์ความแปรปรวนแบบทางเดียว เพื่อทดสอบว่าการนำบัดน้ำเสียสีเบสิก โดยใช้ข้าวไฟฟ้าเหล็ก ระยะเวลาสัมผัสต่างกัน ทำให้ค่าเฉลี่ยร้อยละของการกำจัดสี ค่าเฉลี่ยร้อยละการเปลี่ยนแปลงพีเอช ค่าเฉลี่ยร้อยละการกำจัดของแข็งละลายน้ำ และค่าเฉลี่ยร้อยละการกำจัดความชุ่น ต่างกันหรือไม่ ได้ผลแสดงในตารางที่ 4.1.16

ตารางที่ 4.1.16 การทดสอบค่าเฉลี่ยร้อยละของการกำจัดสี การเปลี่ยนแปลงพีเอช การกำจัดของแข็งละลายน้ำ และการกำจัดความชุ่ม ในการบำบัดน้ำเสียสีเบสิกโดยใช้ข้าวไฟฟ้าเหล็ก ค่าศักย์ไฟฟ้า 25 โวลต์ ที่ระยะเวลาต่างกัน

เวลา (min)	N	ร้อยละ การกำจัดสี			ร้อยละการเปลี่ยนแปลง พีเอช			ร้อยละการกำจัดของแข็ง ละลายน้ำ			ร้อยละการกำจัดความชุ่ม		
		Mean	SD.	F	Mean	SD.	F	Mean	SD.	F	Mean	SD.	F
30	3	-10.89	2.69		-9.54	0.55		-3.54	1.28		1.45	0.16	
60	3	-1.79	1.85		-11.43	0.62		-2.69	0.26		5.12	0.79	
90	3	58.42	1.00	838.75*	-15.88	1.29	14.24*	-3.90	3.26	55.216*	5.58	0.27	110.91*
120	3	69.92	1.62		-17.74	3.09		1.37	0.20		19.48	0.83	
150	3	74.73	0.54		-28.15	1.91		3.47	0.57		20.75	1.71	
180	3	85.61	4.74		-45.23	14.53		13.42	1.22		20.61	2.98	

\*มีนัยสำคัญทางสถิติที่ระดับ 0.05 ( $P<0.05$ )

### (2.1) ผลของระยะเวลาสัมผัสต่อประสิทธิภาพการกำจัดสีเบสิก

ผลการทดสอบด้วยค่าสถิติ F-test โดยวิธีเคราะห์ความแปรปรวน ที่ระดับนัยสำคัญ 0.05 พบว่า มีช่วงระยะเวลาสัมผัสอย่างน้อย 2 ค่า ที่ค่าเฉลี่ยการกำจัดสีของน้ำต่างกัน และเมื่อทดสอบต่อเนื่องด้วยการจับคู่พหุคูณ แบบทามเย็น ได้ผลแสดงในตารางผนวกที่ 22ค สรุว่าระยะเวลาสัมผัสด้วยกัน มีค่าเฉลี่ยร้อยละการกำจัดสีต่างกัน ยกเว้นระยะเวลาสัมผัส 120, 150 และ 180 นาที ให้ค่าเฉลี่ยร้อยละการกำจัดสีไม่แตกต่างกัน

ผลการทดลองสูงกว่าการใช้ข้าวไฟฟ้าเหล็ก ในกระบวนการบำบัดน้ำเสียสีเบสิก ระยะเวลาสัมผัสมีผลต่อประสิทธิภาพการกำจัดสี อย่างมีนัยสำคัญ ( $P<0.05$ ) โดยระยะเวลาสัมผัสเพิ่มขึ้น ทำให้ประสิทธิภาพการกำจัดสีมากขึ้น ที่เวลา 180 นาที มีประสิทธิภาพสูงสุด คือร้อยละ 85.61 อย่างไรก็ตามสามารถสรุปได้ว่า เมื่อเพิ่มระยะเวลาสัมผ่านานขึ้นถึงระดับหนึ่ง ประสิทธิภาพในการกำจัดสีจะเริ่มคงที่ เนื่องจากผลการทดสอบด้วยค่าสถิติ F-test พบว่า ที่ระยะเวลาสัมผัส 120, 150 และ 180 นาที ให้ค่าเฉลี่ยร้อยละการกำจัดสีไม่แตกต่างกัน

### (2.2) ผลของระยะเวลาสัมผัสต่อค่าพีเอชของน้ำ

ผลการทดสอบด้วยค่าสถิติ F-test โดยวิธีเคราะห์ความแปรปรวน ที่ระดับนัยสำคัญ 0.05 พบว่า มีระยะเวลาสัมผัสอย่างน้อย 2 ค่าที่ทำให้ค่าเฉลี่ยการเปลี่ยนแปลงพีเอชในน้ำต่างกัน และเมื่อทดสอบต่อเนื่องด้วยการจับคู่พหุคูณ แบบทามเย็น ได้ผลแสดงในตารางผนวกที่ 23ค พぶว่า

- ระยะเวลาสัมผัส 30, 60, และ 90 นาทีให้ค่าเฉลี่ยร้อยละการเปลี่ยนแปลงพีเอชในน้ำแตกต่างจากที่ระยะเวลาสัมผัส 150 นาที
- ระยะเวลาสัมผัส 120, 150, และ 180 นาทีให้ค่าเฉลี่ยร้อยละการเปลี่ยนแปลงพีเอชในน้ำไม่แตกต่าง

ผลการทดลองสูงกว่าการใช้ข้าวไฟฟ้าเหล็ก ในกระบวนการบำบัดน้ำเสียสีเบสิก ระยะเวลาสัมผัสมีผลต่อการเปลี่ยนแปลงพีเอชของน้ำเสีย อย่างมีนัยสำคัญ ( $P<0.05$ ) โดยระยะเวลาสัมผัสเพิ่มขึ้น ทำให้พีเอชของน้ำเสียเพิ่ม

มากขึ้น ที่เวลา 150 นาที มีค่าเฉลี่ยร้อยละการเปลี่ยนแปลงพีเอชของน้ำเสียสูงสุด คือร้อยละ 30.67 อย่างไรก็ตาม สามารถสรุปได้ว่า เมื่อเพิ่มระยะเวลาสัมผสานขึ้นถึงระดับหนึ่ง การเปลี่ยนแปลงพีเอชจะเริ่มคงที่ เนื่องจากผลการทดสอบด้วยค่าสถิติ F-test พบว่า ระยะเวลาสัมผัส 120, 150 และ 180 นาที ให้ค่าเฉลี่ยร้อยละการเปลี่ยนแปลงพีเอชของน้ำไม่แตกต่างกัน

#### (2.3) ผลของระยะเวลาสัมผัสดต่อประสิทธิภาพการกำจัดของแข็งละลายน้ำ

ผลการทดสอบด้วยค่าสถิติ F-test โดยวิธีวิเคราะห์ความแปรปรวน ที่ระดับนัยสำคัญ 0.05 พบว่า มีระยะเวลาสัมผัสดอย่างน้อย 2 ค่าที่ทำให้ค่าเฉลี่ยการกำจัดของแข็งละลายน้ำต่างกัน และเมื่อทดสอบต่อเนื่องการจับคู่พหุคุณแบบทามเย็น ได้ผลแสดงในตารางผนวกที่ 24 พบว่า

- ระยะเวลาสัมผัส 60 นาที ให้ค่าเฉลี่ยการกำจัดของแข็งละลายน้ำ แตกต่างจากระยะเวลาสัมผัส 120, 150, และ 180 นาที

ผลการทดลองสรุปว่าการใช้ข้าวไฟฟ้าเหล็ก ในการบำบัดน้ำเสียสีเบสิก ระยะเวลาสัมผัสมีผลต่อประสิทธิภาพการกำจัดของแข็งละลายน้ำ อย่างมีนัยสำคัญ ( $P<0.05$ ) โดยระยะเวลาสัมผัสเพิ่มขึ้น ทำให้ประสิทธิภาพการกำจัดสูงมากขึ้น ที่ระยะเวลาสัมผัส 180 นาที มีประสิทธิภาพสูงสุด คือร้อยละ 13.22

#### (2.4) ผลของระยะเวลาสัมผัสดต่อประสิทธิภาพการกำจัดความชุ่น

ผลการทดสอบด้วยค่าสถิติ F-test โดยวิธีวิเคราะห์ความแปรปรวน ที่ระดับนัยสำคัญ 0.05 พบว่า มีระยะเวลาสัมผัสดอย่างน้อย 2 ค่า ที่ทำให้ค่าเฉลี่ยการกำจัดความชุ่นในน้ำต่างกัน และเมื่อทดสอบต่อเนื่องด้วยการจับคู่พหุคุณแบบทามเย็น ได้ผลแสดงในตารางผนวกที่ 25 พบว่า

- ระยะเวลาสัมผัส 30 นาที มีค่าเฉลี่ยการกำจัดความชุ่นแตกต่าง จากระยะเวลาสัมผัส 90, 120 และ 150 นาที
- ระยะเวลาสัมผัส 60 นาที มีค่าเฉลี่ยการกำจัดความชุ่นแตกต่าง จากระยะเวลาสัมผัส 120 และ 150 นาที
- ระยะเวลาสัมผัส 180 นาที มีค่าเฉลี่ยการกำจัดความชุ่นไม่แตกต่าง จากระยะเวลาสัมผัส 30, 60, 90 และ 120 นาที

ผลการทดลองสรุปว่าการใช้ข้าวไฟฟ้าเหล็ก ในการบำบัดน้ำเสียสีเบสิก ระยะเวลาสัมผัสมีผลต่อประสิทธิภาพการกำจัดความชุ่น อย่างมีนัยสำคัญ ( $P<0.05$ ) โดยระยะเวลาสัมผัสเพิ่มขึ้น ทำให้ประสิทธิภาพการกำจัดความชุ่นมากขึ้น ที่ระยะเวลาสัมผัส 150 นาที มีประสิทธิภาพสูงสุด คือร้อยละ 20.75 และที่ระยะเวลาสัมผัสมากกว่า 150 นาที ประสิทธิภาพการกำจัดความชุ่นเริ่มลดลง เนื่องจากผลทดสอบทางสถิติพบว่าเมื่อให้ระยะเวลาสัมผัส 180 นาที มีค่าเฉลี่ยการกำจัดความชุ่นไม่แตกต่าง จากที่ระยะเวลาสัมผัส 30, 60, 90 และ 120 นาที

### (3) ผลการเพิ่มขนาดของข้าวไฟฟ้า

นำน้ำเสียจากการย้อมเส้นด้ายอะคริลิกด้วยสีเบสิก ปริมาตร 4 ลิตร บำบัดด้วยวิธีไฟฟ้าเคมี ให้ค่าศักย์ไฟฟ้า 25 โวลต์ ระยะเวลาสัมผัส 120 นาที แปรผันขนาดของข้าวไฟฟ้าเหล็ก 2 ขนาด ดังนี้  $3 \times 12.5 \times 0.6$  เซนติเมตร และ  $6 \times 12.5 \times 0.6$  เซนติเมตร เก็บตัวอย่าง วัดค่าการดูดกลืนแสง ค่าพีอีช ค่าความนำไฟฟ้า ค่าความชุ่น ทดลองขึ้น 3 ครั้ง ได้ผลแสดงในตารางผนวกที่ 4x - 7x .

นำค่าการดูดกลืนแสงของน้ำ ค่าพีอีช ค่าความนำไฟฟ้า และค่าความชุ่น มาวิเคราะห์ร้อยละการกำจัดสี ร้อยละการเปลี่ยนแปลงพีอีช ร้อยละการกำจัดของแข็งละลายน้ำ และร้อยละการกำจัดความชุ่น ได้ผลแสดงในตารางที่ 4.1.17

**ตารางที่ 4.1.17 ประสิทธิภาพของการบำบัดน้ำเสียสีเบสิก โดยใช้ข้าวไฟฟ้าเหล็กที่มีขนาดต่างกัน ค่าศักย์ไฟฟ้า 25 โวลต์ ระยะเวลาสัมผัส 120 นาที เพิ่มขึ้น 2 เท่า**

ครั้งที่ทดลอง	ขนาดข้าวไฟฟ้า (cm)	การกำจัดสี (%)	การเปลี่ยนแปลงพีอีชของน้ำเสีย (%)	การลดลงของปริมาณของแข็งละลายน้ำ (%)	การลดลงของปริมาณความชุ่น (%)
1	$3 \times 12.5$	68.33	-14.24	1.364	19.06
2	$3 \times 12.5$	71.56	-20.09	1.209	20.44
3	$3 \times 12.5$	69.86	-18.88	1.605	18.94
1	$6 \times 12.5$	13.52	-4.63	2.294	2.03
2	$6 \times 12.5$	27.81	-3.37	-13.442	5.84
3	$6 \times 12.5$	17.73	-3.24	-6.912	5.43

ข้อมูลจากตารางที่ 4.1.17 นำมาวิเคราะห์ค่าสถิติ t test เพื่อทดสอบว่าขนาดของข้าวไฟฟ้าต่างกัน ทำให้ค่าเฉลี่ยร้อยละของการกำจัดสีของน้ำ ค่าเฉลี่ยร้อยละการเปลี่ยนแปลงพีอีชของน้ำ และ ค่าเฉลี่ยร้อยละของการลดปริมาณของแข็งละลายน้ำต่างกันหรือไม่ ได้ผลดังแสดงในตารางที่ 4.1.18

**ตารางที่ 4.1.18 การทดสอบค่าเฉลี่ยร้อยละของการกำจัดสีของน้ำ การเปลี่ยนแปลงพีอีช การกำจัดของแข็งละลายน้ำและการกำจัดความชุ่น ด้วยศักย์ไฟฟ้า 25 โวลต์ ระยะเวลาสัมผัส 120 นาที โดยใช้ขนาดข้าวไฟฟ้าต่างกัน**

ขนาด(cm)	N	ร้อยละการกำจัดสี			ร้อยละการเปลี่ยนแปลงพีอีช			ร้อยละการกำจัดของแข็งละลายน้ำ			ร้อยละการกำจัดความชุ่น		
		Mean	SD.	t	Mean	SD.	t	Mean	SD.	t	Mean	SD.	t
$3 \times 12.5 \times 0.6$	3	69.92	1.62	11.57*	-17.74	3.09	-7.61*	1.39	0.20	1.62	19.48	0.83	11.58*
$6 \times 12.5 \times 0.6$	3	19.69	7.34		-3.75	0.77		-6.02	7.91		4.43	2.01	

\*มีนัยสำคัญทางสถิติที่ระดับ 0.05 ( $P < 0.05$ )

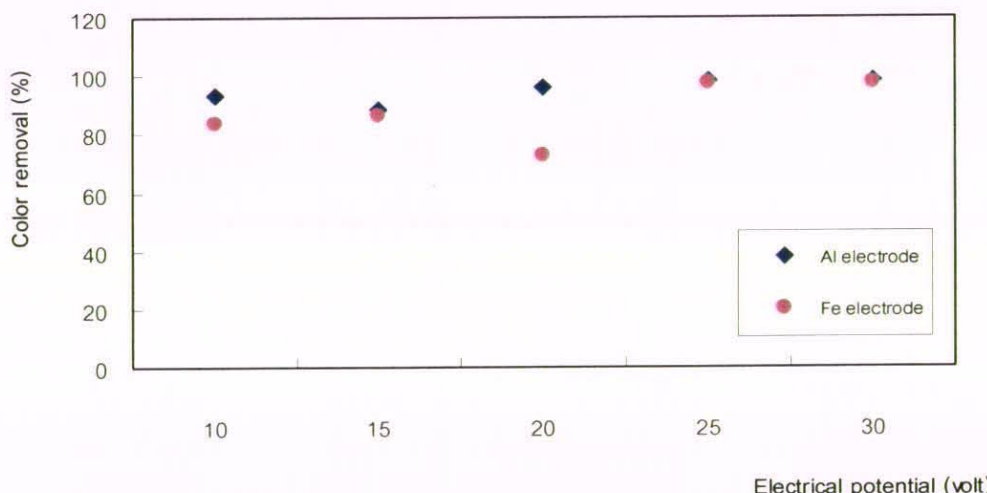
ผลการทดสอบค่าสถิติที่ (t test) แบบ 2 กลุ่มตัวอย่างที่เป็นอิสระต่อกัน ที่ระดับนัยสำคัญ 0.05 พบว่า เมื่อใช้ข้าวไฟฟ้าที่มีขนาดต่างกัน ทำให้ค่าเฉลี่ยร้อยละการกำจัดสี การเปลี่ยนแปลงพีเอช และการกำจัดความชื้น แตกต่างกันอย่างมีนัยสำคัญ ยกเว้นการกำจัดของเชิงละลายน้ำไม่แตกต่างกัน โดยในกรณีของการใช้ข้าวไฟฟ้า เหล็ก บำบัดน้ำเสียสีเบสิก พบร่วมกับค่าศักย์ไฟฟ้าและระยะเวลาสัมผัสเท่ากัน เมื่อเพิ่มขนาดพื้นที่ผิวของข้าวไฟฟ้า มากขึ้น ทำให้ประสิทธิภาพการกำจัดสี การกำจัดของเชิงละลายน้ำ และการกำจัดความชื้นลดลง

## 4.2 ผลการศึกษาประสิทธิภาพการบำบัดน้ำเสียจากกระบวนการฟอกย้อมด้วยวิธีไฟฟ้าเคมี

### 4.2.1 ประสิทธิภาพการบำบัดน้ำเสียสีรีแอดค์ทีฟด้วยวิธีไฟฟ้าเคมี

#### (1) ประสิทธิภาพการกำจัดสีรีแอดค์ทีฟ

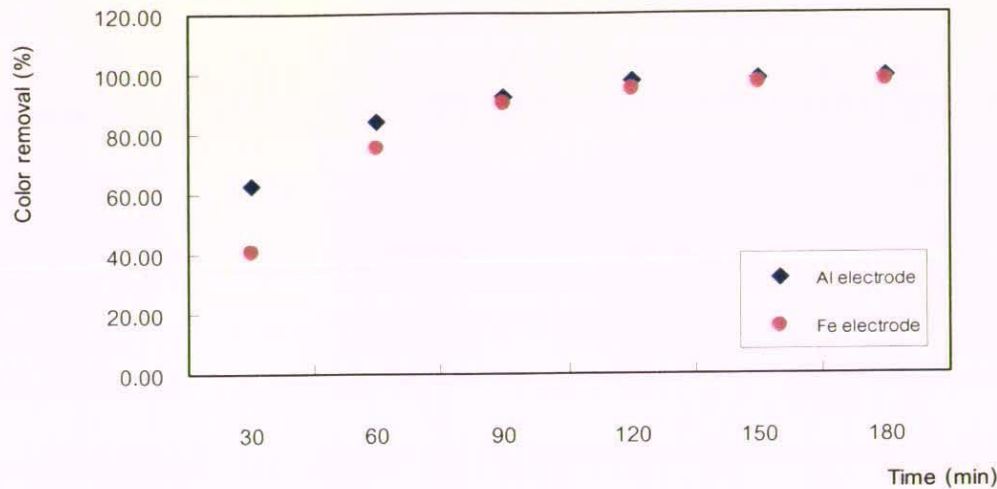
นำน้ำเสียสีรีแอดค์ทีฟบำบัดด้วยวิธีไฟฟ้าเคมี โดยแปรผันค่าศักย์ไฟฟ้า และชนิดของข้าวไฟฟ้า โดยให้ระยะเวลาสัมผัส 180 นาที วัดค่าการดูดกลืนแสงก่อนและหลังการทดลอง ได้ผลการทดลองแสดงในรูปที่ 4.2.1



รูปที่ 4.2.1 เปรียบเทียบประสิทธิภาพการกำจัดสีรีแอดค์ทีฟระหว่างข้าวไฟฟ้าอะลูминิเนียม กับข้าวไฟฟ้าเหล็ก ที่ระยะเวลาสัมผัสเท่ากัน ค่าศักย์ไฟฟ้าต่างกัน

ผลการทดลองจาก รูปที่ 4.2.1 แสดงว่าการบำบัดน้ำเสียสีรีแอดค์ทีฟ สิน้ำเงินด้วยระบบไฟฟ้าเคมี สามารถ กำจัดสีรีแอดค์ทีฟ ข้าวไฟฟ้าอะลูминิเนียม จะมีประสิทธิภาพในการกำจัดสีรีแอดค์ทีฟ ได้ดีกว่าข้าวไฟฟ้าเหล็ก ในทุกค่า ความต่างศักย์ พบร่วมกับค่าศักย์ไฟฟ้า 30 โวลต์ มีประสิทธิภาพในการกำจัดสีมากที่สุด โดยข้าวอะลูминิเนียมมี ประสิทธิภาพการกำจัดสี ร้อยละ 98.38 ส่วนข้าวเหล็กมีประสิทธิภาพกำจัดสีร้อยละ 96.05

และเมื่อพิจารณาประสิทธิภาพการกำจัดสีของข้าวไฟฟ้า ที่ความต่างศักย์เท่ากันคือ 30 โวลต์ ในแต่ละ ช่วงเวลาสัมผัส ได้ผลการทดลองแสดงในรูปที่ 4.2.2-4.2.4



รูปที่ 4.2.2 เปรียบเทียบประสิทธิภาพการกำจัดสีรีแอดค์ที่ระหว่างข้าวไฟฟ้าอะลูมิเนียม กับข้าวไฟฟ้าเหล็ก ที่ค่าศักย์ไฟฟ้า 30 โวลต์ ระยะเวลาสัมผัสต่างกัน



รูปที่ 4.2.3 ประสิทธิภาพการบำบัดน้ำเสียสีรีแอดค์ที่ฟด้วยข้าวไฟฟ้าอะลูมิเนียม 30 โวลต์ ระยะเวลาสัมผัสต่างกัน

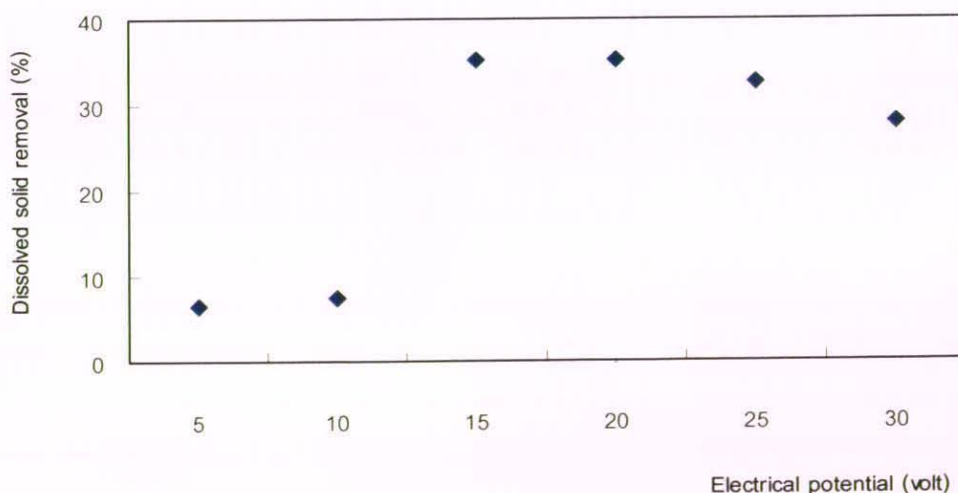


รูปที่ 4.2.4 ประสิทธิภาพการบำบัดน้ำเสียสีแอกทีฟด้วยขั้วไฟฟ้าเหล็ก 30 โวลต์ ที่ระยะเวลาสัมผัสต่างกัน

ผลการทดลองจากรูปที่ 4.2.2 – 4.2.4 พบว่าเมื่อให้ค่าศักย์ไฟฟ้าเท่ากัน ขั้วไฟฟ้าอะลูминเนียมมีประสิทธิภาพการกำจัดสีแอกทีฟ ดีกว่าขั้วไฟฟ้าเหล็ก ในทุกช่วงระยะเวลาสัมผัส

#### (2) ประสิทธิภาพการกำจัดของแข็งละลายน้ำ

นำน้ำเสียสีแอกทีฟบำบัดโดยวิธีไฟฟ้าเคมี ด้วยขั้วไฟฟ้าอะลูминเนียม แปรผันค่าศักย์ไฟฟ้า ระยะเวลาสัมผัส 180 นาที วัดค่าความนำไฟฟ้าก่อนและหลังการทดลอง ได้ผลการทดลองแสดงในรูปที่ 4.2.5



รูปที่ 4.2.5 เปรียบเทียบประสิทธิภาพการกำจัดของแข็งละลายน้ำในน้ำเสียสีแอกทีฟ ด้วยขั้วไฟฟ้าอะลูминเนียม ที่ระยะเวลาสัมผัสเท่ากัน ค่าศักย์ไฟฟ้าต่างกัน

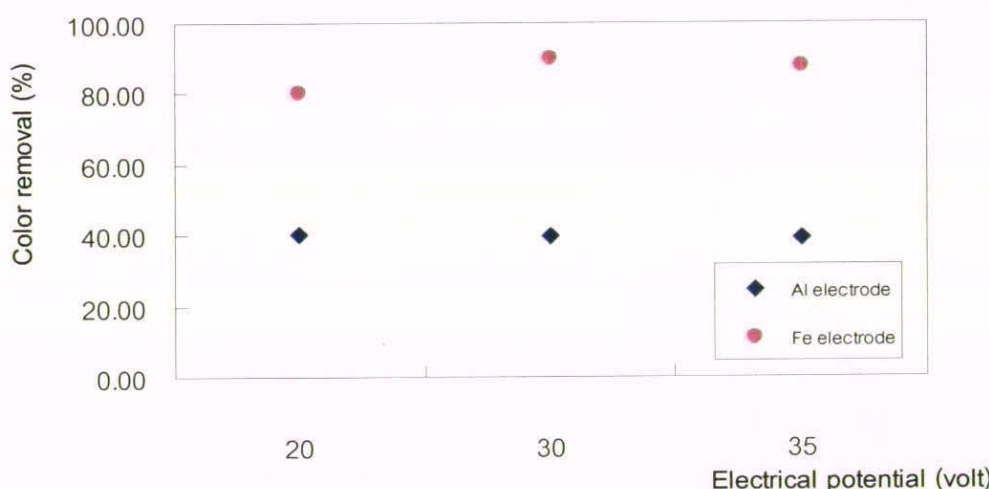
ผลการทดลองจาก รูปที่ 4.2.5 แสดงว่าการนำบัดน้ำเสียสีรีแอดทีฟ โดยระบบไฟฟ้าเคมี ด้วยข้าไฟฟ้า อะลูมิเนียม สามารถกำจัดของแข็งละลายน้ำได้ ที่ค่าศักย์ไฟฟ้า 20 โวลต์ มีประสิทธิภาพการกำจัดของแข็งละลายน้ำได้สูงที่สุด คือ ร้อยละ 35.18 และเมื่อให้ค่าศักย์ไฟฟ้ามากกว่า 20 โวลต์ประสิทธิภาพในการกำจัดของแข็งละลายน้ำลดลง

ดังนั้นในการนำระบบไฟฟ้าเคมีไปประยุกต์ใช้ในการนำบัดน้ำเสียรีแอดทีฟ ภาวะที่เหมาะสมคือใช้ข้าไฟฟ้าอะลูมิเนียม ให้ค่าศักย์ไฟฟ้า 20 โวลต์ นาน 180 นาที จะให้ประสิทธิภาพในการกำจัดสี ร้อยละ 96.05 ประสิทธิภาพการกำจัดของแข็งละลายน้ำร้อยละ 35.18

#### 4.2.2 ประสิทธิภาพการนำบัดน้ำเสียสีเบสิกด้วยวิธีไฟฟ้าเคมี

##### (1) ประสิทธิภาพการกำจัดสี

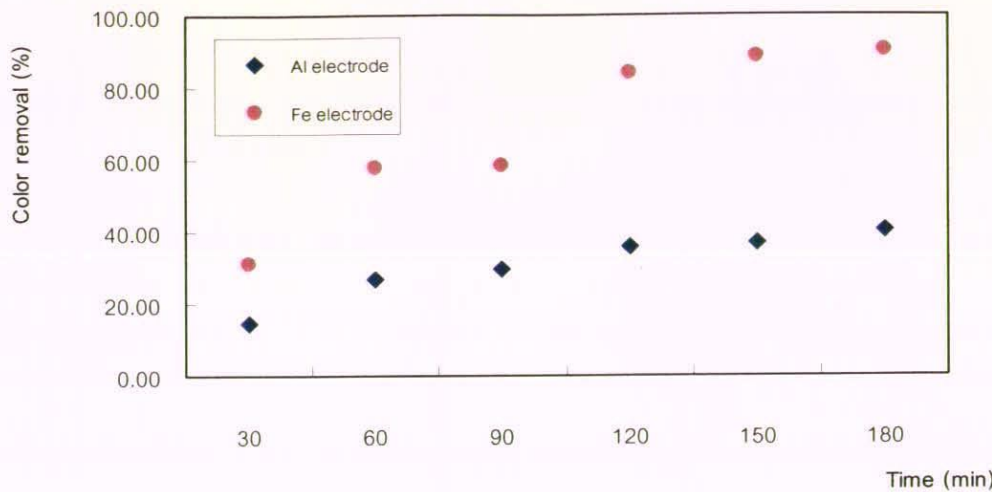
นำน้ำเสียสีเบสิกนำบัดด้วยวิธีไฟฟ้าเคมี โดยแปรผันค่าศักย์ไฟฟ้า และชนิดของข้าไฟฟ้า ระยะเวลา สัมผัส 180 นาที วัดค่าการดูดกลืนแสงก่อนและหลังการทดลอง ได้ผลการทดลองแสดงในรูปที่ 4.2.6



รูปที่ 4.2.6 เปรียบเทียบประสิทธิภาพการกำจัดสีเบสิกระหว่างข้าไฟฟ้าอะลูมิเนียม กับข้าไฟฟ้าเหล็ก ที่ระยะเวลาสัมผัสเท่ากัน

ผลการทดลองจาก รูปที่ 4.2.6 แสดงว่าการนำบัดน้ำเสียสีเบสิก ด้วยระบบไฟฟ้าเคมี สามารถกำจัดสีเบสิก โดยข้าไฟฟ้าเหล็ก จะมีประสิทธิภาพในการกำจัดสีเบสิก ได้ดีกว่าข้าไฟฟ้าอะลูมิเนียม ในทุกค่าความต่างศักย์ พนบว่าที่ค่าศักย์ไฟฟ้า 30 โวลต์ ข้าไฟฟ้าเหล็กมีประสิทธิภาพในการกำจัดสีมากที่สุด คือร้อยละ 90.08 ส่วนข้าอะลูมิเนียม มีประสิทธิภาพกำจัดสีได้ที่ 20 โวลต์ โดยมีประสิทธิภาพร้อยละ 40.40

และเมื่อพิจารณาประสิทธิภาพการกำจัดสีของข้าไฟฟ้า ที่ความต่างศักย์เท่ากันคือ 30 โวลต์ ระยะเวลา สัมผัสถ่างกัน ได้ผลการทดลองแสดงในรูปที่ 4.2.7

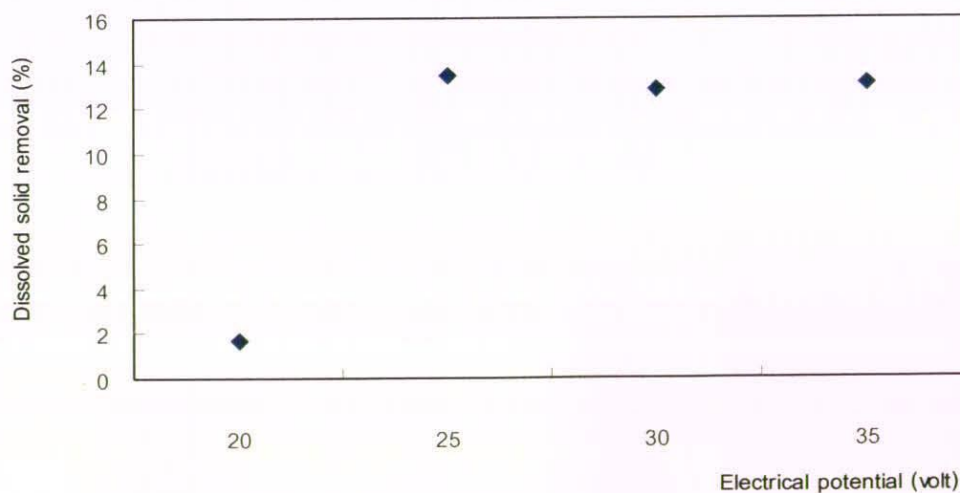


รูปที่ 4.2.7 เปรียบเทียบประสิทธิภาพการกำจัดสีเบสิกระหว่างข้าไฟฟ้าอะลูมิเนียม กับข้าไฟฟ้าเหล็ก ที่ค่าศักย์ไฟฟ้า 30 โวลต์ ระยะเวลาสัมผัสต่างกัน

ผลการทดลองจากรูปที่ 4.2.7 พบว่าที่ค่าศักย์ไฟฟ้าเท่ากัน ข้าไฟฟ้าเหล็ก มีประสิทธิภาพการกำจัดสีเบสิก ต่ำกว่าข้าไฟฟ้าอะลูมิเนียม ในทุกช่วงระยะเวลาการสัมผัสที่ต่างกัน

#### (2) ประสิทธิภาพการกำจัดของแข็งละลายน้ำ

นำน้ำเสียสีเบสิกบำบัดโดยวิธีไฟฟ้าเคมี ด้วยข้าไฟฟ้าเหล็ก แปรผันค่าศักย์ไฟฟ้า ให้ไฟฟ้าเป็นระยะเวลา 180 นาที วัดค่าความนำไฟฟ้าก่อนและหลังการทดลอง ได้ผลการทดลองแสดงในรูปที่ 4.2.8

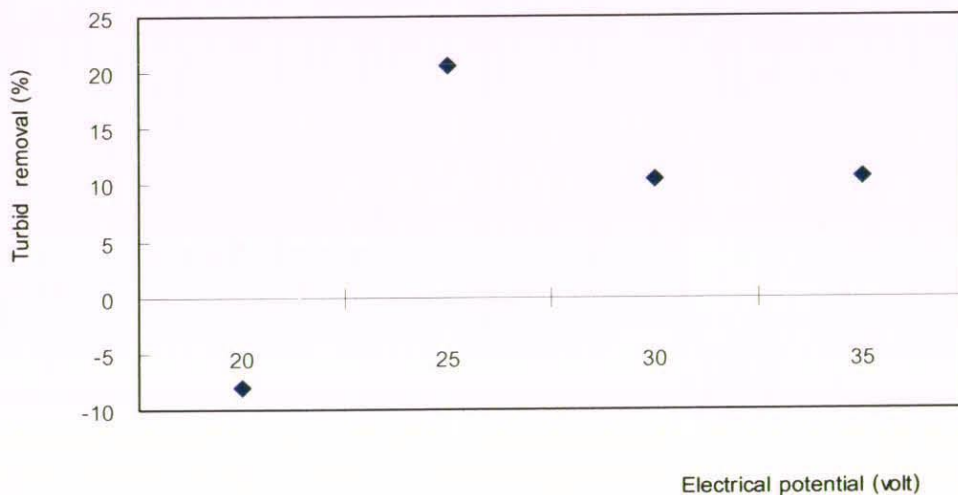


รูปที่ 4.2.8 เปรียบเทียบประสิทธิภาพการกำจัดของแข็งละลายน้ำในน้ำเสียสีเบสิกด้วย ข้าไฟฟ้าเหล็ก ที่ระยะเวลาสัมผัสเท่ากัน ค่าศักย์ไฟฟ้าต่างกัน

ผลการทดลองจาก รูปที่ 4.2.8 แสดงว่าการบำบัดน้ำเสียสีเบสิก โดยระบบไฟฟ้าเคมี ด้วยขั้วไฟฟ้าเหล็ก สามารถกำจัดของแข็งละลายน้ำได้ ที่ค่าศักย์ไฟฟ้า 25 โวลต์ มีประสิทธิภาพการกำจัดของแข็งละลายน้ำได้สูงที่สุด คือ ร้อยละ 13.42 และเมื่อให้ค่าศักย์ไฟฟ้ามากกว่า 25 โวลต์ประสิทธิภาพในการกำจัดของแข็งละลายน้ำลดลง

### (3) ประสิทธิภาพการกำจัดความชุ่น

นำน้ำเสียสีเบสิกบำบัดโดยวิธีไฟฟ้าเคมี ด้วยขั้วไฟฟ้าเหล็ก แปรผันค่าศักย์ไฟฟ้า เป็นระยะเวลาสัมผัส 180 นาที วัดค่าความชุ่นก่อนและหลังการทดลอง ได้ผลการทดลองแสดงในรูปที่ 4.2.9



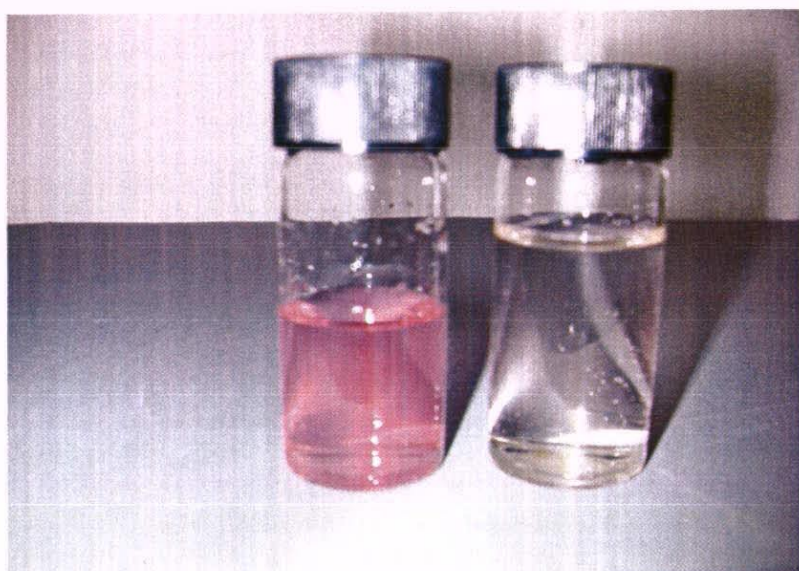
รูปที่ 4.2.9 เปรียบเทียบประสิทธิภาพการกำจัดความชุ่นในน้ำเสียสีเบสิกด้วย ขั้วไฟฟ้าเหล็ก ระยะเวลาสัมผัสเท่ากัน ค่าศักย์ไฟฟ้าต่างกัน

ผลการทดลองจาก รูปที่ 4.2.9 แสดงว่าการบำบัดน้ำเสียสีเบสิก โดยระบบไฟฟ้าเคมี ด้วยขั้วไฟฟ้าเหล็ก สามารถกำจัดความชุ่นได้ ที่ค่าศักย์ไฟฟ้า 25 โวลต์ มีประสิทธิภาพการกำจัดของแข็งละลายน้ำได้สูงที่สุด คือ ร้อยละ 20.61 และเมื่อให้ค่าศักย์ไฟฟ้ามากกว่า 25 โวลต์ประสิทธิภาพในการกำจัดของแข็งละลายน้ำลดลง

ดังนั้นในการนำระบบไฟฟ้าเคมีไปประยุกต์ใช้ในการบำบัดน้ำเสียสีเบสิก ภาวะที่เหมาะสมคือใช้ขั้วไฟฟ้าเหล็ก ให้ค่าศักย์ไฟฟ้า 25 โวลต์ ระยะเวลาสัมผัส 180 นาที จะให้ประสิทธิภาพในการกำจัดสี ร้อยละ 85.61 ประสิทธิภาพการกำจัดของแข็งละลายน้ำร้อยละ 30.67 และประสิทธิภาพการกำจัดความชุ่นร้อยละ 20.61 และ เมื่อเปรียบเทียบคุณภาพน้ำที่บำบัดโดยใช้การทดลองตามด้วยไฟฟ้าเคมีจากการทดลอง และคุณภาพน้ำที่บำบัดของโรงงงาน ได้ผลการเปรียบเทียบดังแสดงในตารางที่ 4.2.1 และรูปที่ 4.2.10 – 4.2.11

ตารางที่ 4.2.1 เปรียบเทียบคุณภาพน้ำหลังการด้วยระบบไฟฟ้าเคมี และระบบบำบัดน้ำเสียของโรงงาน

ประเภทของ ระบบบำบัด	ค่าพิเศษ			ประสิทธิภาพการกำจัด (%)			
	ก่อน	หลัง	สี	ของแข็ง ละลายน้ำ	ของแข็ง แขวนลอย	ความชุ่น	ซีโอดี
	บำบัด	บำบัด					
ระบบไฟฟ้าเคมี	6.70	9.22	85.61	30.67	66.67	20.61	79.51
ระบบของโรงงาน	6.70	7.97	69.39	-20.45	61.27	20.08	77.88



รูปที่ 4.2.10 น้ำเสียเบสิก ก่อนและหลังการบำบัดโดยไฟฟ้าเคมี ด้วยข้าวไฟฟ้าเหล็ก



รูปที่ 4.2.11 น้ำเสียก่อนและหลังการบำบัดโดยโรงงาน

ผลการเปรียบเทียบคุณภาพน้ำหลังการบำบัดด้วยระบบไฟฟ้าเคมี กับคุณภาพน้ำที่บำบัดด้วยระบบ  
น้ำเสียของโรงงาน ดังแสดงตารางที่ 4.2.1 และรูปที่ 4.2.10 – 4.2.11 พ布ว่าการใช้ระบบไฟฟ้าเคมี มีประสิทธิภาพ

ในการกำจัดสี ของแข็งละลายน้ำ ของแข็งแขวนลอย ความชุ่น และซีโอดี ดีกว่าคุณภาพน้ำที่บำบัดด้วยระบบบำบัดของโรงงาน ยกเว้นค่าพีเอชที่มีค่าสูงขึ้น หลังจากการบำบัดด้วยระบบไฟฟ้าเคมี

#### 4.3 ผลการศึกษาความเป็นไปได้ในการนำน้ำที่ผ่านการบำบัดด้วยกระบวนการไฟฟ้าเคมีกลับมาใช้ซ้ำในกระบวนการ

นำค่าเฉลี่ยคุณภาพหลังการบำบัดโดยระบบไฟฟ้าเคมี ด้วยขั้วไฟฟ้าเหล็ก ค่าสักย์ไฟฟ้า 25 โวลต์ ระยะเวลาสัมผัส 180 นาที ค่าเฉลี่ยคุณภาพน้ำใช้ของโรงงาน วิเคราะห์ค่าสถิติที่ (t test) เพื่อทดสอบว่า ค่าเฉลี่ยคุณภาพน้ำต่างกันหรือไม่ ได้ผลทดสอบดังแสดงในตารางที่ 4.3.1

ตารางที่ 4.3.1 การทดสอบค่าเฉลี่ยคุณภาพน้ำใช้ของโรงงาน และน้ำหลังการบำบัดด้วยไฟฟ้าเคมี

ตัวนิคุณภาพน้ำ	ประเภทของน้ำ	mean	SD	t
สี	น้ำใช้ของโรงงาน	0.004	0.001	-5.715*
	น้ำหลังการบำบัดด้วยไฟฟ้าเคมี	0.042	0.011	
พีเอช	น้ำใช้ของโรงงาน	7.63	0.28	-5.657*
	น้ำหลังการบำบัดด้วยไฟฟ้าเคมี	9.22	0.40	
ความนำไฟฟ้า	น้ำใช้ของโรงงาน	452.00	6.93	-5.042*
	น้ำหลังการบำบัดด้วยไฟฟ้าเคมี	544.67	31.07	
ความชุ่น	น้ำใช้ของโรงงาน	0.29	0.06	-118.453*
	น้ำหลังการบำบัดด้วยไฟฟ้าเคมี	5.30	0.04	
ของแข็งแขวนลอย	น้ำใช้ของโรงงาน	0.03	0.02	-13.653*
	น้ำหลังการบำบัดด้วยไฟฟ้าเคมี	0.68	0.08	
ความกระด้าง	น้ำใช้ของโรงงาน	82.48	2.00	0.00
	น้ำหลังการบำบัดด้วยไฟฟ้าเคมี	82.48	2.00	

\*มีนัยสำคัญทางสถิติที่ระดับ 0.05 ( $P < 0.05$ )



รูปที่ 4.3.1 น้ำใช้ของโรงงาน และน้ำหลังการบำบัดโดยไฟฟ้าเคมี ด้วยขั้วไฟฟ้าเหล็ก

ผลการทดสอบความแตกต่างของคุณภาพน้ำใช้ของโรงงาน และน้ำหลังการบำบัดด้วยระบบไฟฟ้าเคมี ด้วยค่าสถิติที่ โดยวิธีเคราะห์ความแปรปรวน ที่ระดับนัยสำคัญ 0.05 พบว่าน้ำใช้ในกระบวนการผลิตของโรงงาน มีคุณภาพ ดีกว่าน้ำเสียที่ผ่านกระบวนการบำบัดด้วยวิธีไฟฟ้าเคมี ในทุกด้าน ยกเว้นค่าความกระด้างของน้ำที่มีคุณภาพไม่แตกต่างกัน ดังนั้นน้ำที่ผ่านกระบวนการบำบัดด้วยวิธีไฟฟ้าเคมี ยังไม่สามารถนำไปใช้ช้ำในกระบวนการผลิตได้ แต่อาจจะนำไปใช้ได้หากนำน้ำไปผ่านกระบวนการกรอง เพื่อกำจัดความชุ่น และปริมาณของแข็งข่วนโดย

## บทที่ 5

### สรุปผลการทดลอง

#### 5.1 ปัจจัยที่มีผลต่อประสิทธิภาพการบำบัดน้ำเสียด้วยวิธีไฟฟ้าเคมี

การใช้ระบบไฟฟ้าเคมีในการบำบัดน้ำเสียจากการฟอกย้อม ด้วยข้าวไฟฟ้าอะลูมิเนียม และข้าวไฟฟ้าเหล็ก สามารถกำจัดสี ความชุน ของแข็งละลายน้ำ และค่าซีโอดีของน้ำเสียจากการฟอกย้อมได้ โดยอาศัยหลักการเดียวกับกระบวนการกรดแอกกูเลชัน ในการทำลายเสถียรภาพของคลออลอยด์ แต่ใช้สารกรดแอกกูแลนต์ในรูปไอออนของโลหะที่เกิดจากการละลายของโลหะออกจากข้าวไฟฟ้า ด้วยปฏิกิริยาเคมีไฟฟ้าที่ข้าวบวก (anode) และมลสารต่างๆ ในน้ำถูกกำจัดได้ด้วยเกลือไฮดรอกไซด์ของโลหะที่ไม่ละลายน้ำที่เกิดจากการทำปฏิกิริยาต่อเนื่องของไอออนโลหะในน้ำ และนอกจากนี้แก๊สไออกไซด์เจนที่เกิดขึ้นที่ข้าวลบ (cathode) จะช่วยทำให้คลออลอยด์รวมตัวเป็นตะกรอนลดลงตัวขึ้น และสามารถกำจัดออกโดยการกรัดทิ้งจากผิวน้ำ โดยมีปัจจัยต่างๆ ที่มีผลต่อกระบวนการไฟฟ้าเคมี ดังนี้

##### (1) ชนิดของข้าวไฟฟ้า

###### ข้าวไฟฟ้าต่างกันมีผลต่อประสิทธิภาพในการกำจัดสีต่างกัน

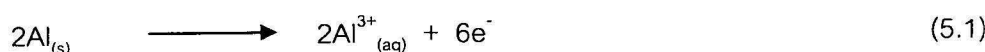
- การกำจัดสีรีแอคทีฟ ข้าวไฟฟ้าอะลูมิเนียมจะมีประสิทธิภาพในการกำจัดสีสูงกว่าข้าวไฟฟ้าเหล็ก
- การกำจัดสีเบสิก ข้าวไฟฟ้าเหล็กมีประสิทธิภาพในการกำจัดสีสูงกว่าข้าวไฟฟ้าอะลูมิเนียม

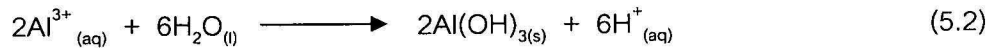
แสดงว่าลักษณะของน้ำเสียต่างกัน การใช้ข้าวไฟฟ้าในการบำบัดน้ำเสียต่างกัน สอดคล้องกับรายงานของ Kim,T.H., Park,C., and Shin.E.B.(2002) ซึ่งศึกษาการกำจัดสีดิสเพอร์ส และสีรีแอคทีฟด้วยกระบวนการไฟฟ้าเคมี รายงานว่ากระบวนการไฟฟ้าเคมีเป็นกระบวนการที่สามารถกำจัดสีได้อย่างมีประสิทธิภาพ และประสิทธิภาพในการบำบัดขึ้นกับชนิดของสีย้อม และรายงานของ Fatih.L., et al. (2007) ศึกษาการบำบัดน้ำเสียจากน้ำทะเลโดยกระบวนการไฟฟ้าเคมีด้วยข้าวเหล็ก และข้าวอะลูมิเนียม ผลการศึกษาพบว่าชนิดของข้าวไฟฟ้ามีผลต่อประสิทธิภาพของระบบ โดยการบำบัดน้ำทะเล ข้าวไฟฟ้าอะลูมิเนียมมีประสิทธิภาพในการซีโอดี (ร้อยละ 56) สูงกว่าข้าวไฟฟ้าเหล็ก (ร้อยละ 35)

จากการที่ข้าวไฟฟ้าต่างกัน มีผลต่อประสิทธิภาพในการบำบัดน้ำเสียแต่ละชนิดแตกต่างกัน เนื่องจากกลไกในการเกิดปฏิกิริยาของข้าวไฟฟ้าต่างกัน โดย Biwyk, A. (1991) อธิบายกลไกของการเกิดปฏิกิริยาของระบบได้ดังนี้

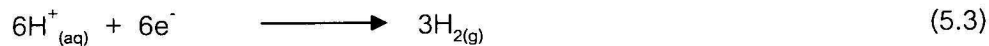
กรณีข้าวไฟฟ้าอะลูมิเนียม

###### ปฏิกิริยาที่ข้าวแอโนด

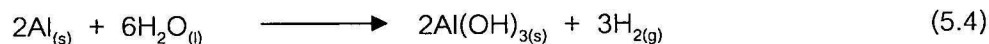




ปฏิกิริยาที่ข้าวแคโทด



ปฏิกิริยารวม



กรณีข้าวไฟฟ้าเหล็ก มี 2 กลไก ดังนี้

กลไกที่ 1

ปฏิกิริยาที่ข้าวแอนโอด



ปฏิกิริยาที่ข้าวแคโทด

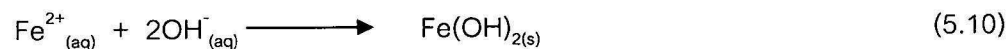
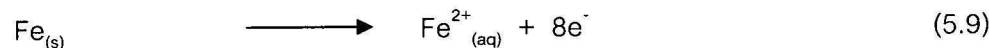


ปฏิกิริยารวม

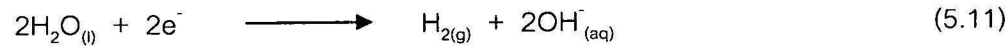


กลไกที่ 2

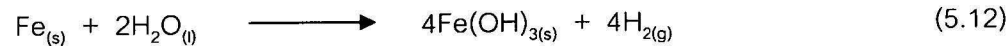
ปฏิกิริยาที่ข้าวแอนโอด



ปฏิกิริยาที่ข้าวแคโทด



ปฏิกิริยารวม

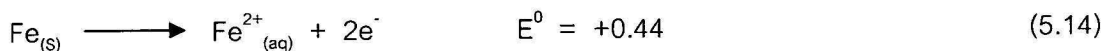
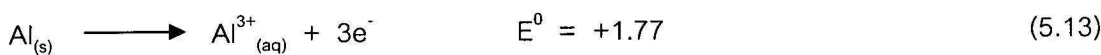


## (2) ผลของค่าศักย์ไฟฟ้า

### (2.1) ผลของค่าศักย์ไฟฟ้าต่อประสิทธิภาพการกำจัดสี

ค่าศักย์ไฟฟ้าไม่มีผลต่อประสิทธิภาพการกำจัดสีเบสิก กล่าวคือเมื่อเพิ่มค่าศักย์ไฟฟ้าให้กับน้ำเสีย ประสิทธิภาพในการกำจัดสีเบสิกจะใกล้เคียงกัน แต่มีผลต่อประสิทธิภาพการกำจัดสีรีแอกทีฟ อย่างมีนัยสำคัญ ( $P<0.05$ ) โดยประสิทธิภาพในการกำจัดสีรีแอกทีฟเพิ่มขึ้น เมื่อเพิ่มค่าศักย์ไฟฟ้า ค่าศักย์ไฟฟ้าเมื่อเพิ่มขึ้นจนถึงระดับหนึ่ง ประสิทธิภาพในการกำจัดสีรีแอกทีฟจะเริ่มคงที่

ในกรณีนี้อาจเป็นไปได้ว่ากลไกในการกำจัดสีเบสิก และสีรีแอกทีฟต่างกัน ซึ่งกลไกในการเกิดปฏิกิริยา นอกจากการเกิดตะกอนของเหล็กไฮดรอกไซด์ และอะลูมิเนียมไฮดรอกไซด์ ซึ่งทำหน้าที่เป็นสารก่อการจับก้อน หรือเรียกว่าสารโคเอกูแลนต์ (coagulant) อาจมีกลไกของการเกิดปฏิกิริยาออกซิเดชันร่วมด้วย เนื่องจากเมื่อพิจารณาค่าศักย์ไฟฟ้าครึ่งเซลล์ของขั้วไฟฟ้าเหล็ก และอะลูมิเนียม ดังแสดงในสมการที่ 5.13 – 5.14



โดยในการกำจัดสีเบสิก กลไกในการกำจัดสีเป็นกลไกของปฏิกิริยาออกซิเดชัน มากกว่ากลไกการ ตกตะกอนของสีด้วยสารโคเอกูแลนต์ เนื่องจากสีเบสิกมีโครงสร้างสีเป็นประจุบวก จึงไม่น่าที่จะรวมตัวกับ  $\text{Fe}^{2+}$  และ  $\text{Fe}^{3+}$  เกิดเป็นตะกอนได้ และเนื่องจากเหล็กเป็นตัวออกซิไดส์ที่แรง จึงสามารถออกซิไดส์สีเบสิกได้ดี ดังนั้น ปริมาณของ  $\text{Fe}^{2+}$  และ  $\text{Fe}^{3+}$  ที่เพิ่มขึ้นเมื่อเพิ่มค่าศักย์ไฟฟ้าจะเพิ่มผลต่อประสิทธิภาพการกำจัดสี

ส่วนในกรณีของสีรีแอกทีฟ ซึ่งมีโครงสร้างสีเป็นประจุลบ ขั้วอะลูมิเนียมเมื่อให้กระแสไฟฟ้า จะให้ อิเล็กตรอน 3 อิเล็กตรอน เกิดเป็น  $\text{Al}^{3+}$  เมื่อยู ในน้ำ  $\text{Al}^{3+}$  จะทำปฏิกิริยาร่วมตัวกับสีรีแอกทีฟ ซึ่งเป็นสารอินทรีย์ เป็นสารประกอบเชิงช้อน สารประกอบเชิงช้อนที่เกิดขึ้นไม่ล่ำลายน้ำ จะลอยสูญน้ำเสียโดยการลอยตัว (flootation) เกิดจากการพยุงโดยฟองแก๊ส และบางส่วนจะจมลง (precipitation) การเพิ่มค่าศักย์ไฟฟ้า ทำให้ปริมาณของ โลหะที่ขั้วไฟฟ้าหลุดออกมากขึ้น ทำให้เกิดสารโคเอกูแลนต์ กล่าวคือค่าศักย์ไฟฟ้าที่จ่ายให้กับระบบ เป็น ตัวกำหนดปริมาณไอออน ของ  $\text{Al}^{3+}$  ที่ปล่อยออกจากขั้วไฟฟ้า เมื่อมีสารนี้ในระบบมากขึ้น ก็สามารถทำปฏิกิริยา กับสีรีแอกทีฟมากขึ้น ในกรณีนี้สอดคล้องกับรายงานของ Kashefialasl, M., et al. (2006) ซึ่งรายงานว่าเมื่อเพิ่ม ความหนาแน่นกระแสไฟฟ้าจาก 32 ถึง  $127.8 \text{ A/m}^2$  ที่ระยะเวลาสัมผัส 6 นาที ประสิทธิภาพในการกำจัดสี มีค่าเพิ่มขึ้นจากร้อยละ 21 เป็นร้อยละ 83.5 จากความเข้มข้นสีเริ่มต้น  $50 \text{ mg/l}$

### (2.2) ผลของค่าศักย์ไฟฟ้าต่อค่าพีเอช

ค่าศักย์ไฟฟ้ามีผลต่อ ค่าพีเอชของน้ำอย่างมีนัยสำคัญ ( $P<0.05$ ) โดยน้ำมีค่าพีเอชสูงขึ้นเมื่อเพิ่มค่า ศักย์ไฟฟ้า เป็นผลจากการผ่านกระแสไฟฟ้าให้กับระบบ ทำให้เกิดปฏิกิริยาเคมีในการรับอิเล็กตรอนที่ขั้วแคโทด เนื่องจากมีการถ่ายเทอิเล็กตรอนของขั้วแคโทดอันเกิดจากการจ่ายกระแสไฟฟ้า กล่าวคือ เมื่อไயโตรเจนไอออน และโมเลกุลของน้ำมารับอิเล็กตรอน จะทำให้เกิดแก๊สไயโตรเจน และไฮดรอกไซด์ไอออน ดังแสดงในสมการที่ 5.15 – 5.16



จากสมการข้างต้น จะเห็นได้ว่าเมื่อจ่ายกระแสไฟฟ้า และนำร้อนอิเล็กตรอนแล้ว จะเกิดไฮดรอกไซด์ไอออน ทำให้พิโภชของน้ำมีค่าเพิ่มขึ้น

### (2.3) ผลของค่าศักย์ไฟฟ้า ต่อปริมาณของแข็งละลายน้ำ และความชุ่น

ค่าศักย์ไฟฟ้ามีผลต่อ ปริมาณของแข็งละลายน้ำ และค่าความชุ่นของน้ำ อย่างมีนัยสำคัญ ( $P < 0.05$ ) โดยประสิทธิภาพการกำจัดของแข็งละลายน้ำ และความชุ่น เพิ่มขึ้น เมื่อเพิ่มค่าศักย์ไฟฟ้า ค่าศักย์ไฟฟ้าเมื่อเพิ่มจนถึงระดับหนึ่งประสิทธิภาพในการบำบัดจะคงที่และมีแนวโน้มลดลง

การที่ค่าศักย์ไฟฟ้าเพิ่มขึ้น มีผลต่อประสิทธิภาพ การกำจัดของแข็งละลายน้ำ และการกำจัดความชุ่น เพิ่มขึ้น เนื่องจาก การเพิ่มค่าศักย์ไฟฟ้า ทำให้ปริมาณของโคละที่ข้าวไฟฟ้าหลุดออกมากขึ้น ทำให้เกิดสารโคเออกูแลนต์มากขึ้น กล่าวคือค่าศักย์ไฟฟ้าที่จ่ายให้กับระบบ เป็นตัวกำหนดปริมาณไอออน ของ  $\text{Al}^{3+}$  และ  $\text{Fe}^{2+}$  ที่ปล่อยออกจากข้าวไฟฟ้า เมื่อออยู่ในน้ำจะอยู่ในรูปของอะลูมิเนียมไฮดรอกไซด์ และเหล็กไฮดรอกไซด์ เมื่อมีสารนี้ในระบบมากขึ้น ก็สามารถทำปฏิกิริยากับสารละลายน้ำ และสารแขวนลอย จับตัวเป็นตะกรอน

เมื่อเพิ่มค่าศักย์ไฟฟ้าให้กับระบบสูงเกินไปพบว่าประสิทธิภาพของระบบเริ่มลดลง เนื่องจากการเพิ่มค่าศักย์ไฟฟ้ามากไป ทำให้เกิดการสูญเสียกระแสไฟฟ้าในการให้ความร้อนแก่น้ำ สังเกตจากน้ำมีอุณหภูมิสูงขึ้น ซึ่งทำให้ประสิทธิภาพของระบบลดลง

### (3) ผลของระยะเวลาสัมผัส

ระยะเวลาที่น้ำเสียสัมผัสถกับกระแสไฟฟ้า มีผลต่อการกำจัดสีรีแอดคิทีฟ สีเบลิก ค่าพิโภช·ปริมาณของแข็งละลายน้ำ และค่าความชุ่นของน้ำ อย่างมีนัยสำคัญ ( $P < 0.05$ ) โดยน้ำมีค่าพิโภชสูงขึ้น และประสิทธิภาพการกำจัดของแข็งละลายน้ำ และความชุ่น เพิ่มขึ้น เมื่อเพิ่มระยะเวลาสัมผัส และระยะเวลาที่น้ำเสียสัมผัสถกับกระแสไฟฟ้านานขึ้น ถึงระดับหนึ่ง ประสิทธิภาพในการบำบัดจะคงที่และมีแนวโน้มลดลง ผลคล้องกัน การศึกษาของ Chen, X., et al. (2000) พบว่าระยะเวลาสัมผัสมีค่าลดลงจาก 60 นาที เป็น 6.5 นาที เมื่อเพิ่มความหนาแน่นกระแสไฟฟ้า จาก  $12.5 \text{ A/m}^2$  เป็น  $108.9 \text{ A/m}^2$  ที่ประสิทธิภาพการกำจัดเดียวกัน

### (4) พื้นที่ผิวสัมผัส

พื้นที่ผิวสัมผัส มีผลต่อ ค่าพิโภช การกำจัดสี การกำจัดความชุ่นของน้ำอย่างมีนัยสำคัญ ( $P < 0.05$ ) โดยจากการทดลอง ที่ค่าศักย์ไฟฟ้า และระยะเวลาสัมผัสเท่ากัน พบว่าการเพิ่มพื้นที่ผิวสัมผัสทำให้ประสิทธิภาพการบำบัดของระบบลดลง ทั้งนี้เนื่องจากการเพิ่มพื้นที่ผิวทำให้ปริมาณสารโคเออกูแลนต์ในระบบเพิ่มขึ้น และกลไกของกระบวนการโดยเออกูเลชัน ปริมาณของสารเคมีเป็นตัวกำหนดประสิทธิภาพของระบบ หากปริมาณสารไม่เหมาะสม กล่าวคือมากเกินไปหรือน้อยเกินไป จะทำให้กระบวนการโดยเออกูเลชันไม่มีประสิทธิภาพ (Hammer,M.J., 1996) ดังนั้นหากเพิ่มพื้นที่ผิวสัมผัส แสดงว่าควรลดค่าศักย์ไฟฟ้า และระยะเวลาสัมผัส

## 5.2 ประสิทธิภาพการบำบัดน้ำเสียจากการฟอกย้อมด้วยวิธีไฟฟ้าเคมี

### (1) ประสิทธิภาพการบำบัดน้ำเสียสีรีแอกทีฟด้วยวิธีไฟฟ้าเคมี

ภาวะที่เหมาะสมในการบำบัดน้ำเสียสีรีแอกทีฟ (Sumifix Supra Navy Blue BF Gran) คือใช้ชั้วไฟฟ้า อะลูมิเนียม ให้ค่าศักย์ไฟฟ้า 20 โวลต์ ระยะเวลาสัมผัส 180 นาที ให้ประสิทธิภาพในการกำจัดสี ร้อยละ 96.05 ประสิทธิภาพการกำจัดของแข็งละลายน้ำร้อยละ 35.18 โดยมีประสิทธิภาพในการกำจัดสีสูงกว่าการศึกษาของ Patricia, A., et.al. 2002. ซึ่งใช้กระบวนการไฟฟ้าเคมี กำจัดสีรีแอกทีฟ (Blue 4 Dye) พบว่ามีประสิทธิภาพกำจัดสีรีแอกทีฟได้ร้อยละ 50 และกำจัดสารอินทรีย์ได้ร้อยละ 64

### (2) ประสิทธิภาพการบำบัดน้ำเสียสีเบสิกด้วยวิธีไฟฟ้าเคมี

ภาวะที่เหมาะสมในการบำบัดน้ำเสียสีเบสิก คือใช้ชั้วไฟฟ้าเหล็ก ให้ค่าศักย์ไฟฟ้า 25 โวลต์ นาน 180 นาที ให้ประสิทธิภาพในการกำจัดสี ร้อยละ 85.61 กำจัดของแข็งละลายน้ำร้อยละ 30.67 กำจัดของแข็งแขวนลอยร้อยละ 66.67 กำจัดความชุนร้อยละ 20.61 กำจัดซีโอดีร้อยละ 79.51 สอดคล้องกับการศึกษาของ Daneshava.N., Oladegaragoze,A., and Djafarzadeh,N. 2005. รายงานว่าสามารถกำจัดสีเบสิก C.I. Basic Red 46 และ C.I. Basic Blue 3 ด้วยกระบวนการไฟฟ้าเคมี ได้อย่างมีประสิทธิภาพ โดยให้ความหนาแน่นกระแสงไฟฟ้า 60-80 A/m<sup>2</sup> ระยะเวลาสัมผัส 5 นาที

### (3) เปรียบเทียบประสิทธิภาพการบำบัดน้ำเสียด้วยวิธีไฟฟ้าเคมี และการบำบัดน้ำเสียของโรงงานเจริญชัยการย้อม

โรงงานเจริญชัยการย้อม มีการบำบัดน้ำเสียด้วยสระเติมอากาศ แล้วตามด้วยการออกซิเดชันด้วยสารเคมี พบร่วมกับใช้ระบบไฟฟ้าเคมี มีประสิทธิภาพในการกำจัดสีเบสิก ของแข็งละลายน้ำ ของแข็งแขวนลอย ความชุน และซีโอดี ต่ำกว่าคุณภาพน้ำที่บำบัดด้วยระบบบำบัดของโรงงาน ยกเว้นค่าพีเอชที่มีค่าสูงขึ้น หลังจาก การบำบัดด้วยระบบไฟฟ้าเคมี โดยน้ำที่ผ่านการบำบัดจากระบบบำบัดน้ำเสียของโรงงาน มีประสิทธิภาพในการกำจัดสี ร้อยละ 69.39 กำจัดของแข็งละลายน้ำร้อยละ -20.45 กำจัดของแข็งแขวนลอยร้อยละ 61.27 กำจัดความชุนร้อยละ 20.08 กำจัดซีโอดีร้อยละ 77.78 และมีค่าพีเอชของน้ำหลังการบำบัด 7.97

## 5.3 ความเป็นไปได้ในการนำน้ำที่ผ่านการบำบัดด้วยกระบวนการไฟฟ้าเคมีกลับมาใช้ช้ำในกระบวนการ

จากการเปรียบเทียบคุณภาพน้ำใช้ในกระบวนการผลิตของโรงงาน กับน้ำที่ผ่านกระบวนการทางไฟฟ้าเคมี พบร่วมกับคุณภาพน้ำใช้ของโรงงาน และนำหลังการบำบัดด้วยระบบไฟฟ้าเคมี มีความแตกต่างกัน อย่างมีนัยสำคัญ ( $P<0.05$ ) โดยน้ำใช้ในกระบวนการผลิตมีคุณภาพ ต่ำกว่าน้ำเสียที่ผ่านการบำบัดด้วยวิธีไฟฟ้าเคมี ในทุกด้าน ยกเว้นค่าความระดับของน้ำที่มีคุณภาพไม่แตกต่างกัน ดังนั้นน้ำที่ผ่านกระบวนการบำบัดด้วยวิธีไฟฟ้าเคมี ยังไม่สามารถนำไปใช้ช้ำในกระบวนการผลิตได้เลย แต่มีความเป็นไปได้ที่จะสามารถนำน้ำกลับมาใช้ใหม่ในกระบวนการผลิต โดยเพิ่มขั้นตอนของกระบวนการกรอง เพื่อกำจัดความชุน และปริมาณของแข็งแขวนลอย แต่

อย่างไรก็ตาม ควรระวังป्रิมาณโลหะหนักที่ปนเปื้อนในน้ำด้วย เนื่องจากโลหะหนักมีผลกระทบต่อคุณภาพ สิ่งทอทั้งกระบวนการเตรียมและย้อมสิ่งทอ

#### 5.4 ข้อเสนอแนะ

- (1) ศึกษาอายุการใช้งานของข้าไฟฟ้า
- (2) ศึกษาระยะห่างระหว่างข้าไฟฟ้าที่เหมาะสม
- (3) ศึกษาสมบัติของน้ำเสียจากการบำบัดด้วยกระบวนการไฟฟ้า แล้วตามด้วยกระบวนการกรอง
- (4) เปรียบเทียบประสิทธิภาพและค่าใช้จ่ายในการบำบัดน้ำเสียสิ่งทอระหว่างการตกรตะกอนด้วยสารเคมี และการตกรตะกอนด้วยไฟฟ้าเคมี

## เอกสารอ้างอิง

กรมโรงงานอุตสาหกรรม. 2542. คู่มือการจัดการสิ่งแวดล้อมอุตสาหกรรมฟอกย้อม. สำนักงานเทคโนโลยีสิ่งแวดล้อมโรงงาน.

เกษม พิพัฒน์ปัญญาณกุล. 2537. การควบคุมคุณภาพงานเตรียมสิ่งทอเพื่อการย้อม พิมพ์. กรุงเทพฯ : ประชาชน.

ณรงค์ วุทธิเดชีร. 2540. การปรับสภาพน้ำใช้อุตสาหกรรม. กรุงเทพฯ : สมาคมเทคโนโลยีไทยญี่ปุ่น.

มั่นศิน ตันตูลເກມ. 2541. คู่มือวิเคราะห์คุณภาพน้ำ. พิมพ์ครั้งที่ 3 กรุงเทพฯ : โรงพิมพ์แห่งจุฬาลงกรณ์มหาวิทยาลัย.

Abdo,M.S., and Sedahmed.G.H. 1991. A new Technique for Removing Hexavalent Chromium from Wastewater via Galvanic Reduction with Iron Scrap. World Congress of Chemical Engineering. June 16(21):10-14.

Allmand, J. 1931. The principles of electrochemical engineering. 1<sup>st</sup> ed. New York.

Biwyk, A. 1991. Electrocoagulation of biologically treated sewage. World Congress of Chemical Engineering. Karlsruhe, Germany, 16-21:41-49.

Carlill, Julie, Jones, Peter. J. and Broadbent, Arthur. 1996. The use of Ozone for Decolorizing Textile Wastewater. Department of Chemical Engineering. University of Sherbrooke, Sherbrooke, Quebec, Canada.

Can, O.T., Bayramoglu, M. , and Kobra, M. 2003. Decolorization of Reactive Dye Solutions by Electrocoagulation Using Aluminium Electrodes. Ind. Eng. Chem. Res. 42(14):3391-3396.

Carneiro, P.A., Fugivara, C.S., Nogueira, F.P., Boralle, N. and Zanoni, V.B. 2003. A Comparative on Chemical and Electrochemical Degradation of Reactive Blue 4 Dye. Portaliae Electrochimica Acta. 21:49-67

Chen, X. , Shen, Z. , Zhu, X. , Fan, Y. , and Wang, W. 2005. Advanced Treatment of Textile Wastewater for Reuse using Electrochemical Oxidation and Membrane Filtration. Water SA. 31(1).

Comninellis,C. 1992. Electrochemical Treatment of Wastewater Containing Phenol. ICHEME Symposium, series 127: 97-103

Daneshava, N., Oladegaragoze, A., and Djafarzadeh, N. 2005. Decolorization of Basic Dye Solutions by Electrocoagulation. J. Hazard Materials. 120(1-3):116-122.

- Hammer,M.J. 1996. Water and Wastewater Technology. 3<sup>rd</sup>. United States of America: Prentice-Hall, Inc. 519p.
- Horning, R.H. 1978. Textile Dyeing Wastewater-Characterization End Treatment. U.S.Environmental Protection Agency. EPA-600/2-78-098. Washington, D.C.
- Kashefialasi, M., Khosravi, M., Marandi, R., and Seyyedi, K. 2006. Treatment of Dye Solution Containing Colored Index Acid Yellow 36 by Electrocoagulation Using Iron Electrodes. International Journal of Science and Technology. 2(4) :365-371.
- KiM, T.H., Park, C., and Shin, E.B. 2002. Decolorization of Disperse and Reactive Dyes by Continuous Electrocoagulation Process. Desalination. 150(2):165-175.
- Molina,C.,Rigal,C., and Lacoste,G. 1991. Electrotreatment of Industrial Wastewater and Products:A Good Way for Environment Protection. World Congress of Chemical Engineering. June 16(21):20-21.
- Ohsasa,K., Nakakura,H., and Sambuichi,M. 1991. Development of Electroflotation Technique Using Sacrificial Electrodes for Treatment of Oily Wastewater. World Congress of Chemical Engineering. June 16(21): 1-2.
- Patricia, A.C., Cecilio, S.F., Raquel, F.P., Nivaldo, B., and Maria, V.B.Z. 2002. A Comparative study on Chemical and Electrochemical Degradation of Reactive Blue 4 Dye.
- Peter, H., Geoffrey, B., and Cynthia, M. 1999. Electrocoagulation as a Wastewater Treatment. The Third Annual Australian Environment Engineering Research Event. 23-26 November Castlemaine, Victoria.
- Reife , A., and Freeman , H.S. 1966. Environmental Chemistry of Dyes and Pigments. U.S.,John Wiley & Sons, Inc.
- Uhrich, K.D. 1989. Method for Removing Dyestuffs from Wastewater. Inventor, Andco Environmental Process. U.S. Pat.4,880,510. Nov.14.

ตารางที่1ก ผลการบำบัดน้ำเสียสีเขียวที่ฟื้นฟูด้วยข้าวอ่อนมิเนียม ค่าศักย์ไฟฟ้า 5 โวลต์

ครั้งที่ทดลอง	เวลา (นาที)	ค่าการดูดกลืนแสง	พีเอช	ความนำไฟฟ้า (ไมโครซีเมนต์)
1	0	2.812	7.6	365
2	0	2.825	7.60	339
3	0	2.851	7.6	330
1	30	2.719	7.62	350
2	30	2.761	7.63	344
3	30	2.804	7.64	326
1	60	2.591	7.64	350
2	60	2.692	7.66	329
3	60	2.692	7.65	346
1	90	2.352	7.7	300
2	90	2.440	7.72	304
3	90	2.602	7.69	306
1	120	2.338	7.85	330
2	120	2.157	7.8	336
3	120	2.338	7.82	340
1	150	2.224	7.9	310
2	150	2.189	7.87	294
3	150	2.275	7.88	333
1	180	1.394	8.04	291
2	180	1.561	7.96	322
3	180	1.815	7.99	315

ตารางที่2ก ผลการบำบัดน้ำเสียสีแยกที่ฟด้วยข้าว秥มิเนียม ค่าศักย์ไฟฟ้า 10 โวลต์

ครั้งที่ทดลอง	เวลา (นาที)	ค่าการดูดกลืนแสง	พีเอช	ความนำไฟฟ้า (ไมโครซีเมนส์)
1	0	2.853	7.23	518
2	0	2.807	7.26	395
3	0	2.818	7.22	357
1	30	2.117	7.43	417
2	30	2.352	7.49	403
3	30	2.156	7.44	379
1	60	1.112	7.68	415
2	60	1.246	7.62	391
3	60	1.362	7.64	358
1	90	0.963	8.21	467
2	90	0.706	8.20	376
3	90	0.911	8.19	340
1	120	0.500	8.30	382
2	120	0.347	8.31	369
3	120	0.616	8.29	245
1	150	0.479	8.45	387
2	150	0.234	8.47	344
3	150	0.346	8.43	335
1	180	0.166	8.57	387
2	180	0.159	8.56	346
3	180	0.236	8.55	324

**ตารางที่3ก ผลการบำบัดน้ำเสียสีแยกที่ฟด้วยข้าวอ่อนมิเนียม ค่าศักย์ไฟฟ้า 15 โวลต์**

ครั้งที่ทดลอง	เวลา (นาที)	ค่าการดูดกลืนแสง	พีเอช	ความนำไฟฟ้า (ไมโครชีเมนต์)
1	0	3.001	7.38	389
2	0	3.006	7.37	378
3	0	2.897	7.39	387
1	30	2.598	7.70	350
2	30	2.461	7.71	341
3	30	2.474	7.68	364
1	60	1.583	8.19	342
2	60	1.586	8.18	331
3	60	1.705	8.20	342
1	90	0.844	8.28	294
2	90	0.941	8.30	303
3	90	0.941	8.32	319
1	120	0.455	8.50	275
2	120	0.579	8.52	291
3	120	0.582	8.54	322
1	150	0.36	8.60	259
2	150	0.396	8.61	285
3	150	0.322	8.59	259
1	180	0.358	8.66	287
2	180	0.341	8.68	238
3	180	0.332	8.64	282

**ตารางที่4ก ผลการบำบัดน้ำเสียสีแอกทีฟด้วยข้าวอ่อนมิเนียม ค่าศักย์ไฟฟ้า 20 โวลต์**

ครั้งที่ทดลอง	เวลา (นาที)	ค่าการดูดกลืนแสง	พีเอช	ความนำไฟฟ้า (ไมโครอาเมนส์)
1	0	2.930	7.41	382
2	0	2.866	7.42	358
3	0	2.764	7.39	359
1	30	2.477	8.10	357
2	30	2.317	8.08	344
3	30	2.442	8.05	328
1	60	1.503	8.40	299
2	60	1.445	8.36	315
3	60	1.466	8.32	291
1	90	0.824	8.63	298
2	90	0.856	8.60	277
3	90	0.825	8.59	275
1	120	0.380	8.88	287
2	120	0.443	8.90	264
3	120	0.311	8.82	256
1	150	0.813	8.96	282
2	150	0.835	8.94	243
3	150	0.270	9.00	240
1	180	0.108	9.15	245
2	180	0.121	9.10	247
3	180	0.109	9.19	256

**ตารางที่ 5 ก ผลการบำบัดน้ำเสียสีรีดอคทีฟด้วยข้าวอ่อนมิเนียม ค่าศักย์ไฟฟ้า 25 วอลต์**

ครั้งที่ทดลอง	เวลา (นาที)	ค่าการดูดกลืนแสง	พีเอช	ความนำไฟฟ้า (ไมโครซีเมนส์)
1	0	2.890	7.47	389
2	0	2.893	7.48	374
3	0	2.887	7.51	348
1	30	1.200	8.02	362
2	30	1.198	8.00	329
3	30	1.196	7.99	321
1	60	0.498	8.43	321
2	60	0.507	8.42	293
3	60	0.504	8.40	287
1	90	0.299	8.80	299
2	90	0.309	8.76	266
3	90	0.307	8.75	257
1	120	0.980	9.13	297
2	120	0.092	9.09	251
3	120	0.089	9.14	246
1	150	0.06	9.35	290
2	150	0.064	9.39	237
3	150	0.062	9.36	232
1	180	0.052	9.42	301
2	180	0.055	9.40	216
3	180	0.053	9.45	234

ตารางที่ 6 ก ผลการบำบัดน้ำเสียสีและกําลังดับเสียงข้อละลูมิเนียม ค่าศักย์ไฟฟ้า 30 โวลต์

ครั้งที่ทดลอง	เวลา (นาที)	ค่าการดูดกลืนแสง	พีเอช	ความนำไฟฟ้า (ไมโครอาเมนส์)
1	0	2.978	7.52	387
2	0	2.996	7.50	430
3	0	2.986	7.49	373
1	30	1.122	8.22	328
2	30	1.124	8.20	399
3	30	1.12	8.18	339
1	60	0.484	8.67	331
2	60	0.488	8.69	361
3	60	0.49	8.65	307
1	90	0.239	8.97	315
2	90	0.234	9.00	336
3	90	0.24	9.02	301
1	120	0.082	9.32	290
2	120	0.084	9.36	336
3	120	0.087	9.34	259
1	150	0.056	9.60	290
2	150	0.058	9.60	326
3	150	0.060	9.56	261
1	180	0.050	9.62	291
2	180	0.047	9.61	319
3	180	0.048	9.64	250

ตารางที่ 7ก ผลการบำบัดน้ำเสียสีรีแอกทีฟด้วยขั้วเหล็ก ค่าศักย์ไฟฟ้า 10 โวลต์

ครั้งที่ทดลอง	เวลา (นาที)	ค่าการดูดกลืนแสง	พีเอช	ความนำไฟฟ้า (ไมโครอาเมเนอร์)
1	0	2.798	7.53	320
2	0	2.803	7.51	304
3	0	2.800	7.50	312
1	30	2.567	8.70	318
2	30	2.563	8.70	292
3	30	2.565	8.73	305
1	60	2.243	9.25	296
2	60	2.245	9.20	289
3	60	2.249	9.23	293
1	90	1.746	9.70	303
2	90	1.720	9.67	307
3	90	1.717	9.69	306
1	120	1.118	9.84	257
2	120	1.121	9.79	304
3	120	1.120	9.80	281
1	150	0.737	9.85	253
2	150	0.741	9.81	299
3	150	0.739	9.85	276
1	180	0.457	9.80	299
2	180	0.459	9.77	273
3	180	0.458	9.79	286

**ตารางที่ 8ก ผลการบำบัดน้ำเสียสีเขียวที่ฟืดด้วยข้าวเหล็ก ค่าศักย์ไฟฟ้า 15 โวลต์**

ครั้งที่ทดลอง	เวลา (นาที)	ค่าการดูดกลืนแสง	พีเอช	ความนำไฟฟ้า (ไมโครซีเมนส์)
1	0	2.810	7.19	319
2	0	2.808	7.20	311
3	0	2.811	7.21	310
1	30	2.523	8.52	302
2	30	2.52	8.49	300
3	30	2.524	8.50	299
1	60	2.047	9.21	295
2	60	2.05	9.19	294
3	60	2.046	9.22	293
1	90	1.144	9.62	265
2	90	1.141	9.58	265
3	90	1.145	9.60	260
1	120	0.708	9.82	237
2	120	0.705	9.79	230
3	120	0.710	9.84	234
1	150	0.498	10.05	258
2	150	0.497	10.00	250
3	150	0.500	10.00	249
1	180	0.381	9.57	264
2	180	0.384	9.55	260
3	180	0.380	9.59	261

**ตารางที่ 9ก ผลการบำบัดน้ำเสียสีแยกที่ฟื้นฟูโดยขั้วเหล็ก ค่าศักย์ไฟฟ้า 20 โวลต์**

ครั้งที่ทดลอง	เวลา (นาที)	ค่าการดูดกลืนแสง	พีเอช	ความนำไฟฟ้า (ไมโครอาเมนส์)
1	0	2.945	7.34	355
2	0	2.949	7.37	350
3	0	2.944	7.36	348
1	30	2.576	8.29	334
2	30	2.579	8.24	335
3	30	2.577	8.30	337
1	60	1.97	8.89	289
2	60	1.973	8.87	290
3	60	1.969	8.91	285
1	90	1.184	8.98	241
2	90	1.180	8.99	245
3	90	1.183	9.02	247
1	120	0.682	9.28	238
2	120	0.685	9.29	235
3	120	0.686	9.31	234
1	150	0.419	10.10	283
2	150	0.417	10.15	285
3	150	0.420	10.17	287
1	180	0.804	9.87	289
2	180	0.800	9.86	280
3	180	0.803	9.89	283

**ตารางที่ 10 ก ผลการบำบัดน้ำเสียสีรีแอกทีฟด้วยข้าวเหล็ก ค่าศักย์ไฟฟ้า 25 โวลต์**

ครั้งที่ทดลอง	เวลา (นาที)	ค่าการดูดกลืนแสง	พีเอช	ความนำไฟฟ้า (ไมโครอาเมเนส)
1	0	2.898	7.75	366
2	0	2.818	7.59	316
3	0	2.767	7.53	323
1	30	2.171	8.19	364
2	30	2.055	8.40	303
3	30	2.106	8.64	288
1	60	1.018	8.20	250
2	60	0.263	8.26	241
3	60	1.051	9.35	265
1	90	0.426	8.86	246
2	90	0.054	8.83	260
3	90	0.529	9.46	254
1	120	0.238	8.62	234
2	120	0.322	8.73	235
3	120	0.290	9.49	231
1	150	0.129	8.14	223
2	150	0.201	8.58	180
3	150	0.137	9.23	213
1	180	0.097	9.38	215
2	180	0.097	9.41	219
3	180	0.045	9.51	198

ตารางที่ 11ก ผลการบำบัดน้ำเสียสีแยกที่ฟด้วยข้าวเหล็ก ค่าศักย์ไฟฟ้า 30 โวลต์

ครั้งที่ทดลอง	เวลา (นาที)	ค่าการดูดกลืนแสง	พีเอช	ความนำไฟฟ้า (ไมโครซีเมนส์)
1	0	2.870	7.45	345
2	0	2.866	7.52	340
3	0	2.807	8.01	358
1	30	2.222	8.85	294
2	30	1.403	9.74	325
3	30	1.468	9.02	291
1	60	0.919	9.35	250
2	60	0.505	10.18	319
3	60	0.672	9.33	272
1	90	0.456	10.00	256
2	90	0.076	10.21	315
3	90	0.324	9.31	250
1	120	0.222	9.52	250
2	120	0.037	10.27	304
3	120	0.169	9.28	225
1	150	0.142	10.06	265
2	150	0.030	10.29	304
3	150	0.103	9.28	258
1	180	0.106	9.35	257
2	180	0.024	9.29	303
3	180	0.072	9.64	231

**ตารางที่ 1x ผลการบำบัดน้ำเสียสีเบสิกด้วยข้าวอ่อนมิเนียม ค่าศักย์ไฟฟ้า 5 โวลต์**

ครั้งที่ทดลอง	เวลา (นาที)	ค่าการคุณภาพลื่นแสง	พีเอช	ความนำไฟฟ้า (ไมโครอาเมเนส)	ความชุ่น (NTU)
1	0	0.272	7.48	793	4.18
2	0	0.280	7.83	800	4.40
3	0	0.267	7.60	798	4.23
1	30	0.197	7.52	769	6.25
2	30	0.205	7.77	770	6.43
3	30	0.192	7.64	775	6.31
1	60	0.181	7.55	753	7.43
2	60	0.188	7.80	763	7.65
3	60	0.175	7.67	780	7.50
1	90	0.181	7.65	741	6.11
2	90	0.189	7.90	750	6.32
3	90	0.176	7.77	748	6.20
1	120	0.174	7.79	731	6.52
2	120	0.183	8.01	729	6.75
3	120	0.168	7.90	740	6.60
1	150	0.174	7.71	706	7.07
2	150	0.182	7.95	715	7.30
3	150	0.169	7.84	710	7.12
1	180	0.161	7.76	705	7.20
2	180	0.169	8.01	716	7.45
3	180	0.159	7.85	710	7.25

ตารางที่ 2x ผลการบำบัดน้ำเสียสีเบสิกด้วยข้าวอ่อนมิเนียม ค่าศักย์ไฟฟ้า 30 โวลต์

ครั้งที่ทดลอง	เวลา (นาที)	ค่าการดูดกลืนแสง	พีเอช	ความนำไฟฟ้า (เมกโควาชีเมนส์)	ความชุ่น (NTU)
1	0	0.251	7.2	868	5.25
2	0	0.246	6.9	870	5.00
3	0	0.253	7.10	873	5.37
1	30	0.221	7.38	844	6.11
2	30	0.197	7.34	846	5.59
3	30	0.223	7.36	843	6.10
1	60	0.184	7.68	799	6.42
2	60	0.182	7.62	794	6.34
3	60	0.185	7.65	801	6.45
1	90	0.176	7.99	783	5.10
2	90	0.174	7.91	791	4.48
3	90	0.179	7.94	789	5.18
1	120	0.161	8.43	774	5.52
2	120	0.158	8.39	779	5.49
3	120	0.165	8.40	770	5.60
1	150	0.159	8.36	775	6.17
2	150	0.155	8.32	773	6.13
3	150	0.162	8.35	779	6.19
1	180	0.151	8.53	725	7.05
2	180	0.148	8.49	728	7.00
3	180	0.153	8.50	721	7.09

**ตารางที่ 3x ผลการบำบัดน้ำเสียสีเบสิกด้วยข้าวอ่อนมิเนียม ค่าศักย์ไฟฟ้า 35 โวลต์**

ครั้งที่ทดลอง	เวลา (นาที)	ค่าการดูดกลืนแสง	พีเอช	ความนำไฟฟ้า (ไมโครซีเมนส์)	ความชุ่น (NTU)
1	0	0.356	7.43	822	6.42
2	0	0.304	7.80	818	6.00
3	0	0.323	7.50	825	6.30
1	30	0.255	7.55	818	5.01
2	30	0.249	7.67	815	4.84
3	30	0.253	7.60	820	4.95
1	60	0.248	7.66	815	5.31
2	60	0.240	7.70	809	5.28
3	60	0.235	7.68	818	5.30
1	90	0.240	8.11	787	5.63
2	90	0.236	8.13	781	5.60
3	90	0.229	8.00	789	5.64
1	120	0.230	8.60	789	4.41
2	120	0.228	8.59	780	4.38
3	120	0.220	8.52	793	4.39
1	150	0.216	8.91	760	4.78
2	150	0.201	8.94	758	4.60
3	150	0.198	8.98	762	4.63
1	180	0.207	8.96	698	5.28
2	180	0.198	8.93	684	5.19
3	180	0.193	8.95	683	5.24

**ตารางที่ 4x ผลการบำบัดน้ำเสียสีเบสิกด้วยข้าวเหล็ก ค่าศักย์ไฟฟ้า 20 โวลต์**

ครั้งที่ทดลอง	เวลา (นาที)	ค่าการดูดกลืนแสง	พีเอช	ความนำไฟฟ้า (ไมโครอะมิเนนซ์)	ความชุ่น (NTU)
1	0	0.259	4.84	690	5.92
2	0	0.239	5.61	593	6.21
3	0	0.232	5.52	589	5.87
1	30	0.260	5.15	740	6.53
2	30	0.253	6.47	602	6.12
3	30	0.263	6.30	603	6.23
1	60	0.304	6.17	751	6.76
2	60	0.309	6.76	605	6.81
3	60	0.313	5.82	622	6.73
1	90	0.130	6.65	703	6.47
2	90	0.132	6.92	614	6.35
3	90	0.128	6.59	623	6.59
1	120	0.081	7.06	700	6.61
2	120	0.087	7.01	603	6.84
3	120	0.096	6.80	631	6.13
1	150	0.051	7.96	682	6.21
2	150	0.057	7.21	624	6.83
3	150	0.049	7.14	627	6.40
1	180	0.044	9.22	679	6.40
2	180	0.047	8.42	585	6.45
3	180	0.053	8.72	576	6.59

**ตารางที่ 5x ผลการบำบัดน้ำเสียสีเบสิกด้วยข้าวเหล็ก ค่าศักย์ไฟฟ้า 25 โวลต์**

ครั้งที่ทดลอง	เวลา (นาที)	ค่าการดูดกลืนแสง	พีเอช	ความนำไฟฟ้า (ไมโครซีเมนส์)	ความชุ่น (NTU)
1	0	0.281	5.83	669	6.40
2	0	0.320	6.52	586	6.85
3	0	0.282	6.78	633	6.81
1	30	0.315	6.35	660	6.31
2	30	0.345	7.17	579	6.76
3	30	0.318	7.44	623	6.7
1	60	0.290	6.53	649	6.13
2	60	0.318	7.27	562	6.48
3	60	0.289	7.51	612	6.42
1	90	0.120	6.67	570	6.06
2	90	0.132	7.59	510	6.45
3	90	0.115	7.92	554	6.43
1	120	0.089	6.66	670	5.18
2	120	0.091	7.83	604	5.45
3	120	0.085	8.06	641	5.52
1	150	0.070	7.55	695	5.18
2	150	0.080	8.41	502	5.43
3	150	0.073	8.54	631	5.28
1	180	0.051	9.25	570	5.3
2	180	0.029	9.60	510	5.34
3	180	0.045	8.80	554	5.27

ตารางที่ 6x ผลการบำบัดน้ำเสียสีเบสิกด้วยข้าวเหล็ก ค่าศักย์ไฟฟ้า 30 โวลต์

ครั้งที่ทดลอง	เวลา (นาที)	ค่าการดูดกลืนแสง	พีเอช	ความนำไฟฟ้า (ไมโครซีเมนส์)	ความชุ่น (NTU)
1	0	0.313	4.85	661	6.33
2	0	0.301	4.82	619	6.16
3	0	0.323	6.26	647	5.86
1	30	0.248	5.64	753	5.90
2	30	0.199	5.16	835	5.62
3	30	0.199	7.03	681	5.67
1	60	0.172	6.70	748	5.58
2	60	0.116	8.30	603	5.77
3	60	0.106	7.79	687	5.11
1	90	0.141	8.00	741	5.06
2	90	0.104	8.68	524	5.70
3	90	0.144	9.19	645	5.49
1	120	0.077	9.51	669	5.32
2	120	0.042	8.74	494	5.60
3	120	0.033	9.18	564	5.27
1	150	0.050	9.88	671	5.12
2	150	0.027	9.55	478	5.60
3	150	0.030	10.05	549	5.07
1	180	0.042	10.44	575	5.81
2	180	0.024	9.81	548	5.50
3	180	0.027	10.14	556	5.12

ตารางที่ 7x ผลการบำบัดน้ำเสียสีเบสิกด้วยขั้วเหล็ก ค่าศักย์ไฟฟ้า 35 โวลต์

ครั้งที่ทดลอง	เวลา (นาที)	ค่าการดูดกลืนแสง	พีเอช	ความนำไฟฟ้า (ไมโครซีเมนส์)	ความชุ่น (NTU)
1	0	0.327	4.82	693	5.14
2	0	0.338	5.42	653	5.17
3	0	0.354	4.69	644	6.39
1	30	0.231	4.85	641	6.32
2	30	0.279	6.30	676	6.14
3	30	0.275	5.89	665	5.89
1	60	0.169	6.43	729	6.68
2	60	0.132	7.10	742	6.65
3	60	0.143	6.58	635	6.80
1	90	0.172	6.64	688	6.50
2	90	0.053	8.09	649	5.93
3	90	0.131	7.72	607	5.83
1	120	0.086	7.59	754	5.33
2	120	0.047	8.34	642	6.16
3	120	0.049	9.53	595	6.07
1	150	0.068	7.92	699	5.67
2	150	0.038	8.57	583	6.14
3	150	0.044	9.90	534	4.74
1	180	0.065	8.87	589	4.66
2	180	0.028	8.39	565	4.70
3	180	0.034	10.20	575	5.55

ตารางที่ 8x ให้กราฟไไฟฟ้า 25 วอลต์ 120 นาที ขนาดของข้าวไฟฟ้าเพิ่มขึ้น 2 เท่า

ครั้งที่ทดลอง	เวลา (นาที)	ค่าการดูดกลืนแสง	พีเอช	ความนำไฟฟ้า	ความชุ่น
				(ไมโครซีเมนส์)	(NTU)
1	0	0.281	5.83	669	6.40
2	0	0.320	6.52	586	6.85
3	0	0.282	6.78	633	6.81
1	120	0.243	6.10	654	6.27
2	120	0.231	6.74	677	6.45
3	120	0.232	7.00	680	6.44

ตารางที่ 9x เปรียบเทียบสมบัติของน้ำที่ผ่านกระบวนการบำบัดด้วยระบบไไฟฟ้าเคมีกับน้ำใช้และน้ำที่ผ่านกระบวนการบำบัดของโรงงาน

ประเภท ของน้ำ	ครั้งที่ ทดลอง	ค่า การดูดกลืนแสง	พีเอช	ความนำ ไฟฟ้า	ความ ชุ่น	ของแข็ง แขวนลอย	ความ กรวดด่าง	ซีอิจ
น้ำใช้ของ โรงงาน	1	0.003	7.94	448	0.32	0.05	84.48	31.67
โรงงาน	2	0.004	7.52	460	0.22	0.01	80.48	30.00
	3	0.005	7.42	448	0.34	0.03	82.48	21.67
น้ำเสียก่อน บำบัด	1	0.281	5.83	669	6.40	1.95	80.48	218.33
	2	0.320	6.52	586	6.89	2.07	80.48	226.67
	3	0.282	6.78	633	6.81	2.10	80.48	222.00
น้ำหลังบำบัด ของโรงงาน	1	0.116	8.09	761	0.23	0.10	92.48	40.00
	2	0.094	7.77	742	0.30	0.10	80.48	43.33
	3	0.061	8.04	770	0.22	0.06	86.48	53.33
น้ำหลังบำบัด จากการ ทดลอง	1	0.051	9.25	570	5.30	0.76	84.48	48.33
	2	0.029	9.60	510	5.34	0.68	80.48	46.67
	3	0.045	8.80	554	5.27	0.60	82.48	52.50

**ตารางที่ 1ค** เปรียบเทียบความแตกต่างระหว่างค่าเฉลี่ยร้อยละการกำจัดสีในน้ำเสียสีรีแอคทีฟ ที่นำบัดโดยใช้ขั้วไฟฟ้าอะลูมิเนียม ระยะเวลาสัมผัส 180 นาที ที่ศักย์ไฟฟ้าต่างกัน

	5(volt) (43.837)	15(volt) (88.423)	10(volt) (93.383)	20(volt) (96.050)	25(volt) (98.153)	30(volt) (93.380)
5(volt) (43.837)		44.587	49.547	52.213	54.317	54.543
15(volt) (88.423)			4.960	7.627*	9.730*	9.567*
10(volt) (93.383)				2.667	4.770	4.997
20(volt) (96.050)					2.103	2.330*
25(volt) (98.153)						0.227
30(volt) (93.380)						

**ตารางที่ 2ค** เปรียบเทียบความแตกต่างระหว่างค่าเฉลี่ยร้อยละการเพิ่มพีเอชในน้ำเสียสีรีแอคทีฟ ที่นำบัดโดยใช้ขั้วไฟฟ้าอะลูมิเนียม ระยะเวลาสัมผัส 180 นาที 30 ที่ศักย์ไฟฟ้าต่างกัน

	30(volt) (-28.25))	25(volt) (-25.87)	20(volt) (-23.49)	10(volt) (-18.29)	15(volt) (-17.34)	5(volt) (-5.22)
30(volt) (-28.25))		2.386*	4.761*	9.968*	10.910*	230.35*
25(volt) (-25.87)			2.375*	7.581*	8.524*	20.649*
20(volt) (-23.49)				5.206*	6.149*	18.274*
10(volt) (-18.29)					0.943	13.068*
15(volt) (-17.34)						12.125*
5(volt) (-5.22)						

**ตารางที่ 3ค เปรียบเทียบความแตกต่างระหว่างค่าเฉลี่ยร้อยละการกำจัดของแข็งละลายน้ำในน้ำเสีย สีรีแอคทีฟที่บำบัดโดยใช้อัลูมิเนียมอิเล็กโทรด ระยะเวลาสัมผัส 180 นาที ที่ศักย์ไฟฟ้าต่างกัน**

	5(volt) (6.47)	10(volt) (7.42)	30(volt) (27.87)	25(volt) (19.02)	15(volt) (35.12)	20(volt) (35.18)
5(volt) (6.47)		0.947	21.393	26.070*	28.643*	28.703*
10(volt) (7.42)			20.447	25.123*	27.697*	27.757*
30(volt) (27.87)				4.677	7.250	7.310
25(volt) (19.02)					2.573	2.633
15(volt) (35.12)						0.060
20(volt) (35.18)						

**ตารางที่ 4ค เปรียบเทียบความแตกต่างระหว่างค่าเฉลี่ยร้อยละการกำจัดของสีในน้ำเสียสีรีแอคทีฟ ที่บำบัดโดยใช้อัลูมิเนียมให้ศักย์ไฟฟ้า 20 โวลต์ ที่ระยะเวลาสัมผัสด้วยกัน**

	30(min) (15..42)	60(min) (48.41)	90(min) (70.72)	150(min) (77.78)	120(min) (86.77)	180(min) (96.05)
30(min) (15..42)		32.990*	55.297*	62.360	71.350*	80.627*
60(min) (48.41)			22.307*	29.370	38.360*	47.637*
90(min) (70.72)				7.063	16.053*	25.330*
150(min) (77.78)					8.990	18.267
120(min) (86.77)						9.277
180(min) (96.05)						

ตารางที่ 5ค เปรียบเทียบความแตกต่างระหว่างค่าเฉลี่ยร้อยละการเพิ่มพิเศษในน้ำเสียสีรีแอคทีฟที่บำบัดโดยใช้ข้าวไฟฟ้าอะลูมิเนียม ให้ศักย์ไฟฟ้า 20 โวลต์ ที่ระยะเวลาสัมผัสต่างกัน

	180(min) (-23.49)	150(min) (-21.06)	120(min) (-19.71)	90(min) (-16.20)	60(min) (-12.87)	30(min)
180(min) (-23.49)		2.431*	3.782*	7.292*	10.622*	14.448*
150(min) (-21.06)			1.351	4.861*	8.192*	12.017*
120(min) (-19.71)				3.501*	6.840*	10.666*
90(min) (-16.20)					3.330*	7.156*
60(min) (-12.87)						3.825*
180(min) (19.02)						

ตารางที่ 6ค เปรียบเทียบความแตกต่างระหว่างค่าเฉลี่ยร้อยละการกำจัดของแข็งละลายน้ำในน้ำเสียสีรีแอคทีฟ ที่บำบัดโดยใช้ข้าวไฟฟ้าอะลูมิเนียม ให้ศักย์ไฟฟ้า 20 โวลต์ ที่ระยะเวลาสัมผัสต่างกัน

	30(min) (8.59)	60(min) (12.05)	120(min) (13.62)	90(min) (20.61)	150(min) (30.36)	180(min) (35.18)
30(min) (8.59)		3.4460	5.037	12.023	21.777	26.590*
60(min) (12.05)			1.577	8.563	18.317	23.130*
120(min) (13.62)				6.987	16.740	21.553
190(min) (20.61)					9.753	14.567
150(min) (30.36)						4.813
180(min) (35.18)						

**ตารางที่ 7ค เปรียบเทียบความแตกต่างระหว่างค่าเฉลี่ยการกำจัดสีในน้ำเสียสีรีเอคทีฟที่บำบัดโดยใช้ข้าวไฟฟ้าเหล็ก ระยะเวลาสัมผัส 180 นาที ที่ศักย์ไฟฟ้าต่างกัน**

	20(volt) (72.76)	10(volt) (83.64)	15(volt) (86.41)	25(volt) (97.19)	30(volt) (97.63)
20(volt) (72.76)		10.880*	13.650*	24.430*	24.870*
10(volt) (83.64)			2.770*	13.550*	13.990*
15(volt) (86.41)				10.780*	11.220
25(volt) (97.19)					
30(volt) (97.63)					

**ตารางที่ 8ค เปรียบเทียบความแตกต่างระหว่างค่าเฉลี่ยการเปลี่ยนแปลงในน้ำเสียสีรีเอคทีฟที่บำบัดโดยใช้ข้าวไฟฟ้าเหล็ก ระยะเวลาสัมผัส 180 นาที ที่ศักย์ไฟฟ้าต่างกัน**

	20(volt) (-34.21)	15(volt) (-32.92)	10(volt) (-30.85)	25(volt) (-23.77)	30(volt) (-23.13)
20(volt) (-34.21)		1.293	3.952	10.441*	11.079*
15(volt) (-32.92)			2.659	9.148*	9.787*
10(volt) (-30.85)				6.489*	0.639
25(volt) (-23.77)					
30(volt) (-23.13)					

ตารางที่ 9ค เปรียบเทียบความแตกต่างระหว่างค่าเฉลี่ยร้อยละการกำจัดของแบตเตอรี่ในน้ำเสียสีรีแอคทีฟที่บำบัดโดยใช้ข้าวไฟฟ้าเหล็ก ระยะเวลาสัมผัส 180 นาที ที่ศักย์ไฟฟ้าต่างกัน

	10(volt) (8.36)	15(volt) (16.48)	20(volt) (19.09)	30(volt) (23.95)	25(volt) (36.89)
10(volt) (8.36)		8.120	10.727*	15.590	28.523
15(volt) (16.48)			2.607	7.470	20.403
20(volt) (19.09)				4.863	17.797
30(volt) (23.95)					12.933
25(volt) (36.89)					

ตารางที่ 10ค เปรียบเทียบความแตกต่างระหว่างค่าเฉลี่ยร้อยละการกำจัดสีในน้ำเสียสีรีแอคทีฟที่บำบัดโดยใช้ข้าวไฟฟ้าเหล็ก ให้ศักย์ไฟฟ้า 15 โวลต์ ที่ระยะเวลาสัมผัสด่างกัน

	30(min) (10.23)	60(min) (27.12)	90(min) (59.31)	150(min) (74.81)	120(min) (82.26)	180(min) (86.41)
30(min) (10.23)		16.890*	49.083*	64.583*	72.037*	76.187*
60(min) (27.12)			32.193*	47.693*	55.147*	59.297*
90(min) (59.31)				15.500*	22.953*	27.103*
150(min) (74.81)					7.453*	11.603*
120(min) (82.26)						4.150*
180(min) (86.41)						

ตารางที่ 11ค เปรียบเทียบความแตกต่างระหว่างค่าเฉลี่ยร้อยละการเพิ่มพีเอชในน้ำเสียสีรีแอคทีฟที่บำบัดโดยใช้ข้าวไฟฟ้าเหล็ก ให้ศักย์ไฟฟ้า 15 โวลต์ ที่ระยะเวลาสัมผัสต่างกัน

	150(min) (-39.12)	120(min) (-36.34)	90(min) (-33.33)	180(min) (-32.92)	60(min) (-27.87)	30(min) (-18.10)
150(min) (-39.12)		2.778*	5.787*	6.204*	11.250*	21.019*
120(min) (-36.34)			3.001*	3.426*	8.472*	18.241*
90(min) (-33.33)				0.417	5.046*	15.231*
180(min) (-32.92)					5.463*	14.815*
60(min) (-27.87)						9.768*
30(min) (-18.10)						

ตารางที่ 12ค เปรียบเทียบความแตกต่างระหว่างค่าเฉลี่ยร้อยละการกำจัดของเชื้อลำไยน้ำในน้ำเสียสีรีแอคทีฟที่บำบัดโดยใช้ข้าวไฟฟ้าเหล็ก ให้ศักย์ไฟฟ้า 15 โวลต์ ที่ระยะเวลาสัมผัสต่างกัน

	30(min) (4.14)	60(min) (6.16)	90(min) (15.95)	180(min) (16.48)	150(min) (19.47)	120(min) (23.43)
30(min) (4.14)		2.017	11.810*	12.343*	15.330*	21.287*
60(min) (6.16)			9.793*	10.327*	13.313*	19.270*
90(min) (15.95)				0.533	3.520*	9.477*
180(min) (16.48)					2.987*	8.943*
150(min) (19.47)						5.959*
120(min) (23.43)						

ตารางที่ 13ค เปรียบเทียบความแตกต่างระหว่างค่าเฉลี่ยร้อยละการเพิ่มพีเอชน้ำเสียสีเบสิกที่บำบัดโดยใช้ข้าวไฟฟ้าอะลูมิเนียม ระยะเวลาสามผัส 180 นาที ที่ศักยไฟฟ้าต่างกัน

	30(volt) (-20.41)	35(volt) (-18.14)	20(volt) (-3.11)
30(volt) (-20.41)		2.274	17.301*
35(volt) (-18.14)			15.027*
20(volt) (-3.11)			

ตารางที่ 14ค เปรียบเทียบความแตกต่างระหว่างค่าเฉลี่ยร้อยละการกำจัดของแข็งละลายน้ำในน้ำเสีย สีเบสิกที่บำบัดโดยใช้ข้าวไฟฟ้าอะลูมิเนียม ระยะเวลาสามผัส 180 นาที ที่ศักยไฟฟ้าต่างกัน

	20(volt) (10.88)	30(volt) (16.23)	35(volt) (16.73)
20(volt) (10.88)		5.350*	5.857*
30(volt) (16.23)			0.507
35(volt) (16.73)			

ตารางที่ 15ค เปรียบเทียบความแตกต่างระหว่างค่าเฉลี่ยร้อยละการกำจัดความชื้นในน้ำเสียสีเบสิกที่บำบัดโดยใช้ข้าวไฟฟ้าอะลูมิเนียม ระยะเวลาสามผัส 180 นาที ที่ศักยไฟฟ้าต่างกัน

	20(volt) (-70.99)	30(volt) (-35.44)	35(volt) (16.00)
20(volt) (-70.99)		35.547*	87.017*
30(volt) (-35.44)			51.470*
35(volt) (16.00)			

**ตารางที่ 16ค** เปรียบเทียบความแตกต่างระหว่างค่าเฉลี่ยร้อยละการกำจัดสีในน้ำเสียสีเบสิกที่นำบัดโดยใช้ข้าวไฟฟ้าอะลูมิเนียม ที่ศักย์ไฟฟ้า 35 โวลต์ ที่เวลาสัมผัสต่างกัน

	30(min) (22.71)	60(min) (26.21)	90(min) (28.02)	120(min) (30.76)	150(min) (37.30)	180(min) (38.99)
30(min) (22.71)		3.500	5.307	8.050	14.593	16.280*
60(min) (26.21)			1.807	4.550	11.093	12.780
90(min) (28.02)				2.743	9.287	10.973
120(min) (30.76)					6.543	8.230
150(min) (37.30)						1.687
180(min) (38.99)						

**ตารางที่ 17ค** เปรียบเทียบความแตกต่างระหว่างค่าเฉลี่ยร้อยละการเพิ่มพีเอชน้ำเสียสีเบสิกที่นำบัดโดยใช้ข้าวไฟฟ้าอะลูมิเนียม ที่ศักย์ไฟฟ้า 35 โวลต์ ที่เวลาสัมผัสต่างกัน

	180(min) (-18.14)	150(min) (-18.90)	120(min) (-13.16)	90(min) (-6.68)	60(min) (-1.40)	30(min) (0.43)
180(min) (-18.14)		0.048	4.979	11.454*	16.733*	17.710*
150(min) (-18.90)			4.931	11.406*	16.685*	17.662*
120(min) (-13.16)				6.475	11.754*	12.731*
90(min) (-6.68)					5.279	6.256
60(min) (-1.40)						0.977
30(min) (0.43)						

ตารางที่ 18ค เปรียบเทียบความแตกต่างระหว่างค่าเฉลี่ยร้อยละการกำจัดของแข็งละลายน้ำในน้ำเสียสีเบสิกที่บำบัดโดยใช้ข้าวไฟฟ้าอะลูมิเนียม ที่ศักย์ไฟฟ้า 35 โวลต์ ที่เวลาสัมผัสด่างกัน

	30(min) (0.49)	60(min) (0.93)	120(min) (4.18)	90(min) (4.38)	150(min) (7.53)	180(min) (16.23)
30(min) (0.49)		0.443	3.690*	3.890*	7.013	15.737
60(min) (0.93)			3.247*	3.447*	6.570*	15.293
120(min) (4.18)				0.200*	3.323	12.047*
90(min) (4.38)					3.123*	11.847
150(min) (7.53)						8.723*
180(min) (16.23)						

ตารางที่ 19ค เปรียบเทียบความแตกต่างระหว่างค่าเฉลี่ยร้อยละการกำจัดความชื้นในน้ำเสียสีเบสิก ที่บำบัดโดยใช้ข้าวไฟฟ้าอะลูมิเนียม ที่ศักย์ไฟฟ้า 35 โวลต์ ที่เวลาสัมผัสด่างกัน

	30(min) (9.82)	60(min) (15.05)	120(min) (16.03)	90(min) (20.91)	150(min) (25.13)	180(min) (16.03)
30(min) (9.82)		5.233	6.210	11.087*	15.310*	19.723*
60(min) (15.05)			0.977	5.853	10.077*	14.490*
120(min) (16.03)				4.877	9.100*	13.513*
90(min) (20.91)					4.223	8.637*
150(min) (25.13)						4.413
180(min) (16.03)						

ตารางที่ 20ค เปรียบเทียบความแตกต่างระหว่างค่าเฉลี่ยร้อยละการกำจัดของเชื้อละลายน้ำในน้ำเสียสีเบสิก ที่บำบัดโดยใช้ข้าวไฟฟ้าเหล็ก ระยะเวลาสามผั้ 180 นาที ที่ศักย์ไฟฟ้าต่างกัน

	20(volt) (1.72)	30(volt) (12.85)	35(volt) (13.07)	25(volt) (13.42)
20(volt) (1.72)		11.130*	11.350*	11.170*
30(volt) (12.85)			0.220	0.570
35(volt) (13.07)				0.350
25(volt) (13.42)				

ตารางที่ 21ค เปรียบเทียบความแตกต่างระหว่างค่าเฉลี่ยร้อยละการกำจัดความชื้นในน้ำเสียสีเบสิก ที่บำบัดโดยใช้ข้าวไฟฟ้าเหล็ก ระยะเวลาสามผั้ 180 นาที ที่ศักย์ไฟฟ้าต่างกัน

	20(volt) (-8.08)	30(volt) (10.52)	35(volt) (10.53)	25(volt) (20.61)
20(volt) (-8.08)		18.597*	18.607*	28.693*
30(volt) (10.52)			0.100	10.097*
35(volt) (10.53)				10.087*
25(volt) (20.61)				

ตารางที่ 22ค เปรียบเทียบความแตกต่างระหว่างค่าเฉลี่ยร้อยละการกำจัดสีในน้ำเสียสีเบสิกที่บำบัดโดยใช้ข้าวไฟฟ้าเหล็กอิเล็กโทรด ให้สักยีไฟฟ้า 25 โวลต์ ที่ระยะเวลาสัมผัสต่างกัน

	30(min) (-10.89)	60(min) (-1.79)	90(min) (58.42)	150(min) (69.92)	120(min) (74.73)	180(min) (85.61)
30(min) (-10.89)		9.103	69.317*	80.810*	85.627*	96.503*
60(min) (-1.79)			60.213*	71.707*	76.523*	87.400*
90(min) (58.42)				11.493*	16.310*	27.187
150(min) (69.92)					4.817	15.693
120(min) (74.73)						10.877
180(min) (85.61)						

ตารางที่ 23ค เปรียบเทียบความแตกต่างระหว่างค่าเฉลี่ยร้อยละการเพิ่มพีเอชในน้ำเสียสีเบสิกที่บำบัดโดยใช้ข้าวไฟฟ้าเหล็ก ให้สักยีไฟฟ้า 25 โวลต์ ที่ระยะเวลาสัมผัสต่างกัน

	180(min) (-45.23)	150(min) (-28.15)	120(min) (-17.74)	90(min) (-15.88)	60(min) (-11.43)	30(min) (-9.54)
180(min) (-45.23)		17.082	27.496	29.354	33.806	35.691
150(min) (-28.15)			10.414	12.272*	16.724*	18.609*
120(min) (-17.74)				1.858	6.310	8.195
90(min) (-15.88)					4.452	6.337
60(min) (-11.43)						1.885
30(min) (-9.54)						

ตารางที่ 24ค เปรียบเทียบความแตกต่างระหว่างค่าเฉลี่ยร้อยละการกำจัดของเชิงคลื่นน้ำในน้ำเสียสีเบสิก ที่นำบัดโดยใช้ข้าวไฟฟ้าเหล็ก ให้ศักย์ไฟฟ้า 25 โวลต์ ที่ระยะเวลาสามผัสต่างกัน

	90(min) (-3.90)	30(min) (-3.54)	60(min) (-2.69)	1200(min) (1.37)	150(min) (3.47)	180(min) (13.42)
90(min) (-3.90)		0.357	1.207	5.273	7.370	17.317
30(min) (-3.54)			0.850	4.917	7.013	16.960*
60(min) (-2.69)				4.067*	6.163*	16.110*
120(min) (1.37)					2.097	12.043*
150(min) (3.47)						9.947*
180(min) (13.42)						

ตารางที่ 25ค เปรียบเทียบความแตกต่างระหว่างค่าเฉลี่ยร้อยละการกำจัดความชื้นในน้ำเสียสีเบสิกที่นำบัดโดยใช้ข้าวไฟฟ้าเหล็ก ให้ศักย์ไฟฟ้า 25 โวลต์ ที่ระยะเวลาสามผัสต่างกัน

	30(min) (1.45)	60(min) (5.12)	90(min) (5.58)	120(min) (19.48)	180(min) (20.61)	150(min) (20.75)
30(min) (1.45)		3.670	4.130*	18.033*	19.167	19.307*
60(min) (5.12)			0.460	14.363*	15.497	15.637*
90(min) (5.58)				13.903*	15.037	15.177
120(min) (19.48)					1.133	1.273
180(min) (20.61)						0.140
150(min) (20.75)						

## ประวัติผู้วิจัย

### หัวหน้าโครงการ

1. ชื่อ – นามสกุล (ภาษาไทย) นางชนิษฐา เจริญลาภ  
ชื่อ – นามสกุล (ภาษาอังกฤษ) Mrs Khaniththa Charoenlarp
2. เลขหมายบัตรประจำตัวประชาชน 3100602422195
3. ตำแหน่งปัจจุบัน ผู้ช่วยศาสตราจารย์ ระดับ 8
4. หน่วยงานที่อยู่ ที่สามารถติดต่อได้สะดวก พร้อมหมายเลขอรศพท์ โทรสาร และ ไปรษณีย์อิเล็กทรอนิกส์  
สาขาวิชาศึกษาครรภ์เคมีสิ่งทอ คณะอุตสาหกรรมสิ่งทอ  
มหาวิทยาลัยเทคโนโลยีราชมงคลกรุงเทพ วิทยาเขตเทคนิคกรุงเทพฯ  
2 ถนนนาลงลินจี ทุ่งมหาเมฆ สาทร กรุงเทพฯ 10120  
E.mail Khanit\_C@hotmail.com

### 5. ประวัติการศึกษา

คุณวุฒิ	สถานศึกษา	สาขาวิชาเอก	ปริญญา	ปีที่จบ
ปริญญาตรี	ม.ศิลปากร	เคมี	วท.บ.	2529
ปริญญาโท	ม.เกษตรศาสตร์	วิทยาศาสตร์สิ่งแวดล้อม	วท.ม.	2539

6. สาขาวิชาการที่มีความชำนาญพิเศษ (แตกต่างจากวุฒิการศึกษา) ระบุสาขาวิชาการ การบำบัดน้ำเสียสิ่งทอ
7. ประสบการณ์ที่เกี่ยวข้องกับการบริหารงานวิจัยทั้งภายในและภายนอกประเทศ โดยระบุ สถานภาพในการทำวิจัยว่าเป็นผู้อำนวยการแผนงานวิจัย หัวหน้าโครงการวิจัย หรือผู้ร่วม วิจัยในแต่ละข้อเสนอการวิจัย
  - 7.1 ผู้อำนวยการแผนงานวิจัย : ชื่อแผนงานวิจัย

## 7.2 หัวหน้าโครงการวิจัย

- (1) การกำจัดสีดิสเพรส สีไดเร็กท์ และสีรีแอดกทีฟจากน้ำเสียย้อมผ้าโดยกระบวนการตกตะกอนทางเคมี
- (2) การศึกษาเปรียบเทียบประสิทธิภาพในการกำจัดสีจากโรงงานย้อมผ้าโดยระบบแอดดิเวิดเต็ดสลัคเจร์และระบบตกตะกอนทางเคมี
- (3) อิทธิพลของยีสต์ต่อการลอกแป้งด้วยเอนไซม์
- (4) การปรับปรุงระบบบำบัดน้ำเสียของห้างหุ้นส่วนจำกัด เจริญชัยการย้อมให้อยู่ในมาตรฐานน้ำทึบโดยมีค่าใช้จ่ายลดลง
- (5) การบำบัดน้ำเสียเพื่อนำกลับมาใช้ใหม่สำหรับโรงงานฟอกย้อม
- (6) การพัฒนาการจัดการบำบัดน้ำเสียจากการย้อมสี
- (7) การนำน้ำย้อมกลับมาใช้ใหม่โดยการกำจัดสีด้วยโซโน
- (8) ผลของโลหะในน้ำต่อกระบวนการการย้อม
- (9) ผลของโลหะไออ่อนในน้ำต่อกระบวนการฟอกผ้าฝ่ายถัก
- (10) การอนุรักษ์และฟื้นฟูทรัพยากรป่าชายเลนอำเภอชุม จังหวัดจันทบุรี

## 7.3 งานวิจัยที่ทำเสร็จแล้ว: ชื่อผลงานวิจัย ปีที่ตีพิมพ์ การเผยแพร่

ชนิษฐา เจริญลาก. 2001. การกำจัดสีดิสเพรส สีไดเร็กท์ และสีรีแอดกทีฟ จากน้ำทึบย้อมผ้าโดยกระบวนการตกตะกอนทางเคมี. *Textile Journal:Colour way*, 7(34): 32-38.

บุญศรี คุ้สุขธรรม, ชนิษฐา เจริญลาก, และสมชาย อุดร. 2003. การเพิ่มประสิทธิภาพการกำจัดสีในน้ำทึบจากอุตสาหกรรมสิ่งทอ ตอน 1. *Textile Journal:Colour way*, 8(45): 18-20.

บุญศรี คุ้สุขธรรม, ชนิษฐา เจริญลาก, และสมชาย อุดร. 2003. การเพิ่มประสิทธิภาพการกำจัดสีในน้ำทึบจากอุตสาหกรรมสิ่งทอ . *Textile Journal:Colour way*, 8(46): 47-50.

ชนิษฐา เจริญลาก. 2003. ระบบนำเข้าในอุตสาหกรรม. *Textile Journal:Colour way*, 9(47) : 23-26

ชนิษฐา เจริญลาก. 2003. แนวทางการเลือกใช้สารเคมี. *Textile Journal:Colour way*, 9(47) : 65-67

ชนิษฐา เจริญลาก, พริยะ แก่นทับทิม. 2003. การศึกษาเปรียบเทียบประสิทธิภาพในการกำจัดสีจากโรงงานย้อมผ้าโดยระบบแอดดิเวิดเต็ดสลัคเจร์และระบบตกตะกอนทางเคมี . *Textile Journal:Colour way*, 10(47).

ชนิษฐา เจริญลาก, พริยะ แก่นทับทิม. 2003. การศึกษาเปรียบเทียบประสิทธิภาพในการกำจัดสีจากโรงงานย้อมผ้าโดยระบบแอดดิเวิดเต็ดสลัคเจร์และระบบตกตะกอนทางเคมี . *Textile Journal:Colour way*, 11(47).

ชนิชญา เจริญลาก. 2005. อิทธิพลของยีสต์ต่อการลอกเปลี่ยนสี. *Textile Journal:Colour way*, 10(48): 40-45

ชนิชญา เจริญลาก. 2005. การปรับปัจจุบันแบบน้ำเสียโรงงานฟอกย้อมให้อุ่นในมาตรฐานของกรมโรงงานอุตสาหกรรมโดยมีค่าใช้จ่ายลดลง *Textile Journal:Colour way*, 11(48): 84-88.

## ผู้ร่วมโครงการ

1. ชื่อ – นามสกุล (ภาษาไทย) นายวิชาญ ช่วยพันธ์  
ชื่อ – นามสกุล (ภาษาอังกฤษ) Mr Wichan Choaipan
2. หมายเลขประจำตัวประชาชน 39201002711835
3. ตำแหน่ง อัจารย์ ระดับ 7
4. หน่วยงานที่อยู่ ที่สามารถติดต่อได้สะดวก พร้อมหมายเลขโทรศัพท์ โทรสารและ e-mail  
สาขาวิชาศึกษาอุดสาหกรรม คณะวิศวกรรมศาสตร์  
มหาวิทยาลัยเทคโนโลยีราชมงคลกรุงเทพ วิทยาเขตเทคนิคกรุงเทพฯ  
2 ถนนนangลินเจ ทุ่งมหาเมฆ สาทร กรุงเทพฯ 10120

## ประวัติการศึกษา

คุณวุฒิ	สถานศึกษา	สาขาวิชาเอก	วุฒิ	ปีที่จบ
ประกาศนียบัตรวิชาชีพชั้นสูง	วิทยาเขตเทคนิคกรุงเทพฯ	โลหะวิทยา	ปว.ส.	2536
ปริญญาตรี	สถาบันเทคโนโลยีราชมงคล	วิศวกรรมอุดสาหกรรม	ค.อ.บ.	2538
ปริญญาโท	มหาวิทยาลัยเทคโนโลยี พระจอมเกล้าธนบุรี(บางมด)	วิศวกรรมวัสดุ	วศ.ม.	2544

6. สาขาวิชาการที่มีความชำนาญพิเศษ (แตกต่างจากวุฒิการศึกษา) ระบุสาขาวิชาการ  
การผลิตวัสดุวิศวกรรม และโลหะการ
7. ประสบการณ์ที่เกี่ยวข้องกับการบริหารงานวิจัยทั้งภายในและภายนอกประเทศไทย โดยระบุ  
สถานภาพในการทำวิจัยว่าเป็นผู้อำนวยการแผนงานวิจัย หัวหน้าโครงการวิจัย หรือผู้ร่วม  
วิจัยในแต่ละข้อเสนอการวิจัย
  - 7.1 ผู้อำนวยการแผนงานวิจัย : ชื่อแผนงานวิจัย  
-
  - 7.2 หัวหน้าโครงการวิจัย  
-
  - 7.3 งานวิจัยที่ทำเสร็จแล้ว : ชื่อผลงานวิจัย ปีที่ตีพิมพ์ การเผยแพร่  
การศึกษาความเป็นไปได้ในการผลิตแผ่นปาร์ติเกลอบอร์ดจากยางพารา. 2547. วารสารกรมป่าไม้
  - 7.4 งานวิจัยที่กำลังทำ : ชื่อข้อเสนอโครงการ แหล่งทุน และสถานภาพในการวิจัย  
-

